	Publicação nº	2. Versão	3. Data	5. Distribuição
	NPE-2691-TDL/127		Abril, 1983	☐ Interna ஊ Externa
	•	rograma RH/ECO		□ Restrita
	Palavras chaves - se TELECOMUNICAÇÕES SINTETIZADORES "PHASE-LOCKED-LOOP"	lecionadas pel	o(s) autor(es)
7. 0	C.D.U.: 621.374.4	_		
8. T	ītulo	INPÉ-	2691-TDL/127	10. Pāginas: <i>121</i>
	SINTETIZADORES DE	' FREQUÊNCIAS E	M VHF	11. Ūltima pāgina: <i>C.3</i>
				12. Revisada por
9. A	Autoria Paulo Adab	0		Aydam Carbiol Aydano Barreto Carleial 13. Autorizada por
Assin	natura responsavel	214.		Nelson de Jesus Parada Diretor

14. Resumo/Notas

Este trabalho consiste no estudo, projeto e implementação prática de sintetizadores de frequências na faixa de VHF. Faz-se uma des crição das diversas tecnicas de sintese; a mais utilizada, que e apre sentada em detalhes neste trabalho, é a síntese de frequências atraves de um PLL ("phase-locked loop"), também conhecida como síntese coerente indireta. Esta técnica consiste basicamente na utilização de um PLL com um divisor programavel na malha de realimentação. A frequência de saí da e função do valor do divisor. Foram desenvolvidos dois sintetizado res na faixa de VHF. Um deles fornece qualquer uma das 1.200 frequê \overline{n} cias entre 52,020 MHz e 87,990 MHz, com espaçamento uniforme de 30 kHz. A portadora SCPC ("single channel per carrier" - canal unico por porta dora) gerada por este sintetizador sai modulada em FM por um $\,$ sinal $\,$ $\,$ devoz. Portanto este sintetizador também tem a função de modulador FM. O outro sintetizador gera qualquer uma das 1.200 frequências entre 97,020 MHz e 132,990 MHz, também com espaçamento uniforme de 30 kHz. Este sin tetizador tem a função de oscilador local da estação terrena SCPC.

15. Observações Dissertação de Mestrado em Eletrônica e Telecomunicações aprovada em 04 de fevereiro de 1983.

Aprovada pela Banca Examinadora
em cumprimento a requisito exigido
para a obtenção do Titulo de Mestre
em Eletrônica e Telecomunicações

Dr.Pawel Rozenfeld

Dr. Aydano Barreto Carleial

Dr.Fernando T.Sakane

Dr.Carlos Eduardo Santana

Eng. Juan Suñé Perez, MSc.

Presidente

Orientador

Membro da Banca -convidado-

Membro da Banca

Membro da Banca

Candidato: Paulo Adabo

ABSTRACT

This work comprises the study, design, and practical implementation of frequency synthesizers in the VHF band. A description of several synthesis techniques is given. The most widely used technique, which is presented in detail in this work, is that of frequency synthesis by PLL ("phase-locked loop"), also known as a coherent indirect synthesis. This technique basically consists in using a PLL with a programmable divisor in the feedback loop. The output frequency is a function of the value of the divisor. Two prototypes were developed in the VHF band. One of them provides any one of 1200 different frequencies between 52,020 MHz and 87,990 MHz, with uniform steps of 30 kHz. The SCPC ("single channel per carrier") carrier generated by this synthesizer comes out modulated in FM by a voice signal. Therefore this synthesizer also has the function of a FM modulator. The other synthesizer generates any one of 1200 different frequencies between 97,020 MHz and 132,990 MHz, also with uniform 30 kHz spacing. This synthesizer has the function of a local oscillator of the SCPC earth station.

AGRADECIMENTO

Ao Instituto de Pesquisas Espaciais pela oportunidade de realização deste trabalho.

SUMĀRIO

	Pāg.
LISTA DE FIGURAS	ix xiii
CAPITULO 1 - INTRODUÇÃO	. 1
CAPĪTULO 2 - PRINCĪPIOS E APLICAÇÕES DOS SINTETIZADORES DE FRE QUÊNCIAS	.3
2.1 - Sintese incoerente2.2 - Sintese coerente direta2.3 - Sintese coerente indireta	4 10 13
 2.3.1 - Sintetizador coerente indireto de microondas 2.3.2 - Sintetizador coerente indireto de multiplas malhas 2.4 - Sintese digital 	21 23 26
CAPÍTULO 3 - ASPECTOS TEÓRICOS DOS SINTETIZADORES COERENTES INDI	27
 3.1 - Equações gerais 3.1.1 - Equações para o sintetizador de primeira ordem 3.1.2 - Equações para o sintetizador de segunda ordem com fil tro passivo 3.1.3 - Equações para o sintetizador de segunda ordem com fil tro ativo 	28 29 30 32
3.2 - Analise da estabilidade dos sintetizadores	34
3.2.2 - Sintetizador de segunda ordem com filtro passivo 3.2.3 - Sintetizador de segunda ordem com filtro ativo	
3.3 - Resposta transitória	39 39 41
3.3.3 - Sintetizador de segunda ordem com filtro ativo 3.4 - Ruido de fase nos sintetizadores	43 45 49

	Pag
CAPÍTULO 4 - PROJETO DOS SINTETIZADORES PARA ESTAÇÃO TERRENA	
SCPC	55
4.1 - Especificação do sintetizador de transmissão	56
4.2 - Projeto do sintetizador de transmissão	57
4.2.1 - Divisor de frequências programável	57
4.2.2 - Oscilador controlado a tensão (VCO)	62
4.2.3 - Comparador de fase e filtro de malha	64
4.2.4 - Detector de retenção de fase	70
4.2.5 - Supressor de portadora	72
4.2.6 - Equalização do indice de modulação	73
4.2.7 - Filtro de saída	74
4.2.8 - Alimentação	75
4.3 - Especificação do sintetizador de recepção	76
4.4 - Projeto do sintetizador de recepção	76
4.4.1 - Divisor de frequências programável	77
4.4.2 - Oscilador controlado a tensão	79
4.4.3 - Comparador de fase e filtro de malha	81 81
4.4.4 - Detector de retenção de fase	81
4.4.5 - Filtro de saída	82
4.4.6 - Alimentação	
CAPTTULO 5 - RESULTADOS E CONCLUSÕES	83
5.1 - Sintetizador de transmissão	83
5.2 - Sintetizador de recepção	88
5.3 - Conclusão	92
REFERÊNCIAS BIBLIOGRÁFICAS	95
APÊNDICE A - CÂLCULO DOS FILTROS DE MALHA DOS SINTETIZADORES	
APÊNDICE B - CIRCUITO ELÉTRICO DO SINTETIZADOR DE TRANSMISSÃO	
APÊNDICE C - CIRCUITO ELÉTRICO DO SINTETIZADOR DE RECEPÇÃO	

LISTA DE FIGURAS

			Pag
2.1		Sintese de frequências incoerente (a), coerente (b), e di gital (c)	
2.2	-	Sintetizador incoerente elementar	
2.3	-	Sintetizador incoerente	
2.4	-	Exemplo numérico de um sintetizador incoerente	
2.5	-	Sintetizador coerente direto	1
2.6	-	Sintetizador coerente direto programavel	1
2.7	-	Sintetizador coerente direto, tipo "força bruta"	1
2.8	-	Sintetizador de harmônicas	1
2.9	-	Sintetizador de harmônicas com duplo misturador	1
2.10	_	Sintese com PLL	1
2.11	-	Sintetizador com divisor programavel	.1
2.12	-	Sintetizador coerente indireto com multiplicador na saida.	1
2.13	~. -	Sintetizador coerente indireto com pre-divisor	1
2.14	-	Sintetizador coerente indireto com pre-divisor com dois modulos de divisão	1
2.15	. –	Sintetizador com pré-divisor fixo	1
2.16	-	Formas de onda do divisor	. 2
2.17	-	Sintetizador de microondas	2
2.18	-	Exemplo de sintetizador de microondas	2
2.19	_	Sintetizador coerente indireto de duas malhas	2
2.20	-	Exemplo de um sintetizador coerente indireto de multiplas malhas	2
2.21	_	Sintetizador digital	2
3.1	-	Diagrama de blocos do sintetizador	2
3.2	-	Representação do sintetizador no dominio da frequência	28
3.3	-	Filtro de malha passivo	3
3.4	-	Filtro de malha ativo	3
3.5.	_	Diagrama de Bode para o sintetizador de primeira ordem	3
3.6	-	Diagrama de Bode para o sintetizador de segunda ordem com filtro passivo	3
3.7	-	Diagrama de Bode para o sintetizador de segunda ordem com filtro ativo	38

		Pāg.	
	rro de fase de um sintetizador de primeira ordem, devido uma variação degrau de frequência na entrada	40	
t	rro de fase de um sintetizador de segunda ordem com fil ro passivo, devido a uma variação degrau de frequência na entrada	42	
t	rro de fase de um sintetizador de segunda ordem com fil ro ativo, devido a uma variação degrau de frequência na entrada	44	
	spectro do ruido de fase de um oscilador	45	
3.12 - E	spectro do ruído de fase composto por uma somatória de aias laterais	46	
3.13 - E	spectro do ruído de fase de um VCO	46	
	densidade de ruído de fase devido ao oscilador de referên	47	
3.15 - D	ensidade do ruido de fase devido ao VCO	48	
3.16 - E	feito da malha sobre o ruido de fase na saida	48	
3.17 - S	intetizador como modulador FM	49	
	esposta do sintetizador de primeira ordem para modulação	50	
S	esposta do sintetizador de segunda ordem com filtro pas ivo para modulação FM	51	
3.20 - R	esposta do sintetizador de segunda ordem com filtro ati o para modulação FM	53	
4.1 - D	iagrama do divisor de frequências programavel	58	
4.2 - C	ircuito eletrico do divisor de frequências programavel	60	
4.3 - D	iagrama de tempo para a divisão por 1735	61	
4.4 - C	ircuito eletrico do VCO	62	•
4.5 - C	urva caracteristica do VCO	63	
4.6 - E	squema do circuito MC4044	64	-
4.7 - D	iagrama de tempo do comparador de fase 1	65	•
4.8 - E	squema elétrico do discriminador e do filtro	66	
4.9 - C	urva caracteristica do comparador de fase	66	
4.10 - F	iltro de malha utilizado	67	
	iltro "notch"	69	
4.12 - D	iagramas do filtro "notch"	69	
4.13 - F	ormas de onda	71	
4.14 - F	ormas de onda do detector de retenção de fase	71	

		-	Pāg.
4.15	_	Circuito detector de retenção de fase	71
4.16		Curvas características do MOS-FET de porta dupla	72
4.17	_	Circuito do supressor de portadora	73
4.18	_	Circuito de equalização do indice de modulação	74
4.19	-	Filtro passa-baixas de saída do sintetizador de transmissão	75
4.20	-	Circuito eletrico do divisor de frequências programavel	78
4.21	_	Curva característica do VCO	80
4.22	_	Filtro passa-baixas de saida do sintetizador de recepção.	82
5.1	-	Espectro de saída do sintetizador de transmissão	85
5.2	_	Espectro do ruído de fase do sintetizador de transmissão.	87
5.3	-	Espectro de saída do sintetizador de recepção	89
5.4	_	Espectro de ruido de fase do sintetizador de recepção	91
-		·	



LISTA DE TABELAS

			Pag.
4.1	-	Especificações do sintetizador de transmissão	56
4.2	-	Especificações do sintetizador de recepção	76
5.1	-	Níveis de saída e espúrios do sintetizador de transmissão.	83
5.2	-	Variação do Índice de modulação em função dos canais	84
5.3	_	Niveis de saida e espúrios do sintetizador de recepção	89

CAPITULO 1

INTRODUÇÃO

A síntese de frequências e a geração de uma ou de várias frequências a partir de um ou de vários osciladores de referência, de pendendo do tipo de aplicação. Um sintetizador bastante elementar se ria um dispositivo capaz de gerar várias frequências a partir de uma rede de osciladores, pelo simples chaveamento destes osciladores. A pre cisão e a estabilidade das frequências de saída do sintetizador dependem fortemente da precisão e estabilidade dos osciladores de referência.

Nos primeiros sintetizadores de que se tem notícia, as frequências de saída eram geradas a partir de vários osciladores de re ferência. Esta técnica de geração é conhecida como síntese incoerente. Com o desenvolvimento dos sistemas de telecomunicações, outras técnicas mais elaboradas foram surgindo, possibilitando obter muitas fre quências de saída com um único oscilador de referência. Estas técnicas são conhecidas como técnicas de síntese coerente. Atualmente já exis tem sintetizadores totalmente programáveis, com alta velocidade de cha veamento de frequência, alta estabilidade, incremento de frequências da ordem de microhertz e tamanho físico bastante reduzido.

Portanto, existem varias técnicas de construção de sinte tizadores, as quais serão brevemente discutidas no Capítulo 2. Mas a téc nica mais utilizada, a qual será o assunto deste trabalho, é a síntese de frequências através de um PLL ("phase-locked loop"), que é também co nhecida como síntese coerente indireta. Um sintetizador coerente indireto consiste basicamente em um oscilador controlado a tensão (VCO - "Voltage Controlled Oscillator"), em um divisor de frequências programá vel, em um comparador de fase e em um filtro passa-baixas. A frequência de saída do oscilador controlado a tensão é dividida pelo divisor programável e, em seguida, a saída do divisor é comparada com um oscilador de

referência de alta estabilidade. O sinal de erro gerado na saída do com parador de fase mantém a frequência de VCO no valor desejado. Com isso, a frequência de saída é selecionada de acordo com o valor programado no divisor de frequências. Uma característica bastante importante des te tipo de sintetizador é o tamanho físico reduzido que se consegue, uma vez que circuitos integrados MSI podem ser utilizados no projeto.

Este trabalho consiste no estudo, projeto e $\mbox{implementa}$ ção prática de sintetizadores de frequências na faixa de VHF, utiliza \mbox{n} do PLL.

Estes sintetizadores foram especificados para aos requisitos da unidade de canal de uma estação terrena para teleco municações por satélite (Kono et alii, 1981). A estação terrena trans mitira e recebera sinais de voz pelo sistema SCPC. Um dos sintetizado res tem a capacidade de gerar qualquer uma das 1200 frequências entre 52,020 MHz e 87,990 MHz, com espaçamento uniforme de 30 kHz entre fre quências adjacentes. Este sintetizador gera qualquer uma das 1200 por tadoras SCPC moduladas em FM por um sinal de voz. Portanto, este sinte tizador também tem a função do modulador FM. No Capitulo 3 faz-se um co mentario sobre a aplicação de sintetizadores como modulador FM. O tro sintetizador tem a capacidade de gerar qualquer uma das 1200 quências entre 97,020 MHz e 132,990 MHz, tambem com espaçamento unifor me de 30 kHz. Este sintetizador tem a função de oscilador local da tação terrena, fazendo com que a estação tenha a possibilidade de ceber qualquer uma das 1200 portadoras diferentes, compreendidas entre 52,020 MHz e 87,990 MHz.

Este trabalho contém cinco capítulos. No Capítulo 2 faz -se uma descrição das várias técnicas utilizadas na síntese de frequên cias. No Capítulo 3 faz-se um estudo teórico dos sintetizadores de frequências coerentes indiretos. No Capítulo 4 descrevem-se as especifica ções dos sintetizadores e apresenta-se o desenvolvimento dos projetos. No Capítulo 5 apresentam-se os resultados obtidos e as conclusões.

CAPÍTULO 2

PRINCÍPIOS E APLICAÇÕES DOS SINTETIZADORES DE FREQUÊNCIAS

Ja foram desenvolvidos diferentes tipos de sistemas para sintese de frequências. De uma maneira geral, estes sistemas utilizam técnicas que podem ser classificadas em: sintese de frequências incoerente, sintese de frequências coerente e sintese de frequências digital.

Na síntese de frequências incoerente, as frequências de saída são obtidas a partir de vários osciladores através de chaves, mis turadores, filtros, multiplicadores e divisores. Na síntese de frequências coerente, as frequências de saída são obtidas a partir de um único oscilador através de misturadores, filtros, multiplicadores, divisores e PLL. Na síntese de frequências digital, amostras de sinais senoidais em forma digital são gerados a partir de uma memória e convertidos em sinais analógicos por um conversor digital/analógico, sendo em seguida filtrados.

Na Figura 2.1 \tilde{e} apresentada, de forma bastante esquem $\tilde{a}t\underline{i}$ ca, a distinç \tilde{a} 0 entre os tr \hat{e} 5 tipos mencionados de s \tilde{i} 1 tese de frequ \hat{e} 1 cias.

A sintese coerente e ainda subdividida em direta e indireta. Na sintese coerente direta as frequências de saida são obtidas a partir de uma unica fonte de referência através de multiplicadores, di visores, misturadores e filtros, enquanto na sintese coerente indireta utiliza-se o principio de realimentação na geração das frequências. Is to é feito através de um PLL, o qual será discutido adiante.

A seguir faz-se uma breve descrição, em termos de diagramas de blocos, de alguns tipos de sintetizadores utilizados na prática, enfatizando suas vantagens e desvantagens.

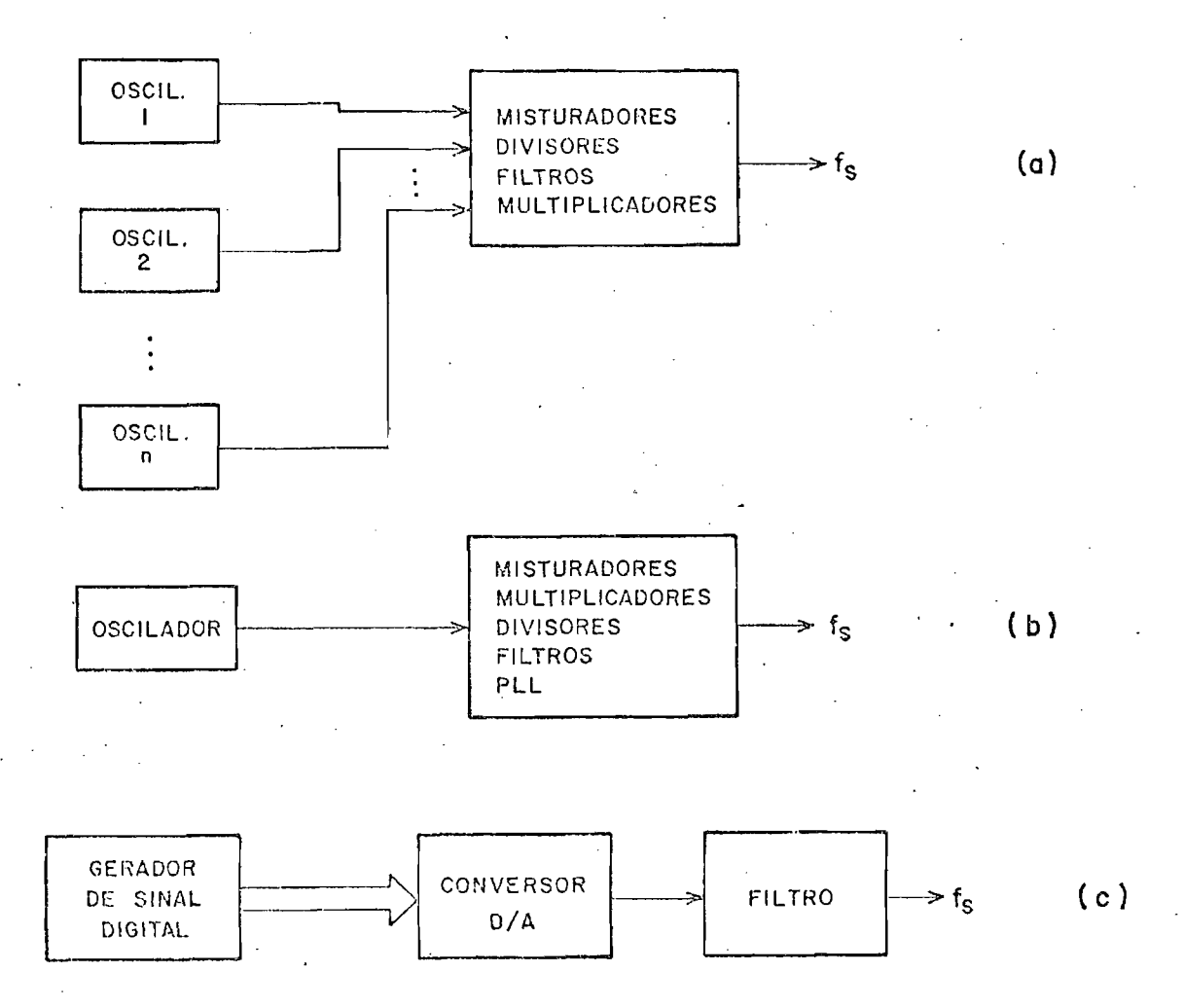


Fig. 2.1 - Sîntese de frequências incoerente (a), coerente (b), e digital (c).

2.1 - SINTESE INCOERENTE

Como foi visto, na síntese incoerente as frequências de saída são obtidas a partir de vários osciladores.

Um sintetizador incoerente bastante elementar e o mostra do na Figura 2.2. Neste tipo de sintetizador, a estabilidade e precisão das frequências dependem exclusivamente da precisão e estabilidade de cada cristal. A desvantagem deste tipo de sintetizador e o grande número de cristais utilizados, pois a quantidade de frequências gera

das e igual a quantidade de cristais utilizados. Uma outra desvantagem e a necessidade de chavear também o circuito de sintonia do oscilador.

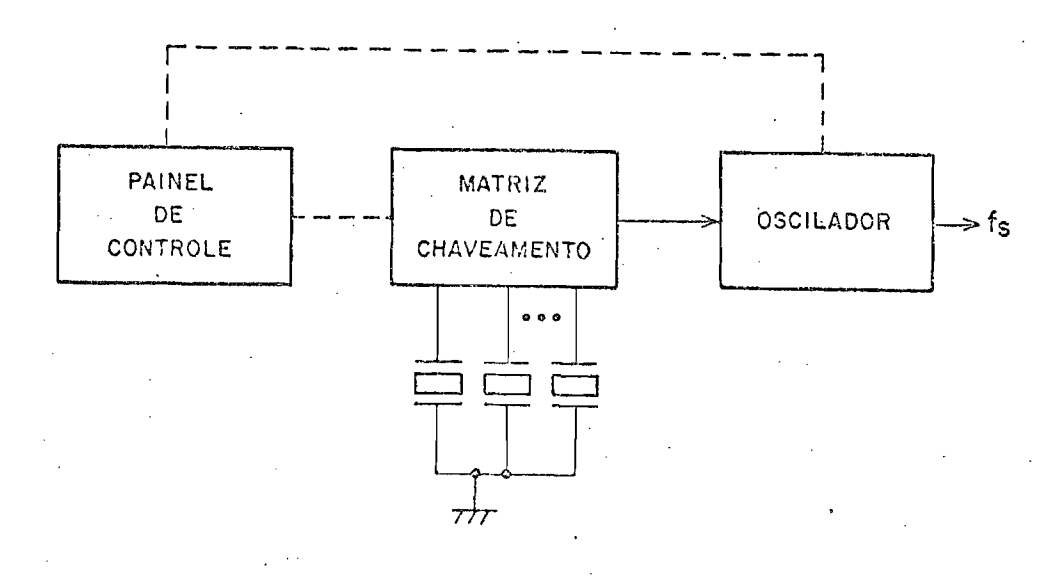


Fig. 2.2 - Sintetizador incoerente elementar.

Uma maneira de minimizar o número de cristais é utilizar o método de síntese apresentado na Figura 2.3 (Manassewitsch, 1976).

Na saida S_n tem-se:

$$S_n = f_{n-1} + f_n + \frac{(\Delta f_{n-9})_{n-1}}{10^{n-2}} + \frac{(\Delta f_{n-9})_n}{10^{n-1}},$$

onde Δf_{0-9} indica dez incrementos de frequências com $\Delta f_{0}=0$. Isto significa que o n-ésimo oscilador a cristal tem a capacidade de gerar um conjunto de dez frequências diferentes, que podem ser representadas por:

$$f_n$$
, $f_n + \frac{(\Delta f_1)_n}{10^{n-1}}$, $f_n + \frac{(\Delta f_2)_n}{10^{n-1}}$, ..., $f_n + \frac{(\Delta f_9)_n}{10^{n-1}}$

A frequência da saída é a soma de todas as frequências:

$$f_s = f_1 + f_2 + \dots + f_{n-1} + f_n + (\Delta f_{n-2})_1 + \frac{(\Delta f_{n-2})_2}{10} + \dots +$$

$$+\frac{(\Delta f_{0-9})_{n-1}}{10^{n-2}}+\frac{(\Delta f_{0-9})_n}{10^{n-1}}.$$
 (2.1)

Este tipo de sintetizador tem a capacidade de gerar 10^n frequências diferentes com um incremento de $(\Delta f_1)_n/10^{n-1}$, com apenas 10.n cristais.

Em seguida serā apresentado um exemplo numērico deste \overline{ul} timo tipo de sintetizador. Para ilustrar, admita-se que se pretende implementar um sintetizador com as seguintes características:

- faixa de frequência: 52,020 MHz a 87,990 MHz,
- incremento de frequência: 30 kHz,

que são as mesmas do sintetizador coerente indireto que se pretende $i\underline{m}$ plementar neste trabalho.

Para gerar 1200 frequências diferentes, com um incremento de 30 kHz, deve-se ter n=4 e $(\Delta f_1)_n/10^{n-1}$ = 30 kHz. Com isto tem-se:

$$\Delta f_0 = 0$$
, $\Delta f_1 = 30 \text{ MHz}$, $\Delta f_2 = 60 \text{ MHz}$, \vdots

 $\Delta f_9 = 270 \text{ MHz}$.

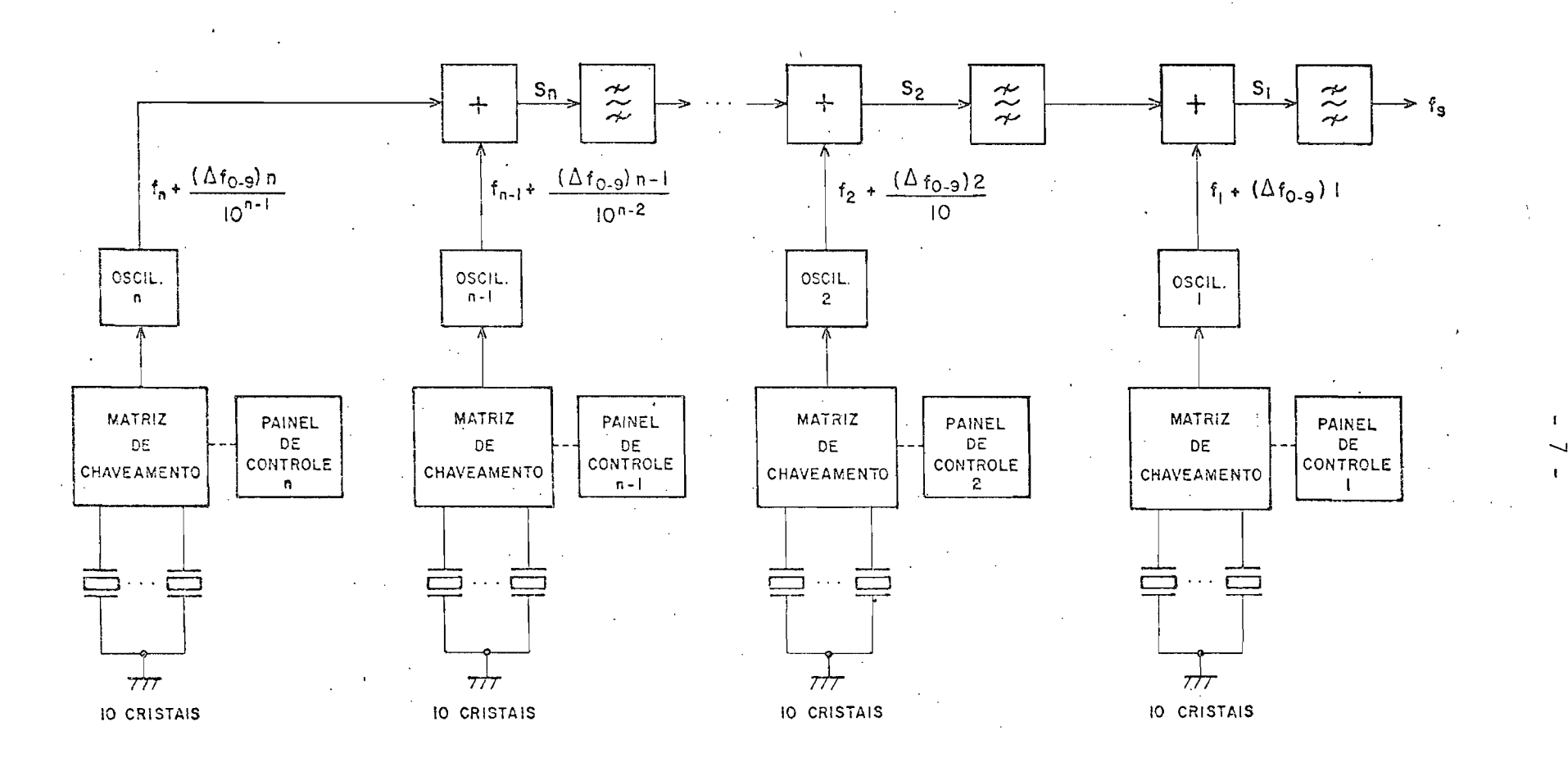


Fig. 2.3 - Sintetizador incoerente.

Usualmente f_1 , f_2 , f_3 e f_4 são escolhidos de maneira que os espúrios da saída sejam minimizados; mas, por simplicidade, este requisito não vai ser levado em consideração. Não se está também preocupado, neste exemplo, com a disponibilidade de cristais para oscilação nos valores requeridos. Tomando então, por exemplo:

 $f_1 = 41,020 \text{ MHz}$

 $f_2 = 6 \text{ MHz}$,

 $f_3 = 3 \text{ MHz}$, e

 $f_4 = 2 MHz$

o sintetizador fica igual ao da Figura 2.4. Na mesma figura é mostrado como a frequência 58,320 MHz é sintetizada.

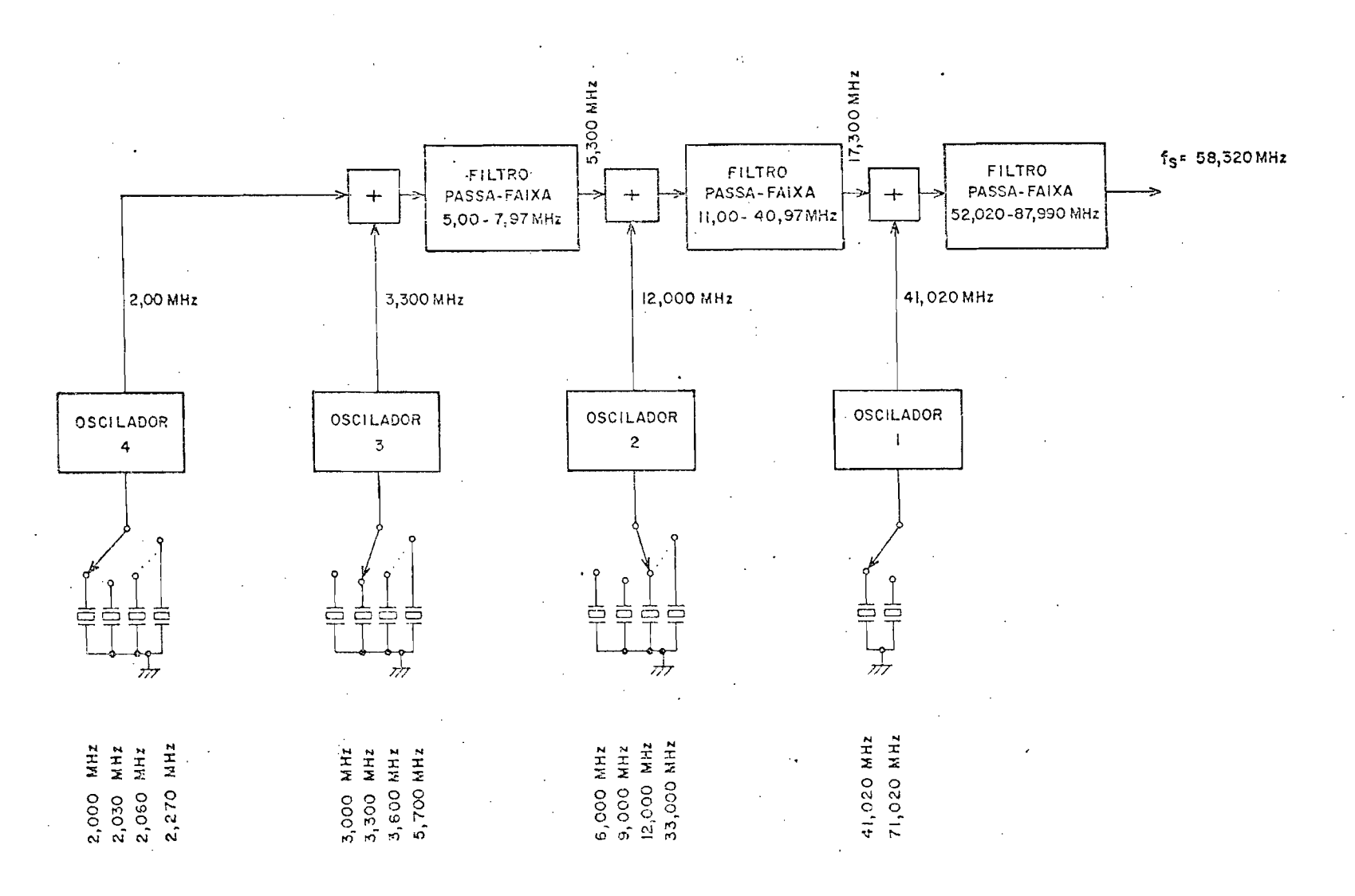
Fazendo $(\Delta f_{0-9})_S^{\dagger} = 0$ na Equação 2.1, obtem-se a minima frequência de saida:

$$f_{s,min} = f_1 + f_2 + f_3 + f_4 = 52,020 \text{ MHz}$$
.

Da mesma maneira, a māxima frequência da saīda desejada ē obtida igua lando $(\Delta f_9)_4 = (\Delta f_9)_3 = 270$ MHz, $(\Delta f_1)_2 = 30$ MHz, $(\Delta f_1)_1 = 30$ MHz e os demais termos a zero na Equação 2.1.

$$f_{s,max} = 87.,990 \text{ MHz}$$
.

Como este tipo de sintetizador utiliza a adição heterodina, a estabilidade, precisão e ruido de fase das frequências de saída são devidas à contribuição das estabilidades, precisões e ruidos de fase de cada oscilador. Uma desvantagem deste tipo de sintetizador é o número de sinais espúrios gerados pelos misturadores. Por isso devem-se escolher as frequências dos osciladores de maneira que os produtos de intermodulação caiam fora da faixa de passagem dos filtros (Manassewitsch, 1976). Uma vantagem deste sintetizador em relação ao anterior é o custo mais baixo.



9

Fig. 2.4 - Exemplo numérico de um sintetizador incoerente.

2.2 - SINTESE COERENTE DIRETA

A principal diferença entre síntese incoerente e coeren te está no número de osciladores utilizados na geração das frequências desejadas. Na síntese de frequências coerente há um único oscilador de referência. A precisão e a estabilidade da frequência de saída dependem fortemente da precisão e estabilidade do oscilador de referência.

. Um exemplo de sintetizador de frequências coerente dire ta bastante elementar é o mostrado na Figura 2.5.

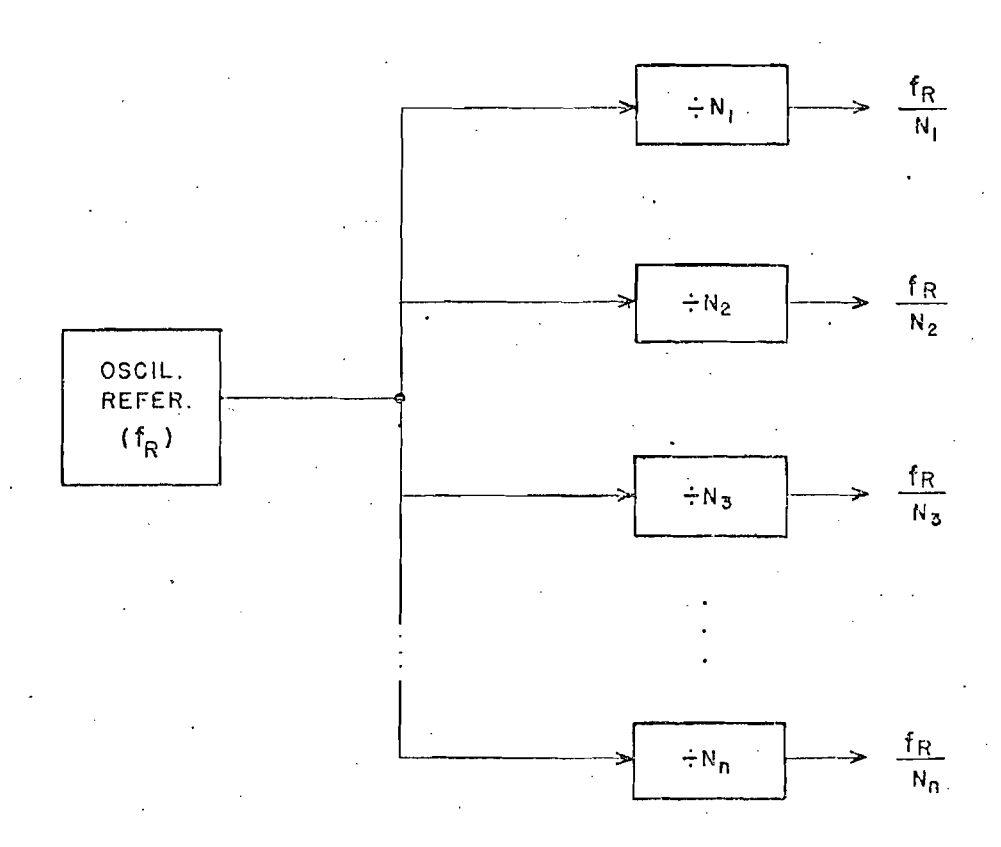


Fig. 2.5 - Sintetizador coerente direto.

Este tipo de sintetizador $\bar{\rm e}$ muito utilizado quando se de seja gerar um pequeno número de frequências simultaneamente, uma vez que as dimensões do circuito aumentam muito $\bar{\rm a}$ medida que aumenta o n $\bar{\rm u}$

mero de frequências desejadas. Uma maneira de simplificar o circuito é substituir todos os divisores por um divisor programavel, como mostra do na Figura 2.6. Neste caso as frequências não estão disponíveis si multaneamente, mas apenas uma de cada vez.

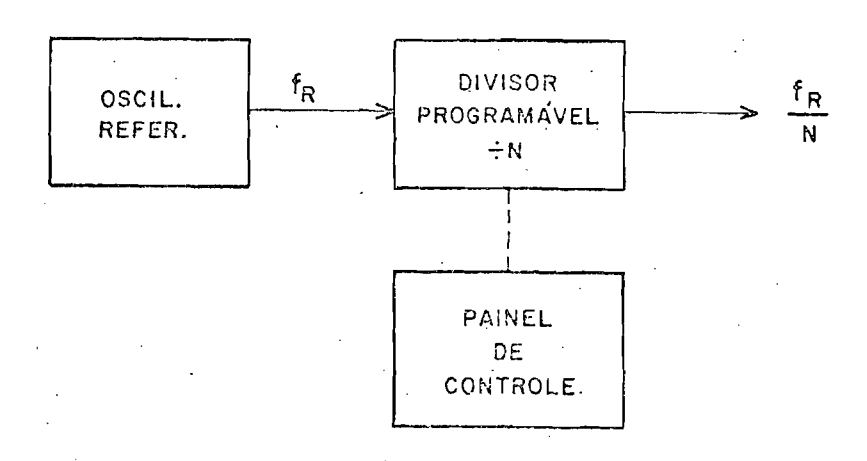


Fig. 2.6 - Sintetizador coerente direto programavel.

Quando se deseja a geração de um pequeno número de frequências simultaneamente, pode-se utilizar um outro tipo de sintetiza dor, as vezes chamado sintetizador "a força bruta" (Manassewitsch, 1976). O circuito básico é constituído de multiplicadores, divisores, misturadores e de um oscilador de referência. A Figura 2.7 apresenta um exemplo deste tipo de sintetizador. A disposição dos circuitos no exemplo da Figura 2.7 foi feita sem levar em consideração o problema dos espúrios gerados nos misturadores e multiplicadores. Uma desvanta gem deste sintetizador é a geração de espúrios provenientes dos diviso res, multiplicadores e misturadores.

Outro metodo de sintese coerente direta de frequências e a obtenção de diversas frequências de saida a partir de um sinal com grande concentração de harmônicas. O princípio básico deste metodo es tá representado na Figura 2.8. O sinal com grande concentração de harmônicas e filtrado por um filtro passa-faixa sintonizado que seleciona a frequência desejada. Na Figura 2.8, a expressão $\sum_{n=a}^{b} nf_n + R$ descreve

o sinal com alta concentração de harmônicas. Por exemplo, se o número de frequências a serem geradas for igual a 4, a expressão anterior $\frac{1}{2}$ ca igual a $\sum\limits_{n=1}^{\infty}$ nf $_{r}$ + R, onde R representa a soma de todas as outras har mônicas maiores que a quarta.

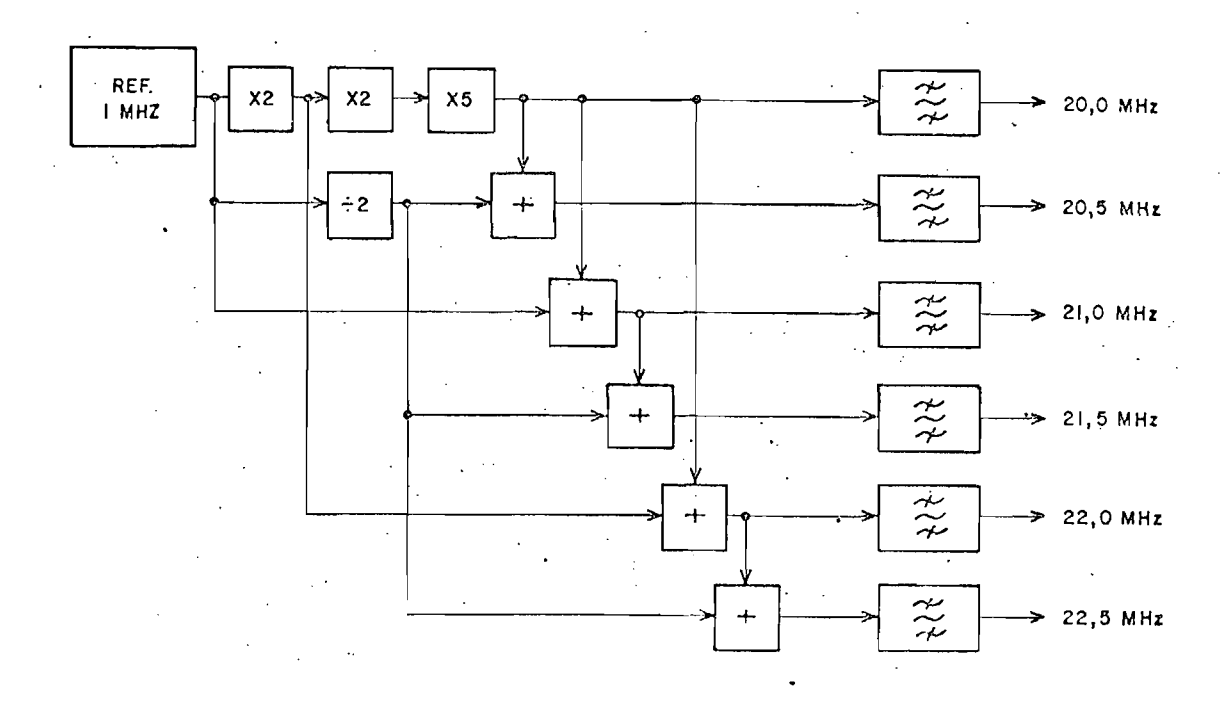


Fig. 2.7 - Sintetizador coerente direto, tipo "força bruta".

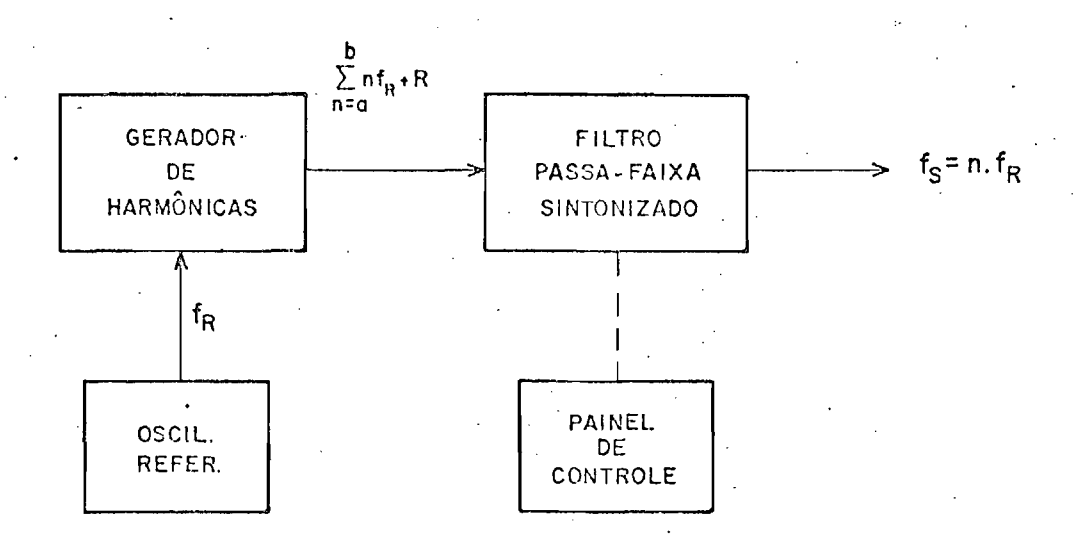


Fig. 2.8 - Sintetizador de harmônicas.

Neste caso pode-se notar que o espaçamento entre uma fre quência e outra é igual à frequência de referência. Se a frequência de referência for pequena, as frequências geradas na saída vão estar mui to próximas uma da outra. Neste caso o diagrama de blocos na Figura 2.8 não é o mais indicado, uma vez que o filtro sintonizado se torna praticamente irrealizável. Uma maneira de solucionar este problema é utilizar o esquema modificado proposto na Figura 2.9. Pela figura, po de-se notar que o filtro passa-faixa pode ser realizado com a frequên cia central menor e não tem necessidade de ser sintonizado, uma vez que, pelo controle do oscilador sintonizado, a frequência f_{FI} é sempre a mesma.

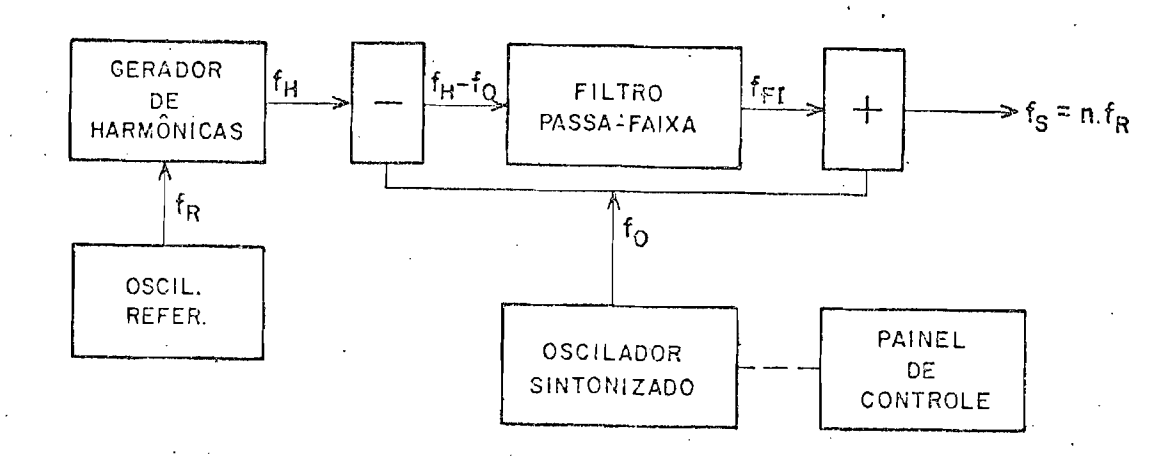


Fig. 2.9 - Sintetizador de harmônicas com duplo misturador.

2.3 - SÍNTESE COERENTE INDIRETA

Na sintese coerente indireta utiliza-se o princípio de realimentação na geração das frequências de saida. Esta técnica é a mesma utilizada nos sistema de controle e o sistema é mais conhecido como PLL (phase-locked loop). Neste tipo de sistema toda atenção é da da a sua estabilidade, aquisição, velocidade de chaveamento e ruído de fase. Enfim, deve-se fazer um estudo detalhado sobre PLL. Este assunto será tratado no Capítulo 3.

Um circuito básico de síntese de frequências que utiliza PLL é mostrado na Figura 2.10. Neste caso, a frequência de saída do VCO (oscilador controlado a tensão) é misturada com f_{N1} e comparada com a frequência de referência f_{N2} . A tensão de erro gerada na saída do com parador de fase é filtrada, para em seguida controlar o VCO, fazendo com que a frequência f_{VCO} - f_{N1} seja igual a f_{N2} . Quando isto acontece, diz-se que o PLL está "amarrado em fase" ("lock"), e a frequência de saída é:

$$f_S = F_{N_1} + f_{N_2}$$
.

Portanto a frequência de saída vai ser gerada de acordo com a $% \left(1\right) =0$ escolha de $f_{N_{1}}$ e $f_{N_{2}}.$

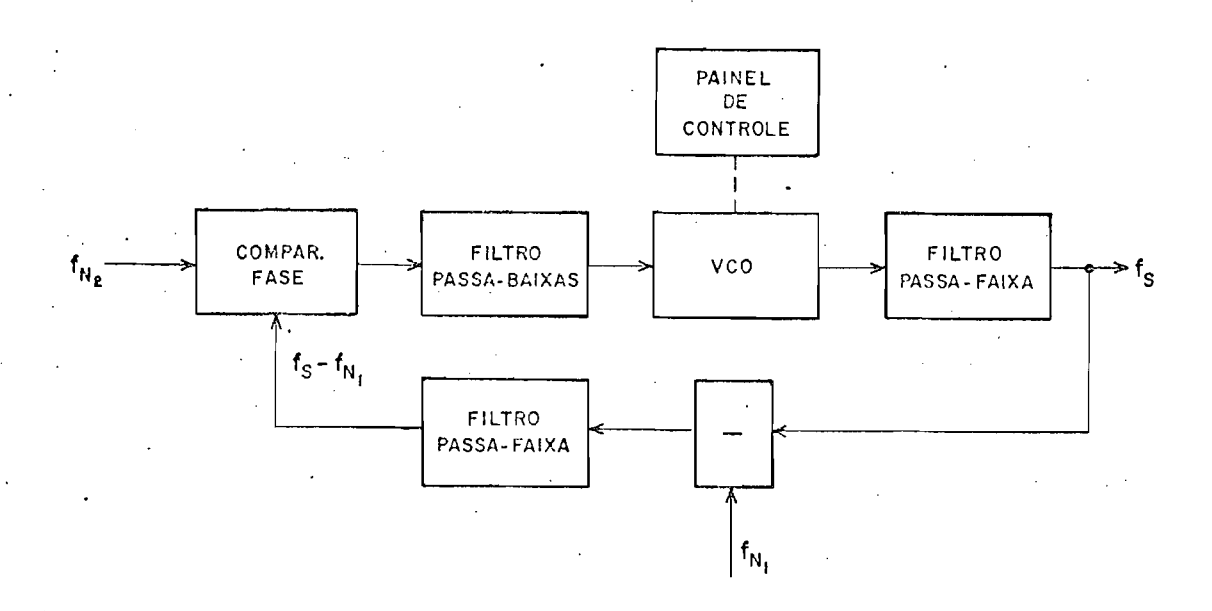


Fig. 2.10 - Sintese com PLL.

Nos sintetizadores que utilizam PLL, deve-se levarem con sideração o ruido de fase introduzido pelo circuito. Demonstra-se que o sintetizador com PLL se comporta como um filtro passa-altas com rela

ção ao ruido do VCO e como um filtro passa-baixas com relação ao ruido do sinal de referência. Portanto, mesmo que a frequência de referência tenha muito pouco ruido de fase, deve-se tomar um certo cuidado com o ruido que pode ser introduzido pelo VCO.

Um outro circuito que utiliza PLL, muito utilizado na sin tese de frequências, é o que está mostrado na Figura 2.11. A malha consiste num VCO; num divisor de frequências programável (que, de acor do com o valor da divisão, fornece a frequência desejada); num compara dor de fase; e num filtro passa-baixas. A saída do VCO é dividida e com parada com um oscilador de referência com alta estabilidade e baixo ruído de fase. A tensão de erro gerada na saída do comparador, depois de convenientemente filtrada, controla o VCO, de tal maneira que sua frequência de saída fique igual a:

Portanto, variando o valor de N no divisor programavel, consegue-se qualquer frequência multipla da frequência de referência. Neste caso, o menor incremento de frequência e igual à frequência de referência.

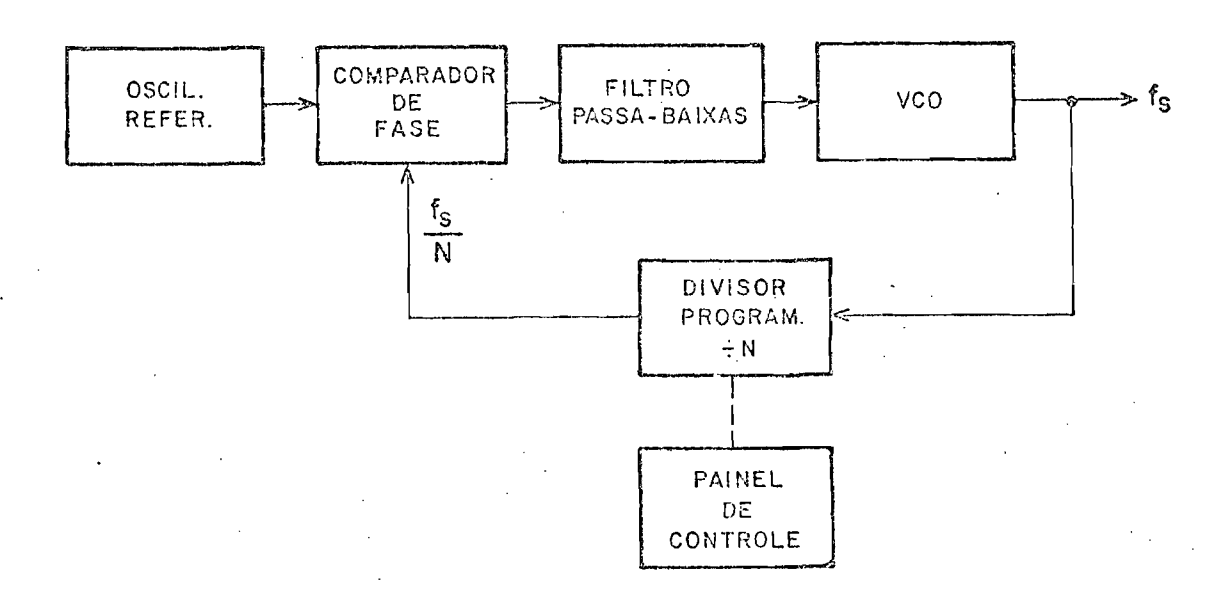


Fig. 2.11 - Sintetizador com divisor programavel.

Uma das características oferecidas por estes tipos de sintetizadores é quanto ao tamanho do circuito. Uma vez que se podem utilizar circuitos integrados MSI ("Medium Scale Integration" - Integra cão em Média Escala), conseguem-se sintetizadores de tamanho físico re duzido. Uma outra característica é o baixo consumo de potência quando se trabalha com frequências baixas.

O esquema de sintetizador proposto na Figura 2.11 e utilizado quando se desejam frequências de saída relativamente baixas. Para frequências de saída acima de 30 MHz, os divisores programáveis utilizados não são facilmente implementados com circuitos TTL ("Transistor Transistor Logic" - Lógica Transistor Transistor). Para frequências de saída altas, uma solução é a mostrada na Figura 2.12. Neste caso o divisor opera em baixa frequência, enquanto a saída é de alta frequência. Para este tipo de sintetizador, quando a malha está amarrada em fase, a saída se torna:

$$f_s = N \cdot (N_1 \cdot f_R)$$
.

Portanto o menor incremento de frequência é igual a $N_1 \cdot f_R$ e não mais a f_R . Para que o incremento de frequência seja igual a f_R , há necessida de de dividir a frequência de referência por N_1 . Para o sintetizador em que o passo entre as frequências é pequeno, não é aconselhável diminuir a frequência de referência de N_1 , pois a componente da referência que aparece na saída do comparador de fase torna-se difícil de ser eliminada pelo filtro passa-baixas; com isso, o VCO será modulado por esta componente, aparecendo na saída raias laterais de modulação FM. Quan do a frequência de referência é grande, este tipo de problema não existe.

Outro inconveniente deste metodo $\bar{\rm e}$ que ha um aumento de ruido de fase quando a saida do VCO $\bar{\rm e}$ multiplicada por N1.

Outro esquema para sintetizador de alta frequência e o mostrado na Figura 2.13. Neste esquema utiliza-se um pre-divisor fixo

 $(\div N_1)$ para alta frequência. Neste caso ha também a necessidade de dividir a frequência de referência por N_1 , se se desejar um incremento igual à propria frequência de referência. Se a frequência de referência for grande, isto pode ser feito sem problemas.

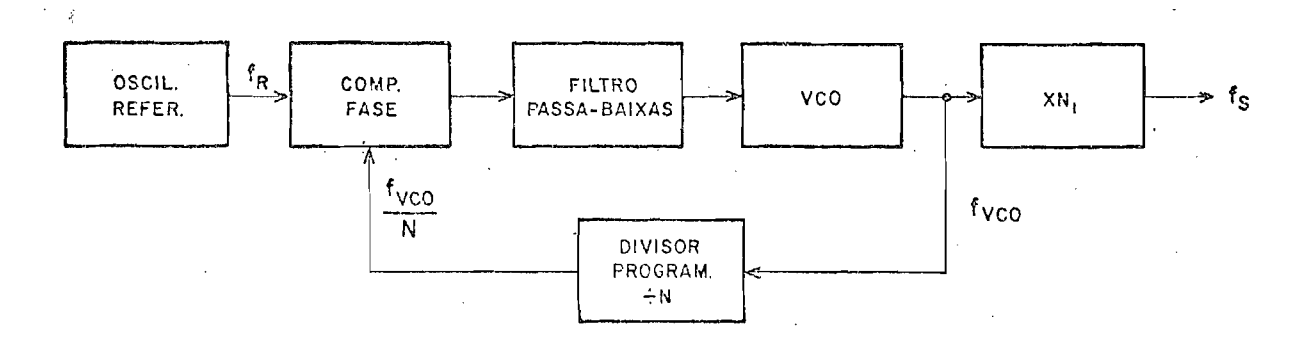


Fig. 2.12 - Sintetizador coerente indireto com multiplicador na saída.

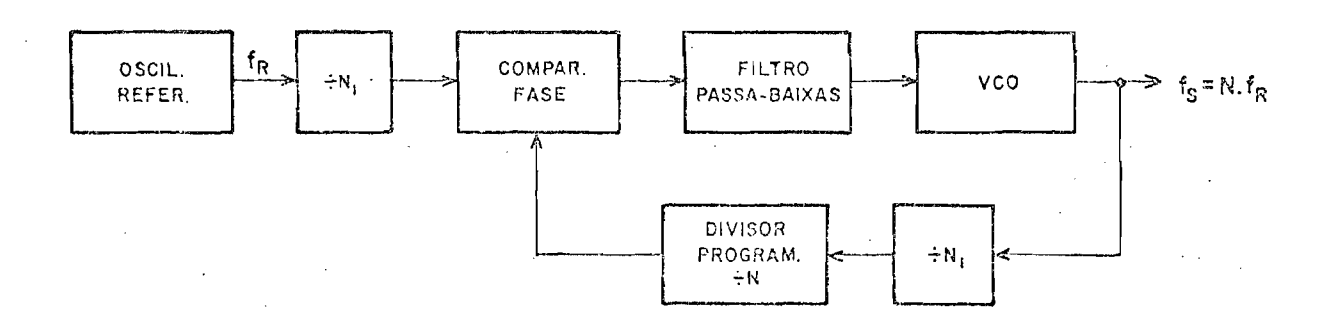


Fig. 2.13 - Sintetizador coerente indireto com pre-divisor.

Uma maneira de eliminar o problema da divisão da frequência de referência e da multiplicação da frequência de saída é utilizar o esquema proposto na Figura 2.14. Com este esquema, a frequência de saída será igual a $f_s = N \cdot f_R$; o controle e os divisores programáveis por A e B operam em baixa frequência, enquanto somente o VCO e o prédivisor operam em alta frequência. Esta técnica permite que, através de um prédivisor ECL ("Emitter Coupled Logic" - Lógica de Emissor Acoplado) (alta velocidade) controlado por divisores programáveis TTL, se possa obter incremento de frequências igual à frequência de referência, sem necessidade de dividi-la.

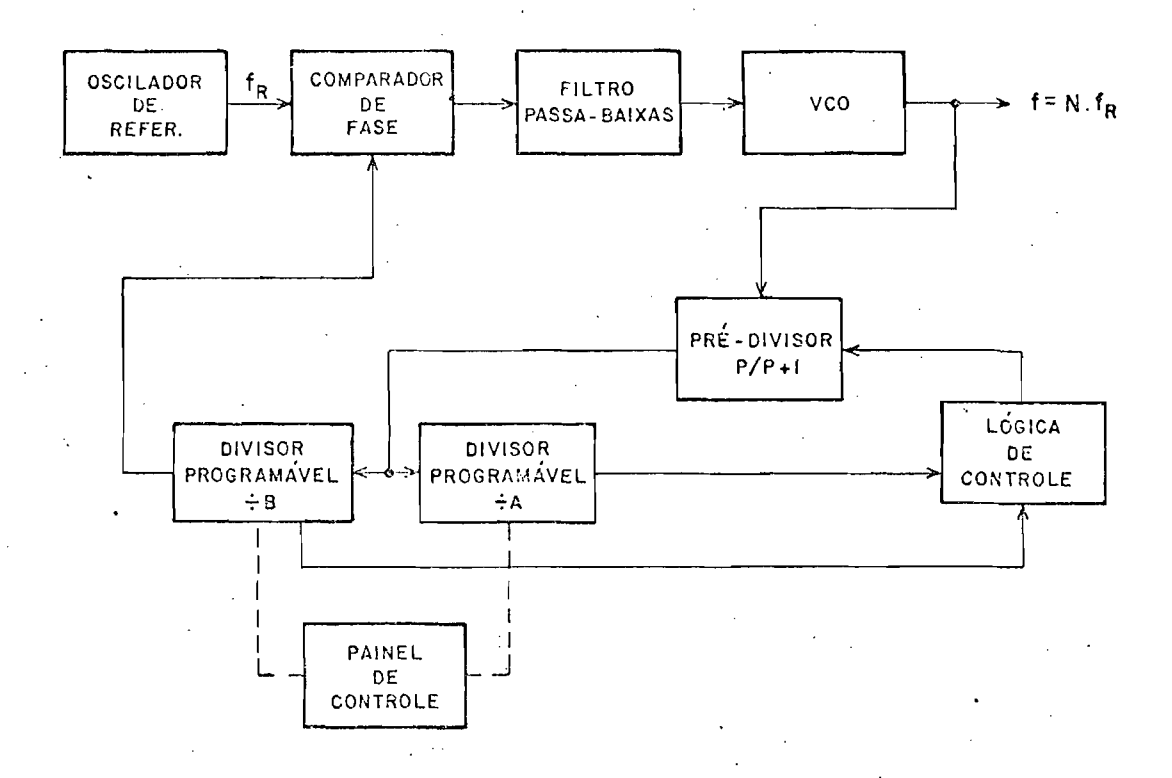


Fig. 2.14 - Sintetizador coerente indireto com pre-divisor com dois modulos de divisão.

A teoria do sintetizador com dois modulos de divisão pode ser explicada considerando o sistema mostrado na Figura 2.15. A frequência de saída e dada por:

$$f_{S} = N_{1} \cdot P \cdot f_{R} , \qquad (2.2)$$

onde P é fixo e N_1 é variavel. Para uma mudança de 1 em N_1 , o valor da frequência de saída muda de P· f_R . Quando se deseja um incremento menor que P· f_R , sem alterar a frequência de referência, P deve ser multiplicado por um número composto de uma parte inteira mais uma parte fracionária. A parte fracionária deve ser da forma A/P. Neste caso N_1 deve ser:

$$N_1 = B + A/P$$
.

Substituindo N₁ na Equação 2.2, tem-se:

$$f_{S} = (B + A/P) \cdot P \cdot f_{R},$$

$$f_{S} = (BP + A) \cdot f_{R}.$$
(2.3)

A Equação 2.3 mostra que qualquer frequência multipla de f_R pode ser obtida, desde que N_1 adquira valores fracionários.

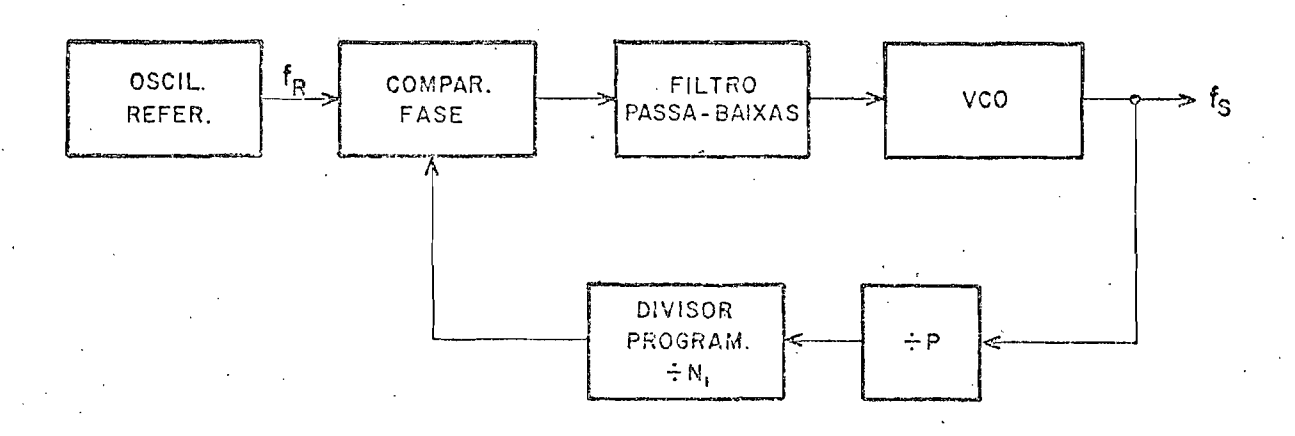


Fig. 2.15 - Sintetizador com pre-divisor fixo.

Como \bar{e} um pouco dificil implementar um divisor fracion \bar{a} rio, a Equaç \bar{a} o 2.3 pode ser obtida somando e subtraindo o termo $A \cdot P \cdot f_R$ na equaç \bar{a} o:

$$f_{S} = (BP + A + AP - AP) \cdot f_{R},$$

$$f_{S} = [(B-A) \cdot P + A \cdot (P+1)] \cdot f_{R}.$$
(2.4)

Pela Equação 2.4 pode-se notar que a parte fracionária de N_1 pode ser sintetizada utilizando um pré-divisor com dois modulos de divisão. O modulo superior (P+1) é dividido por A, enquanto o modulo inferior (P) é dividido por (B-A). O contador A deve ser do tipo que conta do estado programado A ao estado "zero", e permanece neste estado até que a divisão por B seja completada. O contador B também conta do estado programado B ao estado "zero".

Em operação, o pré-divisor divide a frequência de entra da por (P+1), A vezes. Para cada (P+1) pulsos na entrada do pré-divisor, ambos os contadores A e B são decrementados de 1. O pré-divisor a divide por (P+1) até que o contador A chegue ao estado "zero". No final de (P+1)·A pulsos, o estado do contador B será igual a (B-A). O pré-divisor muda então para o modulo de divisão P e permanece neste modulo até que o contador B receba (B-A) pulsos. Finalmente, quando isto é completado os contadores A e B são carregados com os valores programa dos e o ciclo se repete.

Um detalhe muito importante neste metodo é que o valor B deve ser sempre superior ou igual ao valor A.

O esquema deste sintetizador, o qual será utilizado nes te trabalho é o mostrado na Figura 2.14.

Para melhor entendimento do sistema, considera-se o caso no qual a frequência de saída do sintetizador seja igual a $32 \cdot f_R$. Por tanto o divisor da malha de realimentação tem de dividir a frequência de saída por 32. As formas de onda dos diversos pontos do circuito são mostrados na Figura 2.16. Neste caso, o pré-divisor utilizado tem dois módulos de operação ($\div 10$ e $\div 11$), e o contador A é programado para dividir por 2 e o contador B é programado para dividir por 3. Assim, o pré-divisor fica dividindo por 11 durante dois pulsos recebidos pelo contador A, e por 10 durante (3-2) pulsos recebidos pelo contador B. A saída do divisor é mostrada na Figura 2.16c, cujo espaçamento entre os pulsos corresponde a 32 pulsos da saída do VCO.

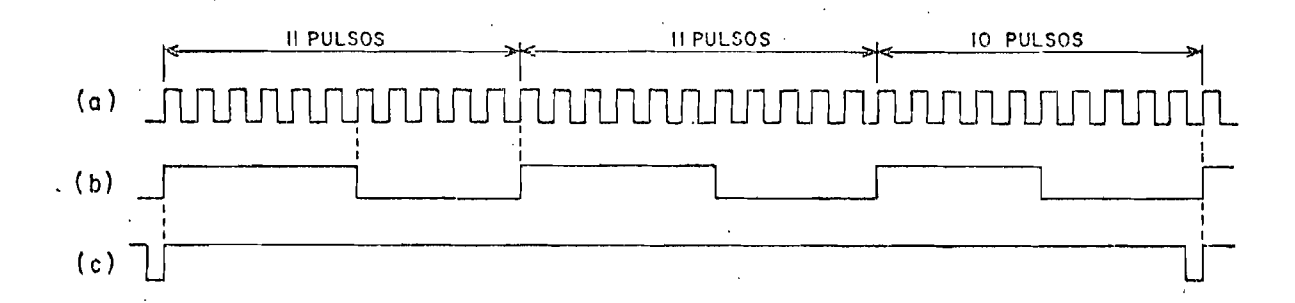


Fig. 2.16 - Formas de onda do divisor.

- (a) saida do VCO
- (b) saida do pre-divisor
- (c) saída do divisor

2.3.1 - SINTETIZADOR COERENTE INDIRETO DE MICROONDAS

Dependendo da frequência que se deseja na saída, pode ser necessária a utilização de um misturador na malha do sintetizador (Egan, 1981). Com a utilização de misturadores na malha, deve-se tomar um cer to cuidado com os sinais espúrios que podem estar presentes na saída. Portanto, deve-se sempre utilizar um filtro passa-faixa na saída dos misturadores.

Misturadores são utilizados quando se desejam sintetizadores com frequências de saída elevadas, como nos casos de sintetizadores de microondas.

Para os sintetizadores de microondas, costuma-se util<u>i</u> zar o esquema mostrado na Figura 2.17. Neste caso, quando o sintetiza dor esta amarrado em fase, a frequência de saída é igual a:

$$f_S = N \cdot f_{R_1} + f_{R_2}.$$

Neste tipo de sintetizador deve-se tomar certa precaução com o sinal de frequência f_{R_2} , uma vez que ele \tilde{e} relativamente forte. Portanto a fonte de f_{R_2} deve estar bem isolada e a saída do VCO, bem casada. Iso lação adicional pode ser obtida pelo uso de um isolador na saída do VCO.

Um exemplo de sintetizador de microondas é mostrado na Figura 2.18. Neste exemplo a frequência de saída varia de 1186,25 MHz a 1345 MHz, com incremento igual a 1,25 MHz.

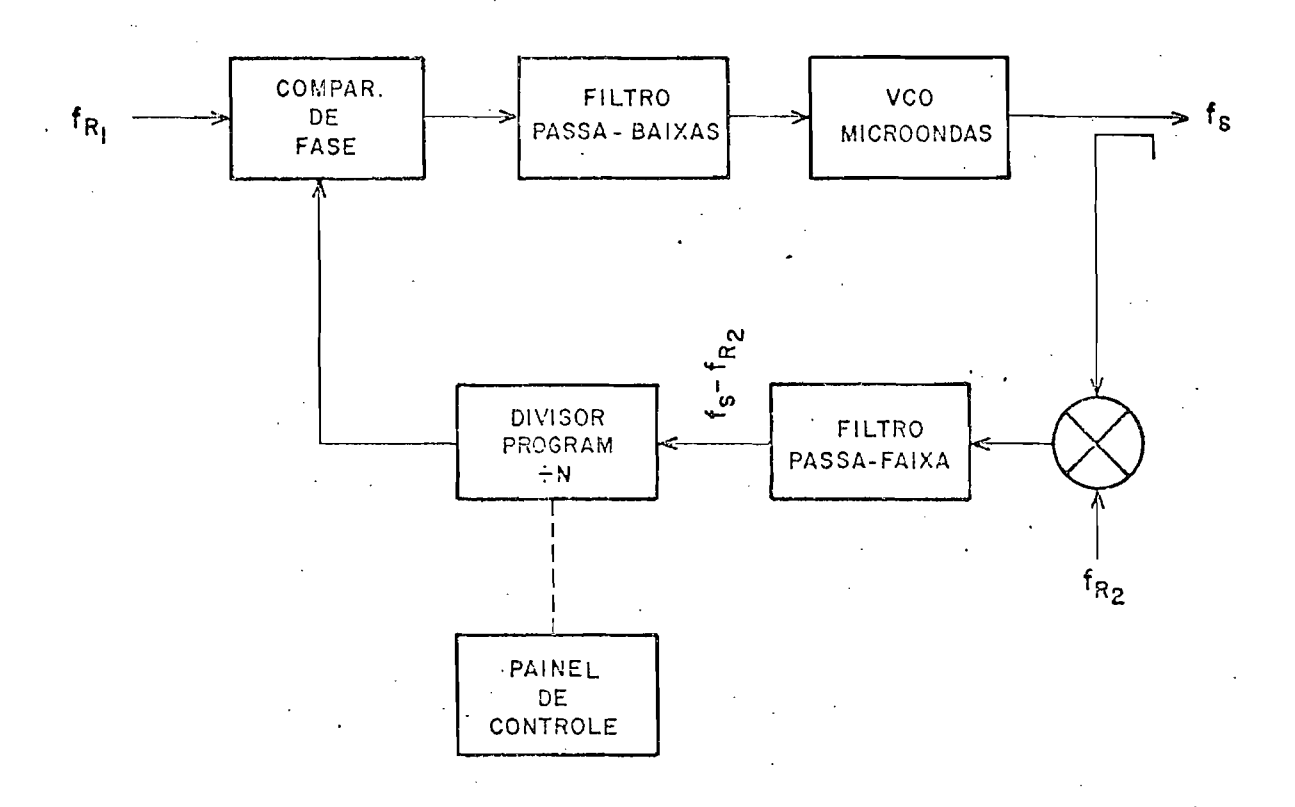


Fig. 2.17 - Sintetizador de microondas.

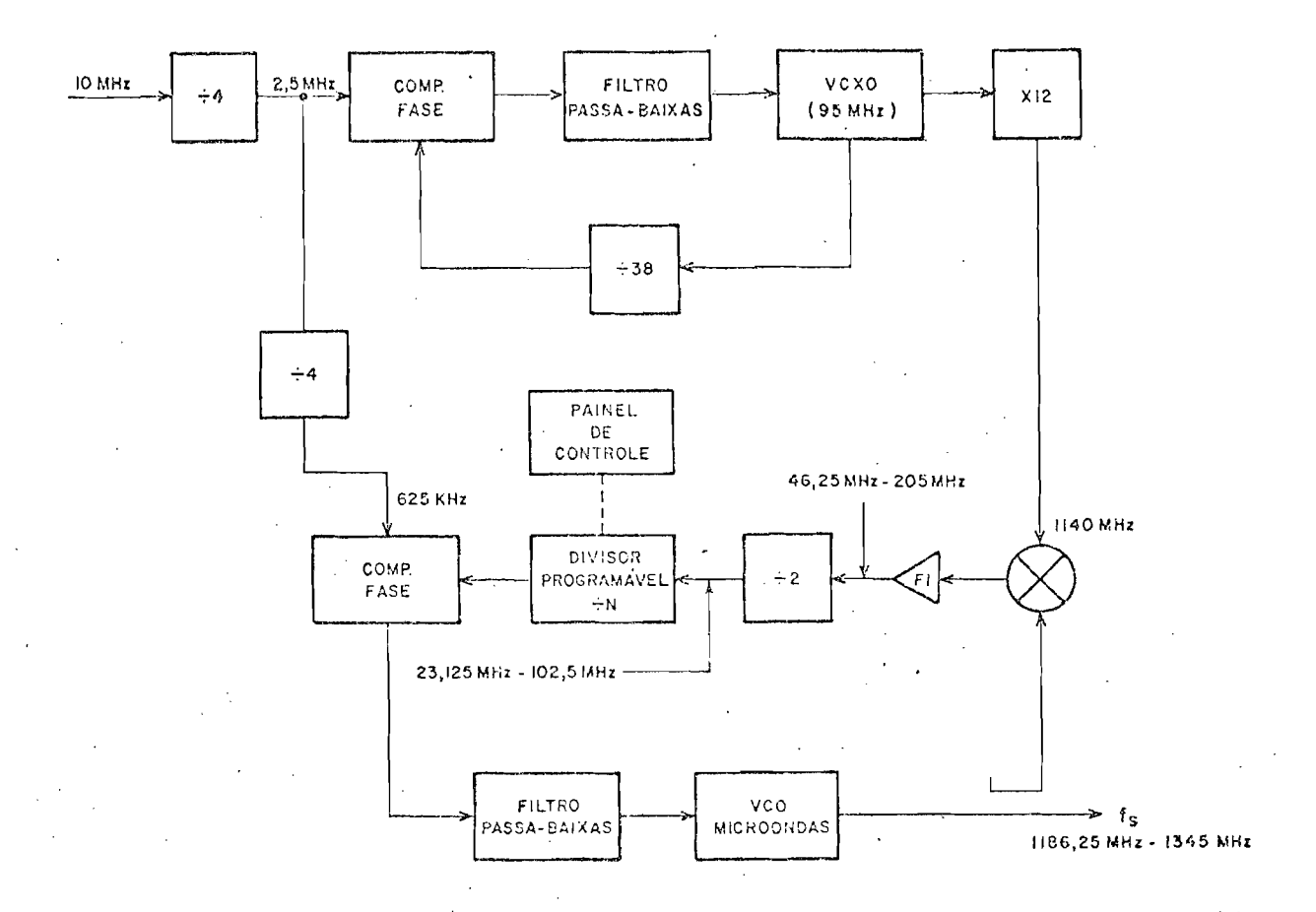


Fig. 2.18 - Exemplo de sintetizador de microondas.

2.3.2 - SINTETIZADOR COERENTE INDIRETO DE MULTIPLAS MALHAS

Quando se deseja que o incremento de frequência seja mui to pequeno em relação à frequência de corte do filtro de malha, devem -se utilizar os sintetizadores de duas ou mais malhas. Na Figura 2.19 é apresentado um sintetizador de duas malhas. Quando o sintetizador es tá amarrado em fase, tem-se:

$$f_s = N \cdot f_{R1} + N' \cdot f_{R2}$$
.

Neste caso, também deve-se tomar certo cuidado com os sinais espúrios gerados pelo misturador.

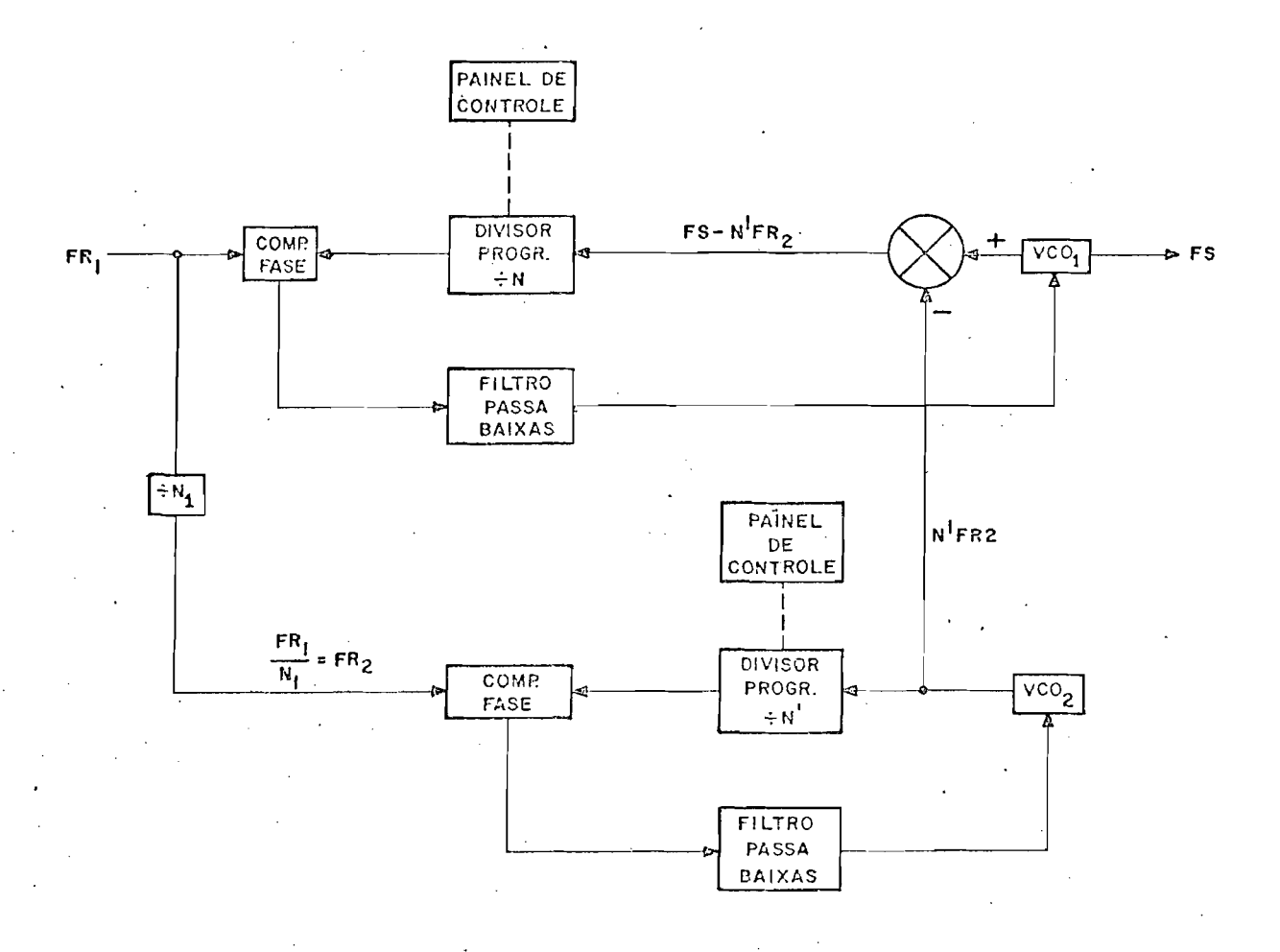


Fig. 2.19 - Sintetizador coerente indireto de duas malhas.

Um exemplo de um sintetizador coerente indireto de 3 ma lhas é apresentado na Figura 2.20. Pela figura pode-se observar que o incremento de frequência é igual a 1 kHz, enquanto a frequência de re ferência é 100 vezes maior que o incremento.

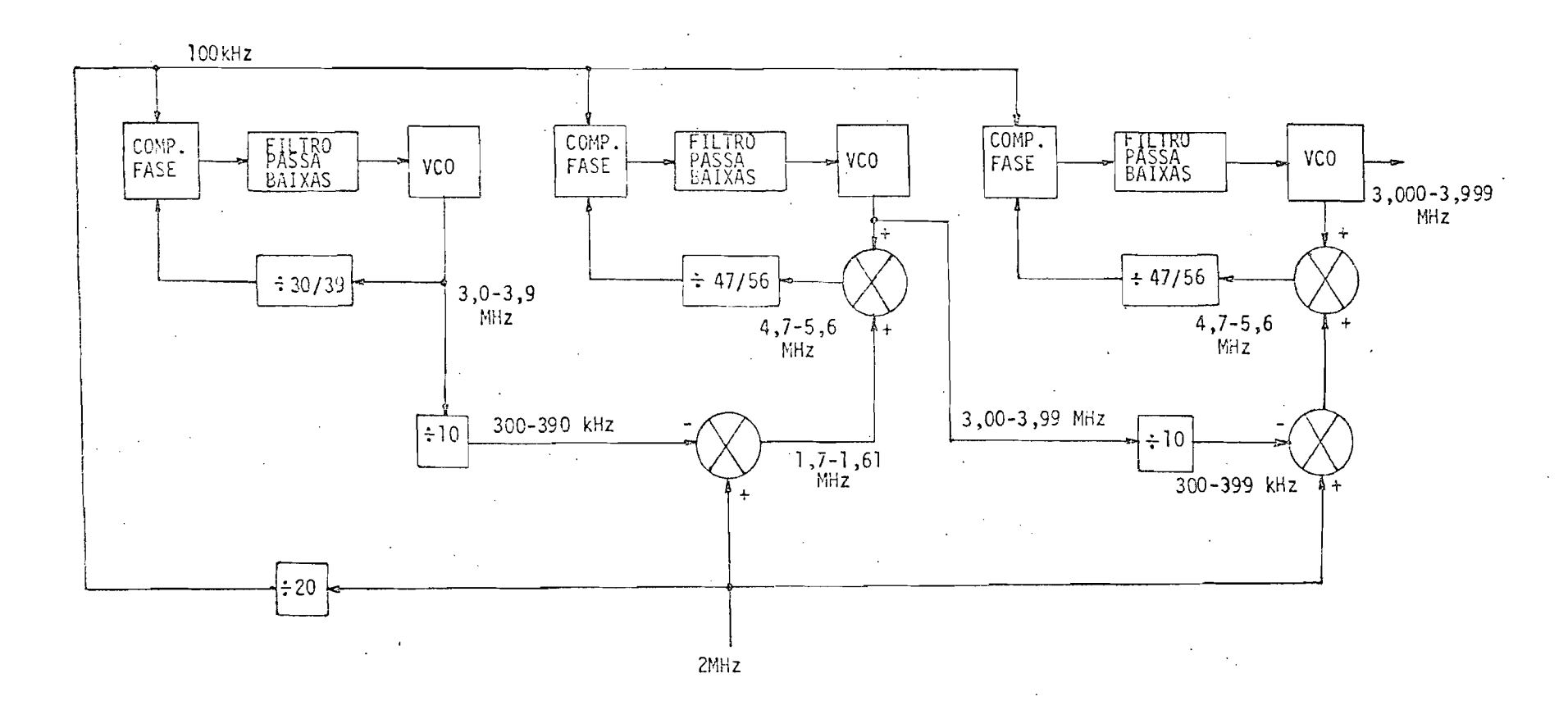


Fig. 2.20 - Exemplo de um sintetizador coerente indireto de multiplas malhas.

2.4 - SINTESE DIGITAL

Esta técnica de síntese de frequências (Tierney, 1975) utiliza uma fonte de referência de alta estabilidade para definir o tem po de amostragem na geração de amostras digitais de um sinal senoidal. Na Figura 2.21 tem-se o esquema de um sintetizador que utiliza esta técnica. Na memória estão armazenadas amostras de um sinal senoidal. O acesso a essas amostras é feito através do gerador de endereços contro lado pelo oscilador de referência. Em seguida essas amostras são con vertidas em sinais analógicos e filtrados. Variando o tempo de acesso a memória, ou seja, variando o valor de N, varia a frequência de saída.

Uma desvantagem deste tipo de sintetizador \tilde{e} que ele \underline{es} ta muito limitado em frequência; mas para baixas frequências funciona muito bem.

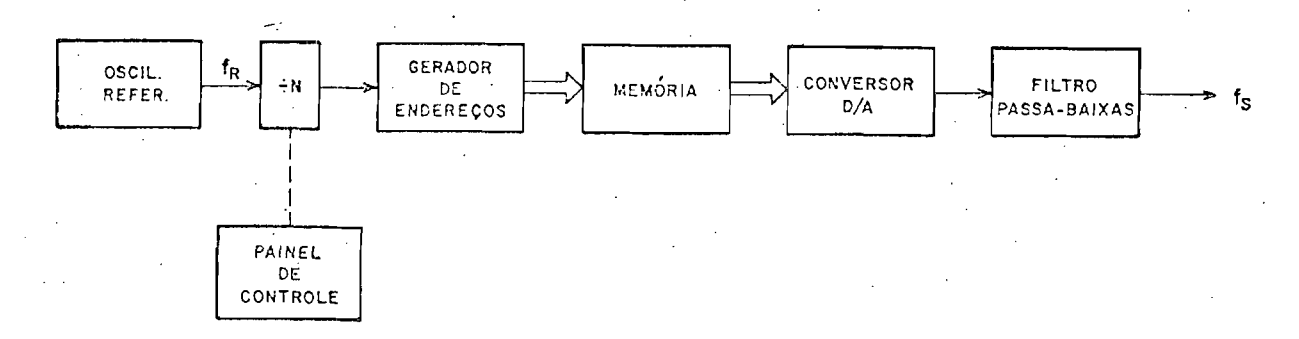


Fig. 2.21 - Sintetizador digital.

CAPÍTULO 3

ASPECTOS TEÓRICOS DOS SINTETIZADORES COERENTES INDIRETOS

Um sintetizador de frequências coerente indireto e essen cialmente um PLL com um divisor programável de frequências na malha de realimentação. Por ser um sistema de natureza dinâmica, certas termino logias utilizadas em sistemas de controle (D'Azzo, 1966) serão introdu zidas neste trabalho, tais como frequências natural da malha, fator de amortecimento etc.

Na Figura 3.1 é apresentado o diagrama de blocos de um sintetizador coerente indireto. Ele consiste basicamente em um oscila dor controlado a tensão (VCO), em um divisor programavel na malha de realimentação, em um comparador de fase e em um filtro passa-baixas.

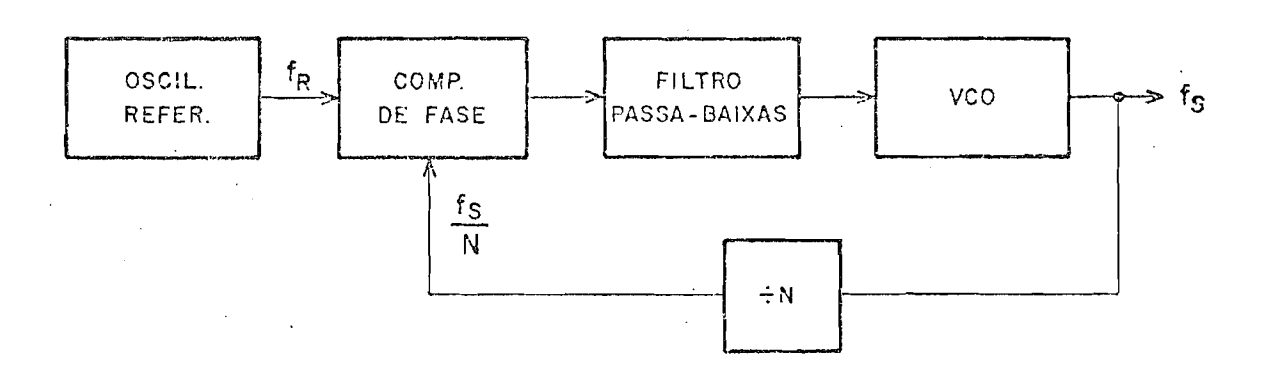


Fig. 3.1 - Diagrama de blocos do sintetizador.

O sinal de saīda do VCO (f_s) ē dividido e comparado com uma frequência de referência bastante estavel. O comparador de fase gera um sinal de erro, que depois de convenientemente filtrado é utiliza do para controlar a saīda do VCO, mantendo-o na frequência $f_s = N \cdot f_R$. Quando isto ocorre, diz-se que o sistema esta amarrado em fase.

A função primāria de um sistema de controle (no caso, o sintetizador) $\bar{\rm e}$ fazer com que a variavel controlada (f $_{\rm S}$) siga a vari $\bar{\rm a}$

vel de referência (f_R) , quer a referência seja constante, quer seja va riável. Portanto, quando se altera o valor de N, ocorre no circuito um transitório que logo é superado, voltando a vigorar a relação $f_s = N \cdot f_R$. Com isso, pode-se obter na saída um certo número de frequências múltiplas de f_R , dependendo dos parâmetros do circuito.

3.1 - EQUAÇÕES GERAIS

Utilizando a Transformada de Laplace, a representação do sintetizador no dominio da frequência é mostrada na Figura 3.2. Este tipo de representação é conveniente, uma vez que fornece soluções tan to nos transitórios, como em regime permanente, o que facilita suas análises.

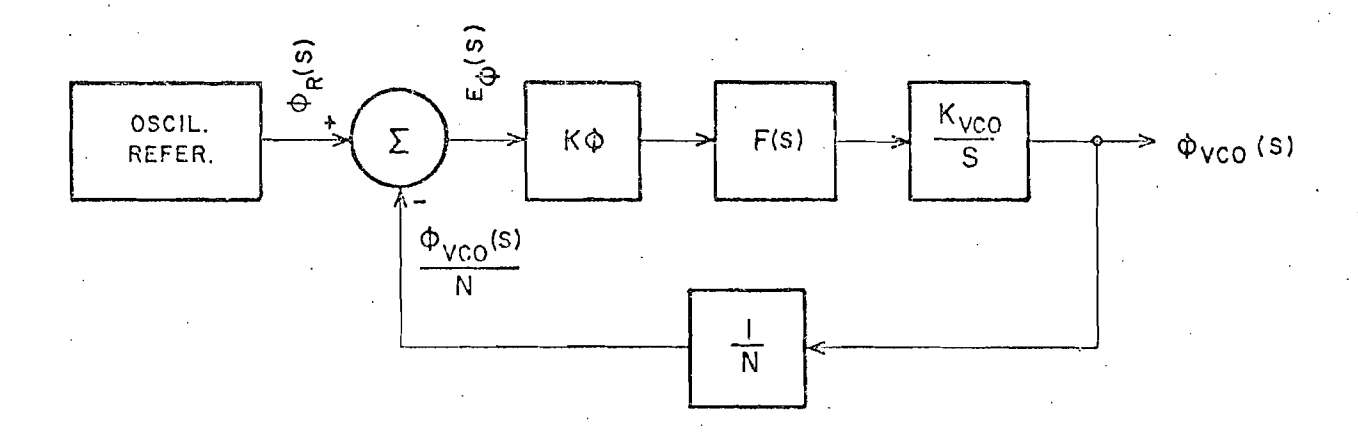


Fig. 3.2 - Representação do sintetizador no dominio da frequência.

A constante K_{ϕ} representada na figura \tilde{e} o ganho do comparador de fase e sua unidade \tilde{e} volt/radiano (V/rad), enquanto K_{vco} \tilde{e} o ganho do VCO e sua unidade \tilde{e} radiano/(segundo·volt) (rad/s·V).

Pela analise da Figura 3.2, tem-se:

$$\phi_{VCO}(s) = K_{\phi} \cdot F(s) \cdot \frac{K_{VCO}}{s} \cdot E_{\phi}(s) , \qquad (3.1)$$

onde F(s) e a função de transferência do filtro passa-baixas e

$$E_{\phi}(s) = \phi_{R}(s) - \frac{\phi_{VCO}(s)}{N} \qquad (3.2)$$

Combinando a Equação 3.1 com a 3.2 obtem-se a função de transferência do sintetizador:

$$\frac{\phi_{\text{VCO}}(s)}{\phi_{\text{R}}(s)} = \frac{K_{\phi}K_{\text{VCO}}F(s)}{s + \frac{K_{\phi}K_{\text{VCO}}}{N} \cdot F(s)}.$$
(3.3)

Uma das medidas do desempenho dos sistemas de controle é o erro que aparece durante e após os transitórios. A equação do erro é obtida combinando a Equação 3.1 com a 3.2. Assim tem-se:

$$E_{\phi}(s) = \frac{s}{s + \frac{K_{\phi}K_{vco} \cdot F(s)}{N}} \cdot \phi_{R}(s) . \qquad (3.4)$$

3.1.1 - EQUAÇÕES PARA O SINTETIZADOR DE PRIMEIRA ORDEM

Dependendo da função de transferência do filtro de malha, têm-se sintetizadores com várias características dinâmicas.

Quando a mais alta potência de s no denominador da Equação 3.3 \in igual a 1, o sintetizador \in denominado de primeira ordem. Para que isso aconteça pode-se fazer F(s) = 1, ou seja, a malha deixa de ter o filtro passa-baixas e a Equação 3.3 se torna igual a

$$\frac{K_{\text{vco}}(s)}{\phi_{\text{R}}(s)} = \frac{K_{\phi}K_{\text{vco}}}{s + \frac{K_{\phi}K_{\text{vco}}}{N}}.$$
(3.5)

A equação do erro de fase para este tipo de sintetizador

$$E_{\phi}(s) = \frac{s}{s + \frac{K_{\phi}K_{vco}}{N}} \cdot \phi_{R}(s) . \qquad (3.6)$$

3.1.2 - EQUAÇÕES PARA O SINTETIZADOR DE SEGUNDA ORDEM COM FILTRO PASSI VO

Neste caso, a mais alta potência de s no denominador da Equação 3.3 é igual a 2. Um filtro, cuja função de transferência faz com que o sintetizador fique de segunda ordem, é o filtro passivo mos trado na Figura 3.3. A função de transferência deste filtro é:

$$F(s) = \frac{1 + \tau_2 s}{1 + \tau_3 s},$$

ē

onde $\tau_1 = (R_1 + R_2)C$ e $\tau_2 = R_2C$.

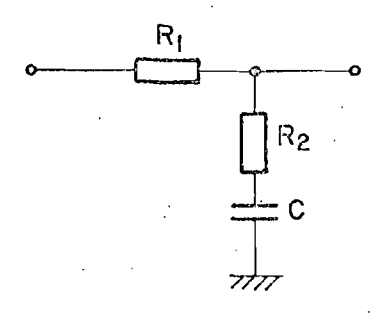


Fig. 3.3 - Filtro de malha passivo.

Substituindo F(s) na Equação 3.3, o sistema fica com a função de transferência igual a

$$\frac{\phi_{\text{vco}}(s)}{\phi_{\text{R}}(s)} = \frac{K_{\phi}K_{\text{vco}}(\frac{1+\tau_{2}s}{1+\tau_{1}s})}{s + \frac{K_{\phi}K_{\text{vco}}}{N}(\frac{1+\tau_{2}s}{1+\tau_{1}s})},$$

ou

$$\frac{\phi_{VCO}(s)}{\phi_{R}(s)} = \frac{K_{\phi}K_{VCO}(1/\tau_{1})(1+\tau_{2}s)}{s^{2} + \frac{1}{\tau_{1}}(1 + \frac{K_{\phi}K_{VCO}}{N}\tau_{2})s + \frac{K_{\phi}K_{VCO}}{N\tau_{1}}}$$

Expressa em função da frequência natural, ω_n , e do fator de <u>amorteci</u> mento, ξ , a função de transferência fica igual a

$$\frac{\phi_{\text{vco}}(s)}{\phi_{\text{R}}(s)} = \frac{s\omega_{\text{n}}N \left[2\xi - (\omega_{\text{n}}/\frac{K_{\phi}K_{\text{vco}}}{N})\right] + \omega_{\text{n}}^{2}N}{s^{2} + 2\xi\omega_{\text{n}}s + \omega_{\text{n}}^{2}},$$
(3.7)

. onde

$$\omega_{n} = \left(\frac{K_{\phi} K_{VCO}}{N_{\tau_{1}}}\right)^{1/2}$$

е

$$\xi = \frac{1}{2} \left(\frac{N}{\tau_1 K_{\phi} K_{VCO}} \right)^{1/2} \left(1 + \tau_2 \frac{K_{\phi} K_{VCO}}{N} \right).$$

A equação do erro de fase se torna igual a

$$E_{\phi}(s) = \frac{s}{s + \frac{K_{\phi}K_{vco}}{N} (\frac{1 + \tau_2 s}{1 + \tau_1 s})} \cdot \phi_{R}(s) ,$$

ou

$$E_{\phi}(s) = \frac{s(1 + \tau_{1}s)}{\tau_{1}s^{2} + (1 + \frac{K_{\phi}K_{VCO}}{N} \tau_{2})s + \frac{K_{\phi}K_{VCO}}{N}} \cdot \phi_{R}(s)$$

Escrevendo a equação como função de ω_{n} e ξ , tem-se

$$S(s + \frac{\omega_n^2}{K_{\phi}K_{vco}})$$

$$E_{\phi}(s) = \frac{\frac{N}{S^2 + 2\xi\omega_n s + \omega_n^2} \cdot \phi_R(s)}{s^2 + 2\xi\omega_n s + \omega_n^2} \cdot \phi_R(s) . \qquad (3.8)$$

3.1.3 - EQUAÇÕES PARA O SINTETIZADOR DE SEGUNDA ORDEM COM FILTRO ATIVO

Neste caso, o filtro a ser utilizado é o apresentado na Figura 3.4.

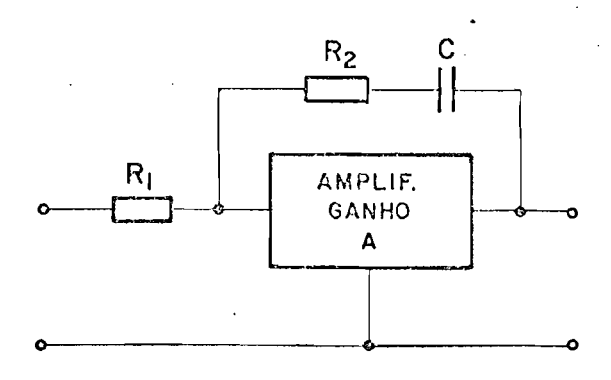


Fig. 3.4 - Filtro de malha ativo.

Se o ganho do amplificador \tilde{e} alto, a função de $\frac{1}{2}$ rência deste filtro se torna igual a

$$F(s) \cong \frac{1}{R_1C} \left(\frac{1 + \tau_2 s}{s} \right) ,$$

ou

$$F(s) \simeq \frac{1}{\tau_1} \left(\frac{1 + \tau_2 s}{s} \right) ,$$

onde

$$\tau_1 = R_1 C$$
 e

$$\tau_2 = R_2C.$$

Substituindo a expressão de F(s) na Equação 3.3, tem-se:

$$\frac{\phi_{VCO}(s)}{\phi_{R}(s)} = \frac{K_{\phi}K_{VCO}\frac{1}{\tau_{1}}(\frac{1+\tau_{2}s}{s})}{s+\frac{K_{\phi}K_{VCO}}{N\tau_{1}}(\frac{1+\tau_{2}s}{s})},$$

ou

$$\frac{\phi_{VCO}(s)}{\phi_{R}(s)} = \frac{\frac{K_{\phi}K_{VCO}}{\tau_{1}} (1 + \tau_{2}s)}{s^{2} + \frac{K_{\phi}K_{VCO}}{N\tau_{1}} \tau_{2}s + \frac{K_{\phi}K_{VCO}}{N\tau_{1}}}$$

Escrevendo a equação acima em termos de ω_{n} e ξ , tem-se:

$$\frac{\phi_{\text{VCO}}(s)}{\phi_{R}(s)} = \frac{N(2\xi\omega_{n}s + \omega_{n}^{2})}{s^{2} + 2\xi\omega_{n}s + \omega_{n}^{2}},$$
(3.9)

onde

$$\omega_{n} = \left(\frac{K_{\phi}K_{VCO}}{N\tau_{1}}\right)^{1/2}$$

 ϵ

$$\xi = \frac{1}{2} \left(\frac{K_{\phi} K_{VCO} \tau_{2}^{2}}{N \tau_{1}} \right)^{1/2}.$$

A equação do erro de fase se torna igual a:

$$E_{\phi}(s) = \frac{s}{s + \frac{K_{\phi}K_{VCO}}{N} \frac{1}{\tau_{1}} \frac{1 + \tau_{2}s}{s}} \cdot \phi_{R}(s) .$$

Escrevendo a equação acima como função de ω_n e ξ , tem-se

$$E_{\phi}(s) = \frac{s^2}{s^2 + 2\xi \omega_n S + \omega_n^2} \cdot \phi_R(s) . \qquad (3.10)$$

3.2 - ANALISE DA ESTABILIDADE DOS SINTETIZADORES

A análise da estabilidade dos sintetizadores pode ser feita através da observação da função de transferência de malha aberta. Esta análise é feita utilizando o Diagrama de Bode (Kuo, 1967), que é a representação da amplitude e fase da função de transferência de malha aberta.

Da teoria de controle, tem-se que um sistema realimenta do se torna instavel quando o ganho de malha aberta se torna maior ou igual \tilde{a} unidade para a frequência na qual a mudança de fase na imalha aberta \tilde{e} igual a \pm 180°. Portanto, analisando os diagramas de fase e amplitude da função de transferência de malha aberta, podem-se obter conclusões sobre a estabilidade do sistema.

3.2.1 - SINTETIZADOR DE PRIMEIRA ORDEM

Pela Figura 3.2, tem-se que a função de transferência de malha aberta para o sintetizador de primeira ordem, para $s=j\omega$ é igual a

$$A(j_{\omega}) = \frac{K_{\phi}K_{vco}}{Nj_{\omega}}.$$
 (3.11)

O Diagrama de Bode correspondente à Equação 3.11 é o apresentado na Figura 3.5. Como a fase é constante e igual a $-\pi/2$, qualquer que seja o valor de N, este tipo de sintetizador é sempre estável. Na mesma figura é apresentada a variação do ganho de malha aberta com os valores máximos e mínimos que N pode assumir.

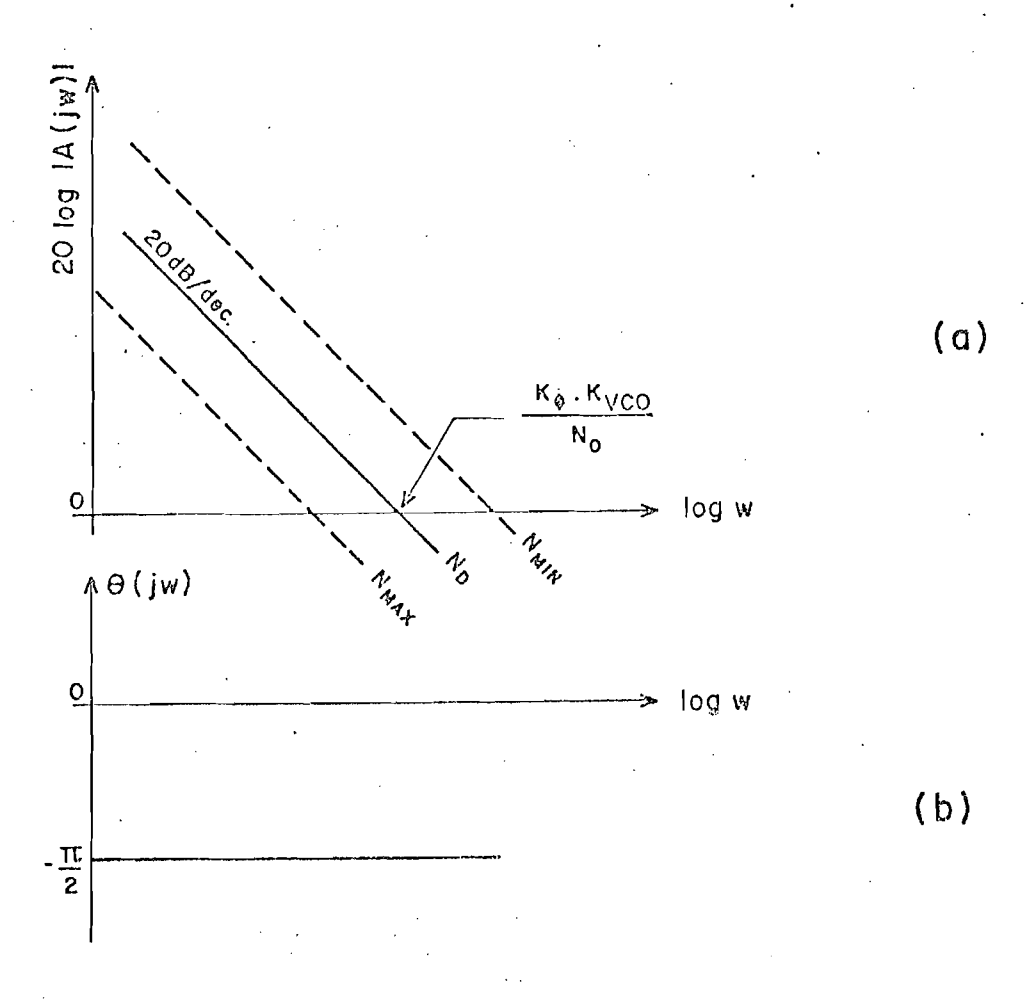


Fig. 3.5 - Diagrama de Bode para o sintetizador de primeira ordem.

(a) Diagrama de amplitude. (b) Diagrama de fase.

3.2.2 - SINTETIZADOR DE SEGUNDA ORDEM COM FILTRO PASSIVO

Como para este tipo de sintetizador, o filtro de malha utilizado é o apresentado na Figura 3.3 e a função de transferência de malha aberta é igual a:

$$A(j\omega) = \frac{K_{\phi}K_{VCO}}{Nj\omega} \left(\frac{1+j\omega\tau_{2}}{1+j\omega\tau_{1}}\right). \tag{3.12}$$

O Diagrama de Bode correspondente à Equação 3.12 é o apresentado na Figura 3.6. Pode-se notar pela figura que se a constante de tempo τ_1 for muito grande (ou se τ_2 for relativamente pequeno), o sistema pode tornar-se instavel, dependendo do ganho da malha. Na mesma figura são apresentados também os diagramas correspondentes aos valores máximo e mínimo que N pode assumir. As curvas que estão representa das por linhas pontilhadas correspondem aos limites da variação do ganho de malha aberta do sintetizador, ao variar da frequência mínima a máxima solicitada. Essas variações devem ser levadas em consideração quanto a estabilidade, pois dependendo dos valores relativos de τ_1 e τ_2 , o sistema pode tornar-se instavel ao mudar o valor de N.

Por outro lado, fazendo τ_2 grande (ou τ_1 relativamente pequeno), aumenta-se a margem de segurança do sistema.

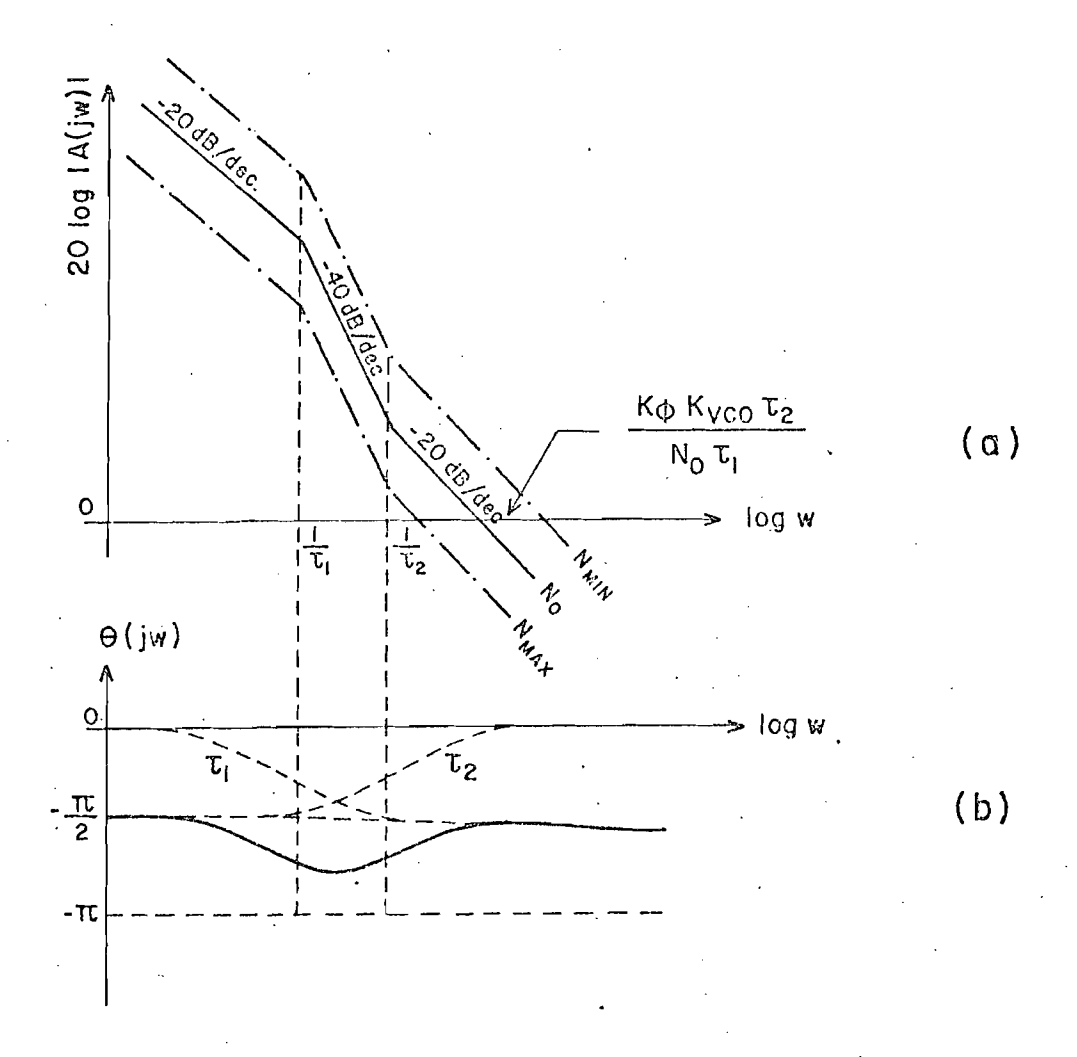


Fig. 3.6 - Diagrama de Bode para o sintetizador de segunda ordem com filtro passivo.

(a) Diagrama de amplitude. (b) Diagrama de fase.

3.2.3 - SINTETIZADOR DE SEGUNDA ORDEM COM FILTRO ATIVO

Substituindo a expressão da função de transferência do filtro da Figura 3.4 na função de transferência de malha aberta no sintetizador, tem-se

$$A(j\omega) = \frac{K_{\phi}K_{vco}}{N\tau_{1}} \left(\frac{1 + j\omega\tau_{2}}{-\omega^{2}}\right). \tag{3.13}$$

O Diagrama de Bode correspondente à Equação 3.13 é apresentado na Figura 3.7. Na mesma figura também são apresentados os diagramas correspondentes aos valores máximo e mínimo que N pode assumir. Pode-se no tar que toda a curva de fase está localizada acima de $-\pi$, o que faz com que o sintetizador seja estável para qualquer valor de N. Mesmo assim, deve-se tomar certa precaução com pequenas mudanças de fase que certos circuitos podem introduzir na malha, pois se houver uma pequena defasa gem para frequências baixas, o sintetizador poderá tornar-se instável.

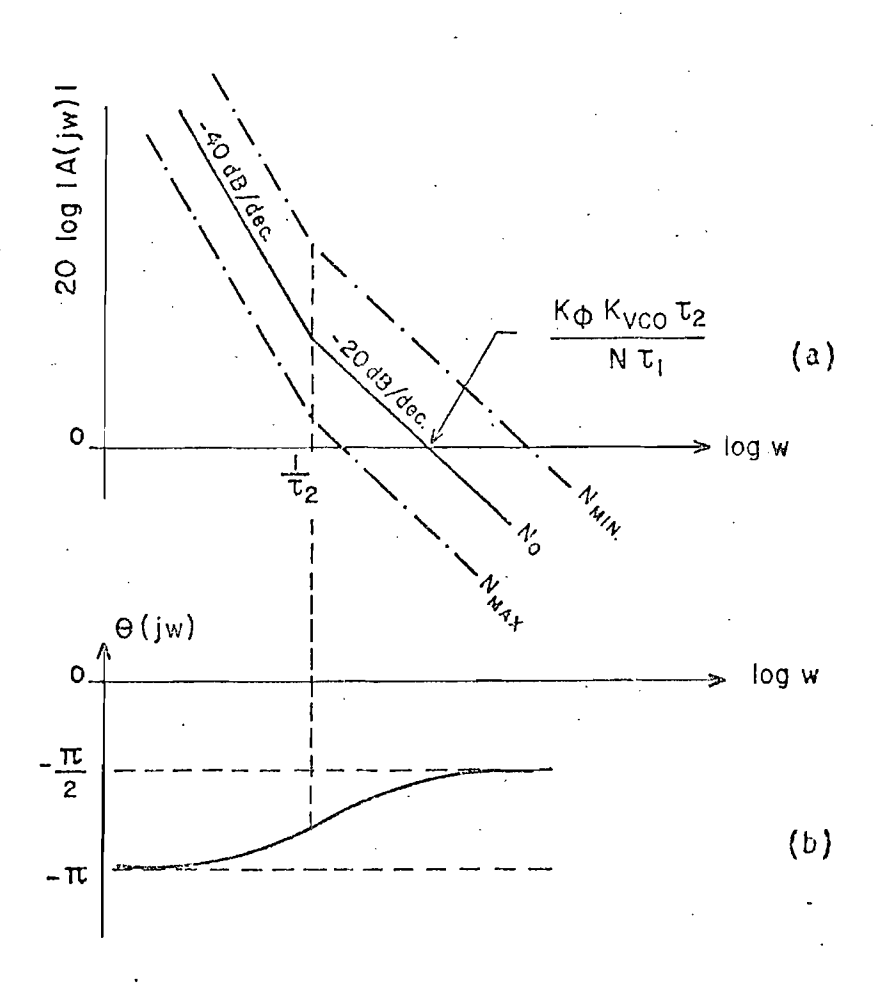


Fig. 3.7 - Diagrama de Bode para o sintetizador de segunda ordem com filtro ativo.

(a) Diagrama de amplitude. (b) Diagrama de fase.

3.3 - RESPOSTA TRANSITÓRIA

O mais importante transitório que ocorre em sintetizado res em geral $\tilde{\rm e}$ o ocasionado pela mudança do valor do divisor programa vel. Quando o valor do divisor $\tilde{\rm e}$ alterado de $\rm N_1$ para $\rm N_2$, a frequência de saída do VCO também $\tilde{\rm e}$ alterada de $\rm N_1 \cdot f_R$ para $\rm N_2 \cdot f_R$, após um transitório no sistema. Este transitório $\tilde{\rm e}$ o mesmo que ocorreria se houvesse uma variação na frequência de referência correspondente a um degrau de frequência de amplitude igual a $(\rm N_2/N_1-1)\cdot f_R$.

Nesta seção faz-se uma análise da resposta transitória correspondente a uma variação degrau de frequência de amplitude Δf para os três tipos de sintetizadores já vistos. Supõe-que no instante t=0 a malha se encontra amarrada em fase, com um erro de fase igual a zero (Gardner, 1979).

3.3.1 - SINTETIZADOR DE PRIMEIRA ORDEM

No instante t=0 aplica-se na entrada do sintetizador uma variação correspondente a um degrau de frequência de amplitude Δf :

$$\phi_{R}(t) = 2\pi \Delta f \cdot t \cdot u(t)$$
,

onde u(t) $ar{e}$ a função degrau unitario. A transformada de Laplace de $\phi_R(t)$ $ar{e}$

$$\phi_{R}(s) = \frac{2\pi \Lambda f}{s^2} = \frac{\Delta \omega}{s^2} . \qquad (3.14)$$

Substituindo a Equação 3.14 na Equação 3.6, a função do erro de fase torna-se igual a

$$E_{\phi}(s) = \frac{\Delta \omega}{s(s + \frac{K_{\phi}K_{VCO}}{N})}.$$

Tomando a transformada inversa de Laplace, tem-se a resposta do erro de fase:

$$E_{\phi}(t) = \frac{N\Delta\omega}{K_{\phi}K_{vco}} \left[1 - e^{-\frac{K_{\phi}K_{vco}}{N}} t \right]. \qquad (3.15)$$

A Figura 3.8 apresenta a resposta do sintetizador corres pondente à Equação 3.15. O erro de regime permanente, neste caso, \tilde{e} igual a

$$E_{R} = \frac{N\Delta\omega}{K_{\phi}K_{VCO}}$$

Pode-se notar que, para valores grandes de N, o erro de regime permanente pode tornar-se maior que a faixa linear de operação do comparador de fase, o que faz com que o sintetizador não mais acom panhe as variações de N.

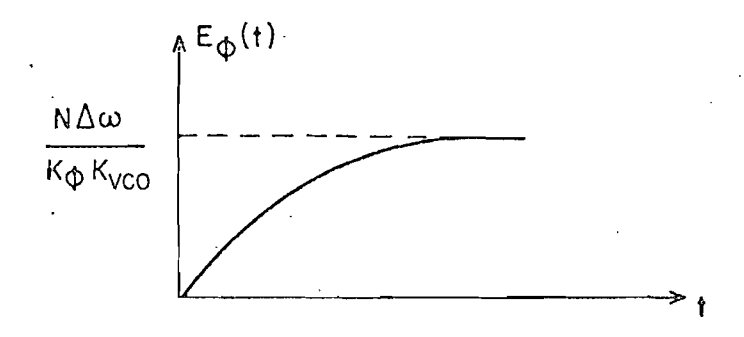


Fig. 3.8 - Erro de fase de um sintetizador de primeira ordem, devido a uma variação degrau de frequência na entrada.

3.3.2 - SINTETIZADOR DE SEGUNDA ORDEM COM FILTRO PASSIVO

Neste caso a equação do erro de fase $\bar{\rm e}$ obtida substitui $\bar{\rm n}$ do a Expressão 3.14 na Equação 3.8. Então tem-se:

$$E_{\phi}(s) = \frac{\frac{\Delta\omega}{s} \left(s + \frac{\omega_n^2}{K_{\phi} K_{\phi} (s)}\right)}{s^2 + 2\xi \omega_n s + \omega_n^2},$$

ou

$$E_{\phi}(s) = \frac{\Delta \omega}{s^2 + 2\xi \omega_n s + \omega_n^2} + \frac{N\omega_n^2}{K_{\phi} K_{VCO}} \cdot \frac{\Delta \omega}{s(s^2 + 2\xi \omega_n s + \omega_n^2)}.$$

Tomando a transformada inversa de Laplace, tem-se a resposta no tempo para os diversos valores de ξ (Blanchard, 1976). Para ξ > 1:

$$E_{\phi}(t) = \frac{N\Delta\omega}{K_{\phi}K_{vco}} + \frac{\Delta\omega}{\omega_{n}} e^{-\xi\omega_{n}t} \begin{bmatrix} 1 - \frac{N\xi\omega_{n}}{K_{\phi}K_{vco}} \\ -\frac{K_{\phi}K_{vco}}{\sqrt{\xi^{2} - 1}} \operatorname{senh}(\omega_{n}\sqrt{\xi^{2} - 1} t) - \frac{N\xi\omega_{n}}{\sqrt{\xi^{2} - 1}} \end{bmatrix}$$

$$-\frac{N\omega_n}{K_{\phi}K_{vco}}\cosh(\omega_n\sqrt{\xi^2-1}t)$$

para $\xi = 1$:

$$E_{\phi}(t) = \frac{N\Delta\omega}{K_{\phi}K_{vco}} + \frac{\Delta\omega}{\omega_{n}} e^{-\omega_{n}t} \left[\omega_{n}t - \frac{N\omega_{n}^{2}}{K_{\phi}K_{vco}} t - \frac{N\omega_{n}}{K_{\phi}K_{vco}} \right], \quad (3.16)$$

para ξ < 1:

$$E_{\phi}(t) = \frac{N\Delta\omega}{K_{\phi}K_{vco}} + \frac{\Delta\omega}{\omega_{n}} e^{-\xi\omega_{n}t} \begin{bmatrix} 1 - \frac{N\xi\omega_{n}}{K_{\phi}K_{vco}} \\ \frac{1 - \xi^{2}}{\sqrt{1 - \xi^{2}}} sen(\omega_{n}\sqrt{1 - \xi^{2}}t) - \frac{1}{2} \end{bmatrix}$$

$$-\frac{N\omega_{n}}{K_{\phi}K_{VCO}}\cos(\omega_{n}\sqrt{1-\xi^{2}}t).$$

As curvas correspondentes as Equações 3.16 estão mostra das na Figura 3.9 para vários valores de ξ . O erro de regime permanen te \tilde{e} o mesmo do sintetizador de primeira ordem.

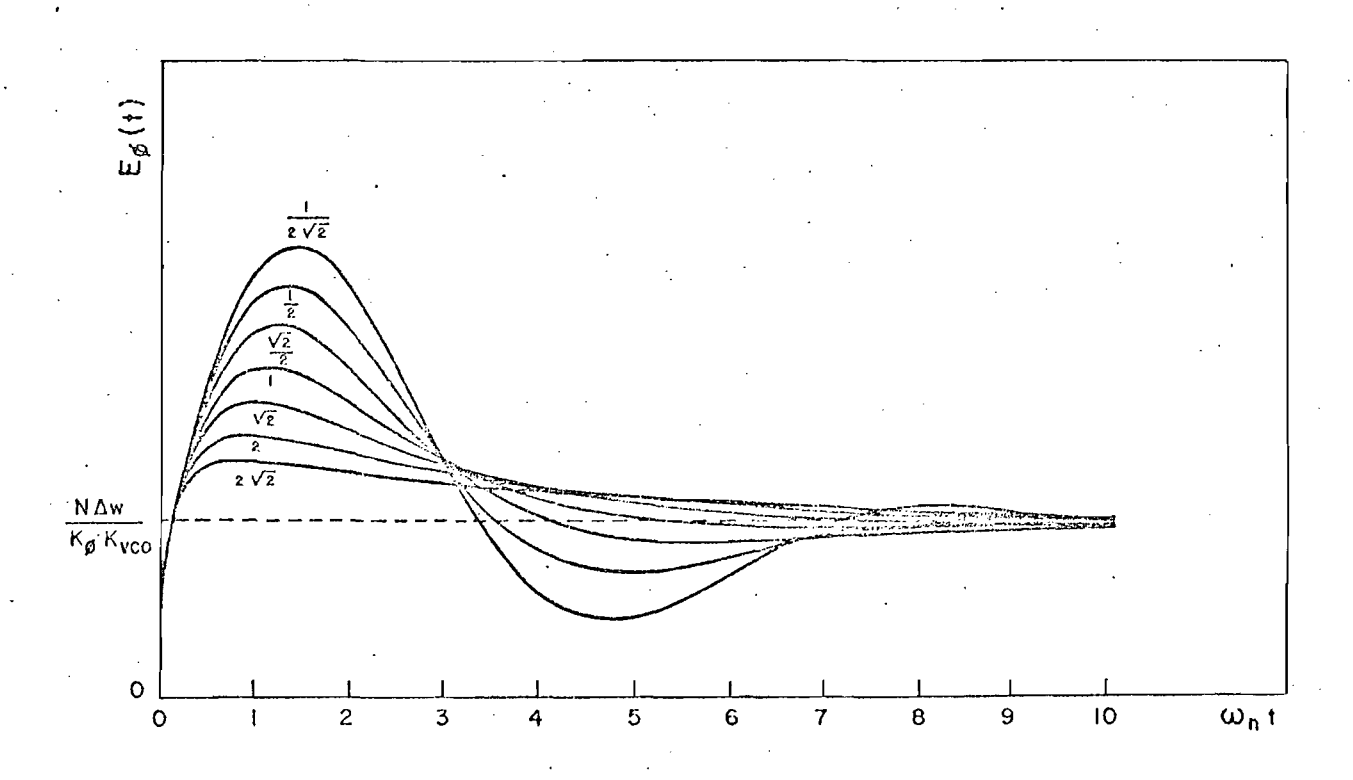


Fig. 3.9 - Erro de fase de um sintetizador de segunda ordem com filtro passivo, devido a uma variação degrau de frequência na entrada.

Quando o ganho da malha e muito alto, as Equações 3.16 se aproximam das do sintetizador de segunda ordem com filtro ativo, co mo será visto na proxima seção. Mas neste caso ω_n também se tornará grande, o que na maioria das vezes não será interessante, como será visto adiante.

3.3.3 - SINTETIZADOR DE SEGUNDA ORDEM COM FILTRO ATIVO

Neste caso a equação do erro de fase é obtida substituin do a Expressão 3.14 na Equação 3.10. Então, tem-se:

$$E_{\phi}(s) = \frac{\Delta \omega}{s^2 + 2\xi \omega_n s + \omega_n^2}$$

Tomando a transformada inversa de Laplace, tem-se a resposta no tempo para diversos valores de ξ . Para $\xi > 1$:

$$E_{\phi}(t) = \frac{\Delta \omega}{\omega_{n}} e^{-\xi \omega_{n} t} \left[\frac{\operatorname{senh}(\omega_{n} \sqrt{\xi^{2} - 1} t)}{\sqrt{\xi^{2} - 1}} \right],$$

para $\xi = 1$:

$$E_{\phi}(t) = \frac{\Delta \omega}{\omega_{n}} e^{-\omega_{n} t} \omega_{n} t , \qquad (3.17)$$

para ξ < 1:

$$E_{\phi}(t) = \frac{\Delta \omega}{\omega_{n}} e^{-\xi \omega_{n} t} \left[\frac{\operatorname{sen}(\omega_{n} \sqrt{1 - \xi^{2}} t)}{\sqrt{1 - \xi^{2}}} \right].$$

Na Figura 3.10 são apresentadas as curvas correspondentes as Equações 3.17 para vários valores de ¿.

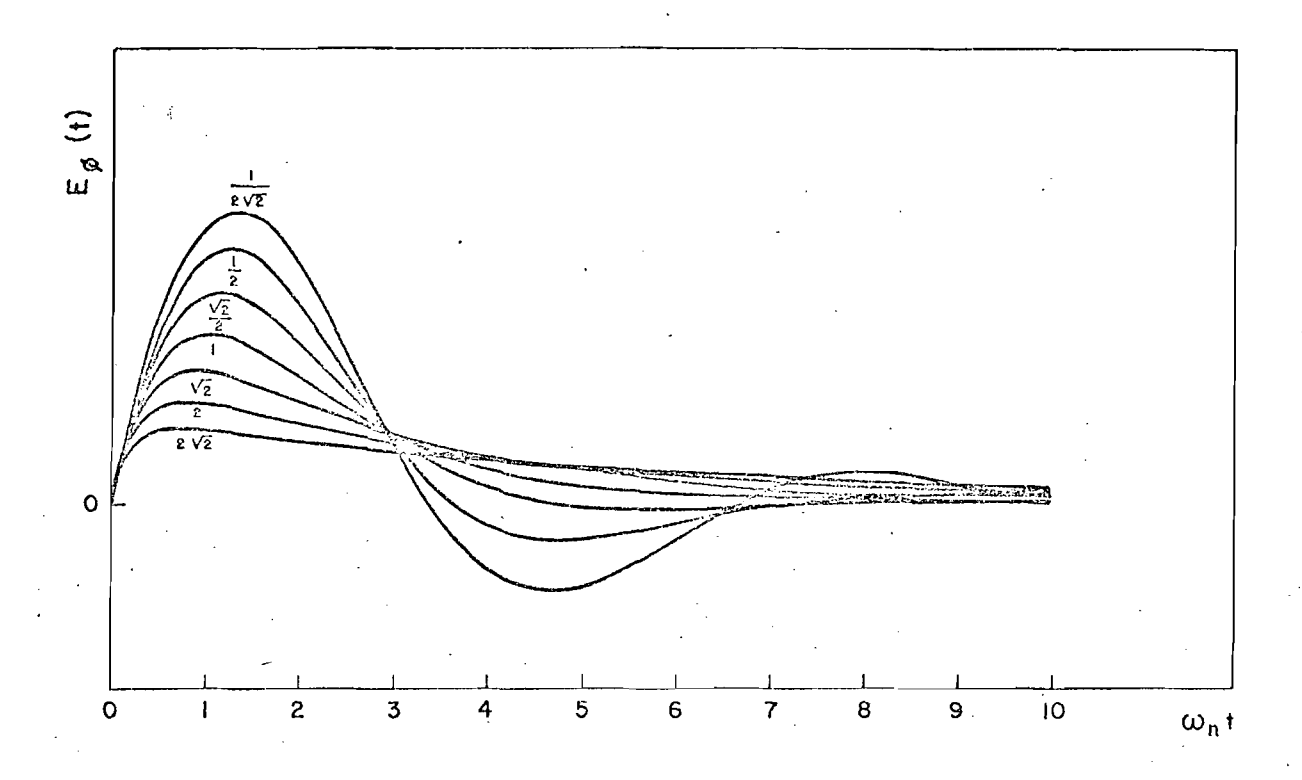


Fig. 3.10 - Erro de fase de um sintetizador de segunda ordem com filtro ativo, devido a uma variação degrau de frequência na entrada.

Neste caso o erro de regime permanente e igual a zero, ou seja, o filtro ativo gera uma tensão de controle necessária para que a saída do VCO mude de frequência, enquanto o erro de fase de regime permanente e igual a zero. Com isso pode-se conseguir uma faixa de va riação para N muito grande, sem que o sintetizador deixe de acompanhar essas variações, desde que a variação de tensão na saída do filtro ati vo não ultrapasse a faixa em que o VCO opera. Este é um dos motivos da escolha do sintetizador com filtro ativo para a elaboração deste traba lho.

3.4 - RUÍDO DE FASE NOS SINTETIZADORES

Qualquer oscilador, por menor que seja o ruido na saida, é modulado em fase de uma maneira totalmente aleatória. A Figura 3.11 emostra o espectro de um sinal de um oscilador e seu ruido de fase.

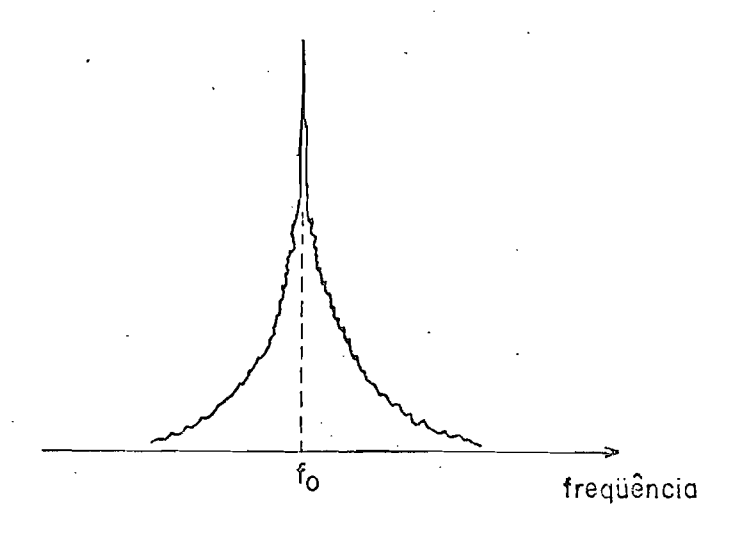


Fig. 3.11 - Espectro do ruido de fase de um oscilador.

Este espectro pode ser considerado como a somatória de um grande número de raias semelhante à mostrada na Figura 3.12. Essas raias podem ser consideradas como provenientes da modulação FM de um sinal senoidal a uma distância variável, f_m , da portadora. Cada raia está centrada numa faixa ΔB , com energia igual à contida nesta faixa, e produz um desvio proporcional à amplitude do espectro naquela fre quência.

Uma grandeza que caracteriza o sinal de um oscilador com relação ao ruido de fase é a razão entre a densidade de potência de ruido em uma faixa lateral e a potência do sinal:

 $\alpha(f_m) = \frac{\text{densidade de potência de ruído de fase em uma faixa lateral}}{\text{potência do sinal}}$

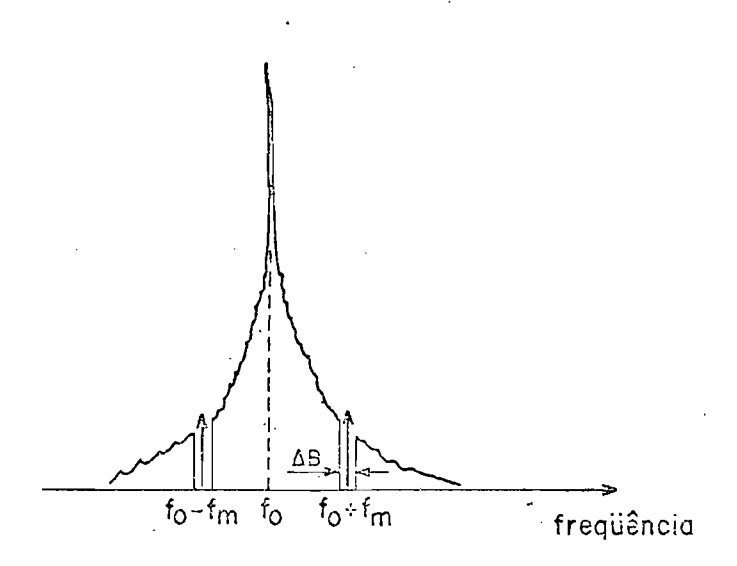


Fig. 3.12 - Espectro do ruído de fase composto por uma somatória de raias laterais.

A estimativa da densidade de ruído de um VCO (Egan, 1981) pode ser descrita assintoticamente (Figura 3.13). A relação entre $S_\phi(f_m)$ e $\alpha(f_m)$ é simplesmente:

$$S_{\varphi}(f_m) = 2\alpha(f_m)$$
.

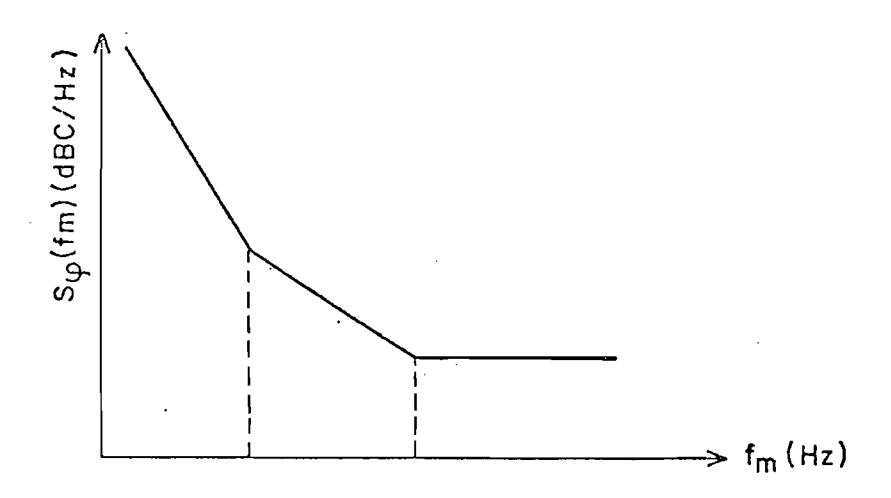


Fig. 3.13 - Espectro do ruído de fase de um VCO.

Quando a malha do sintetizador não está realimentada, o espectro de ruido do VCO é o mostrado na Figura 3.13. Quando a malha é fechada, há uma modificação do espectro de ruido pelo proprio efeito da malha, como será visto a seguir.

Observando as equações das funções de transferência da saída do VCO em relação à fonte de referência dos diversos sintetizado res (Equações 3.5, 3.7 e 3.9), nota-se que o sintetizador comporta-se como um filtro passa-baixas com relação ao ruído da fonte de referência. Devido a essa característica, o ruído da fonte de referência, multiplicado por N, sofre uma atenuação para frequências maiores que a lar gura de faixa da malha. Na Figura 3.14 é apresentado o ruído devido à fonte de referência (curva A) e a transferência deste ruído para a saída do VCO, quando a malha é fechada (curva B). A curva C é a densidade de ruído do oscilador de referência.

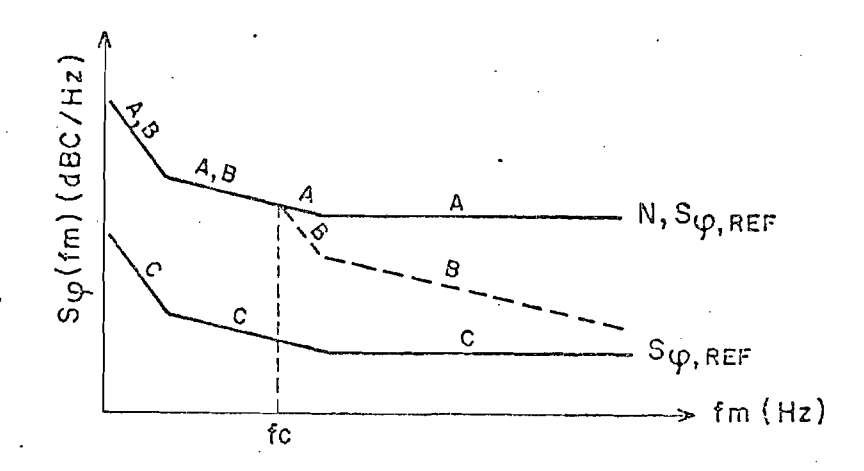


Fig. 3.14 - Densidade de ruido de fase devido ao oscilador de referência.

Para o ruido do VCO, a malha se comporta como um filtro passa-alta, onde a frequência de corte depende dos parâmetros da malha, como sera visto na seção seguinte. Portanto o ruido do VCO sera atenua do para frequências abaixo da frequência de corte. Na Figura 3.15 — e apresentada a modificação da densidade de ruido do VCO causada pela ma lha do sintetizador.

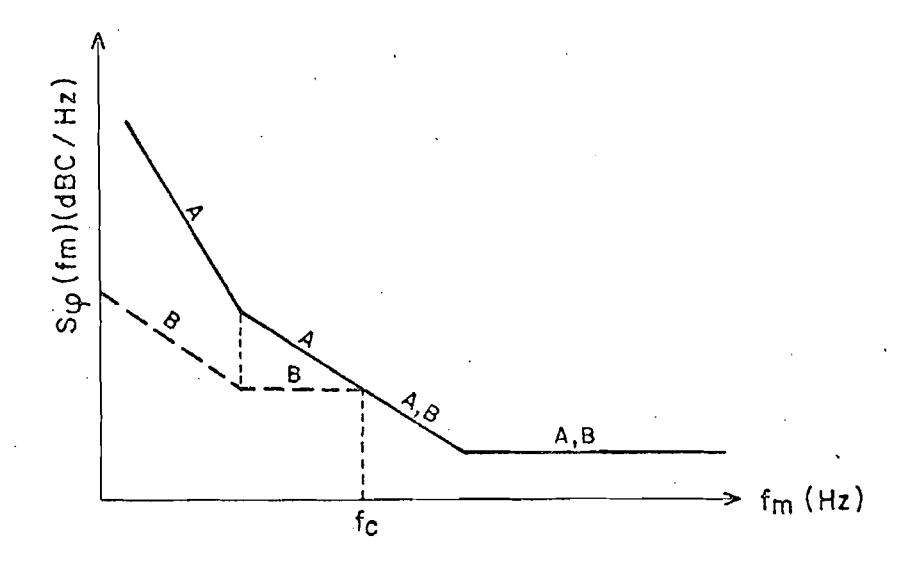


Fig. 3.15 - Densidade do ruído de fase devido ao VCO.

Ha também um outro ruido a ser considerado, que é conhe cido como ruido de "fundo" (Winchell, s.d.) ocasionado pelos próprios circuitos da malha, principalmente pelos divisores. Este ruido é praticamente constante em toda a faixa. Na Figura 3.16a é mostrado o ruido devido ao VCO, o ruido devido ao oscilador de referência ja multiplica do e o ruido de fundo do circuito. Na Figura 3.16b é mostrada a densidade de ruido resultante na saída (linha cheia).

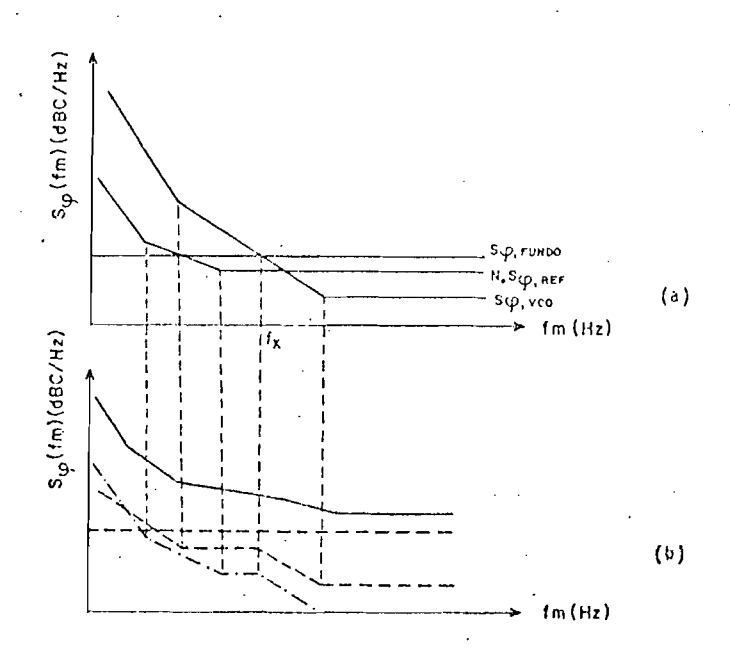


Fig. 3.16 - Efeito da malha sobre o ruido de fase na saida.

(a) Malha aberta. (b) Malha fechada.

3.5 - MODULADOR FM

Um sistema de controle, além de ser excitado por uma en trada de referência, pode ser submetido a sinais de perturbações aplicados em diversos pontos da malha. No caso, para o sintetizador ser utilizado como modulador FM, o sinal modulante é introduzido depois do filtro e superposto à tensão de controle do VCO (Figura 3.17).

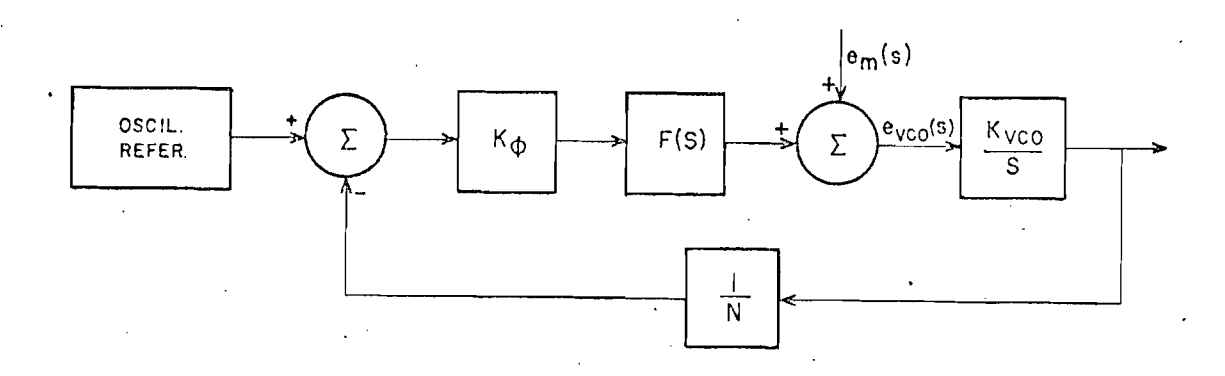


Fig. 3.17 - Sintetizador como modulador FM.

O sinal modulante \tilde{e} representado por $e_m(s)$ no dominio da frequência, e a função de transferência do erro de tensão gerado na entrada do VCO em relação ao sinal modulante \tilde{e} dada por:

$$\frac{e_{\text{vco}}(s)}{e_{\text{m}}(s)} = \frac{s}{s + \frac{K_{\phi}K_{\text{vco}}}{N} F(s)},$$
(3.18)

que tem a característica de um filtro passa-altas.

Para o sintetizador de primeira ordem a Equação 3.18 tor na-se:

$$\frac{e_{vco}(s)}{e_{m}(s)} = \frac{s}{s + \frac{K_{\phi}K_{vco}}{N}}.$$
 (3.19)

Na Figura 3.18 é apresentada a resposta do sintetizador de primeira ordem para o sinal de modulação FM. Como o valor de N varia entre dois extremos, pode-se notar que ha também uma variação na frequência de corte, a qual é inversamente proporcional a N.

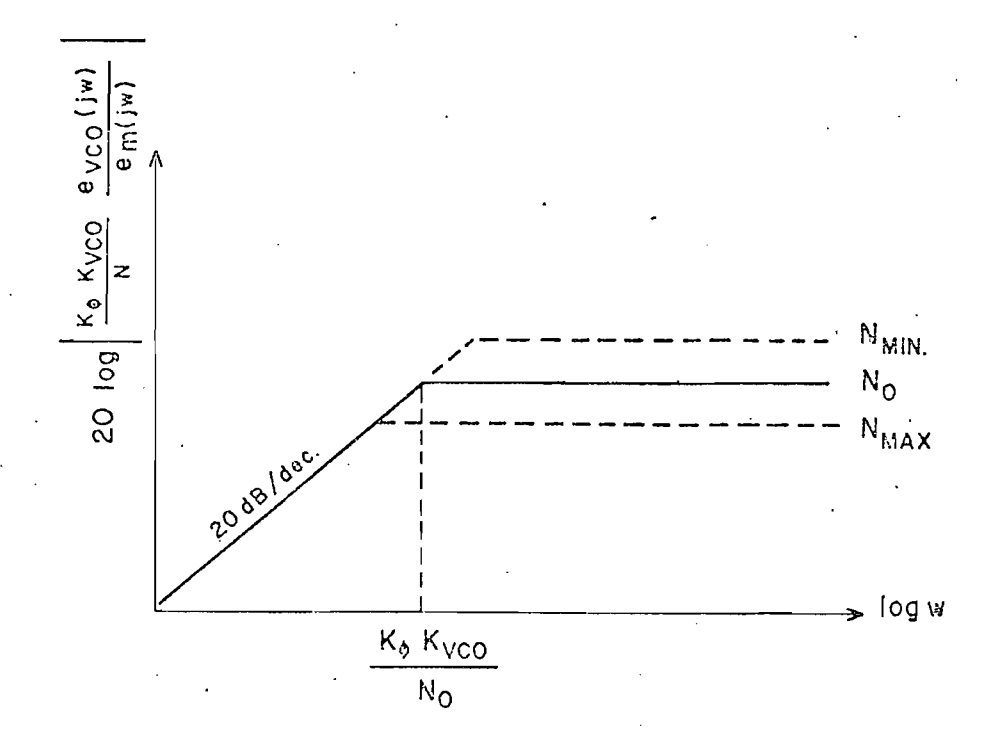


Fig. 3.18 - Resposta do sintetizador de primeira ordem para modulação FM.

Para o sintetizador de segunda ordem com filtro passivo, a Equação 3.18 torna-se:

$$\frac{e_{\text{vco}}(s)}{e_{\text{m}}(s)} = \frac{s}{s + \frac{K_{\phi}K_{\text{vco}}}{N} (\frac{1 + \tau_{2}s}{1 + \tau_{3}s})}$$

$$\frac{e_{vco}(s)}{e_{m}(s)} = \frac{s(\frac{1}{\tau_{1}} + s)}{s^{2} + \frac{1}{\tau_{1}} (1 + \frac{K_{\phi}K_{vco}}{N} \tau_{2}) s + \frac{K_{\phi}K_{vco}}{N\tau_{1}}}$$

Escrevendo a equação acima como função de ω_{n} e ξ , tem-se:

$$\frac{e_{\text{vco}}(s)}{e_{\text{m}}(s)} = \frac{s(s + \frac{1}{\tau})}{s^2 + 2\xi\omega_n s + \omega_n^2}.$$
 (3.20)

Na Figura 3.19 é apresentada a resposta do sintetizador, correspondente à Equação 3.20.

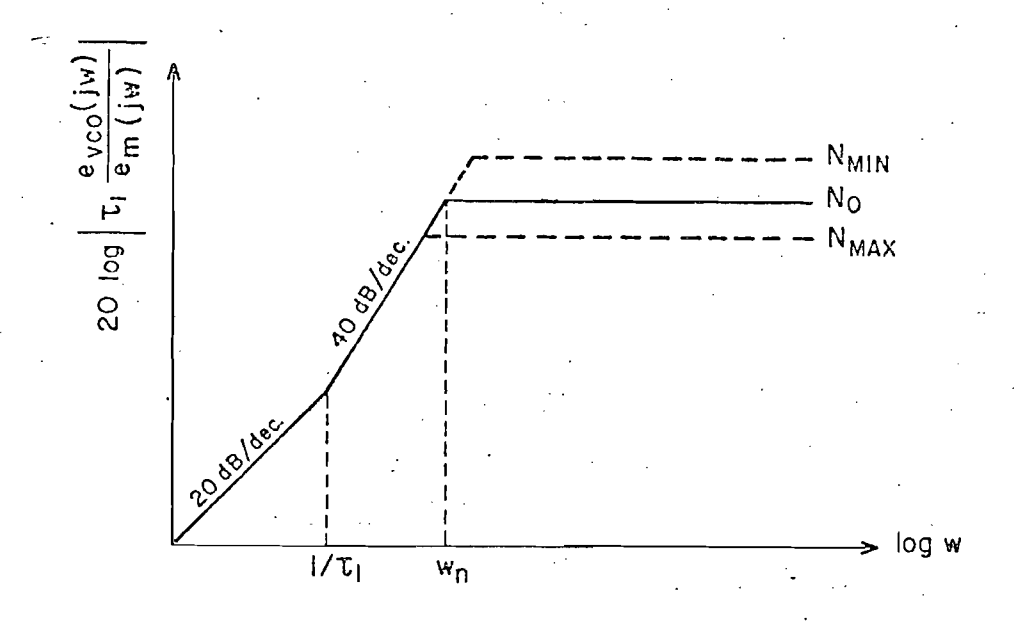


Fig. 3.19 - Resposta do sintetizador de segunda ordem com filtro passivo para modulação FM.

 \sqrt{N} .

Neste caso, a frequência de corte varia inversamente com

Para o sintetizador de segunda ordem com filtro ativo, a Equação 3.18 torna-se:

$$\frac{e_{vco}(s)}{e_{m}(s)} = \frac{s}{s + \frac{K_{\phi}K_{vco}}{N} \frac{1}{\tau_{1}} (1 + \frac{\tau_{2}s}{s})},$$

ou

$$\frac{e_{vco}(s)}{e_{m}(s)} = \frac{s^{2}}{s^{2} + \frac{K_{\phi}K_{vco}}{N} \frac{\tau_{2}}{\tau_{1}} s + \frac{K_{\phi}K_{vco}}{N\tau_{1}}}.$$

Escrevendo a equação acima como função de ω_{n} e ξ , tem-se:

$$\frac{e_{\text{vco}}(s)}{e_{\text{m}}(s)} = \frac{s^2}{s^2 + 2\xi \omega_{\text{n}} s + \omega_{\text{n}}^2}.$$
 (3.21)

Na Figura 3.20 \in apresentada a resposta do sintetizador de segunda ordem com filtro ativo para modulação FM. Neste caso a frequência de corte varia inversamente com \sqrt{N} , e a variação de atenua ção para frequências menores que a frequência de corte \in maior que os outros dois sintetizadores. Isto significa, como foi visto na Seção 3.4, que ha maior rejeição do ruido do VCO para frequências próximas a portadora.

Por outro lado, para que o sinal modulante não sofra o efeito da malha, suas frequências devem ser um pouco superiores a frequência de corte do filtro passa-altas. Portanto, a frequência de modulação mínima é um fator determinante na escolha da frequência de corte destes filtros.

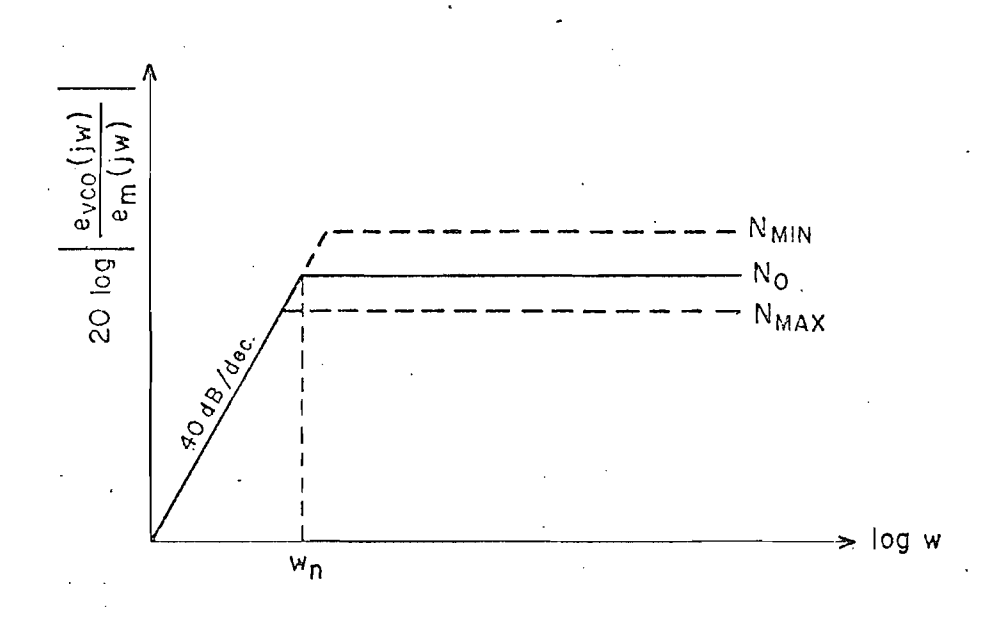


Fig. 3.20 - Resposta do sintetizador de segunda ordem com filtro ativo para modulação FM.



CAPITULO 4

PROJETO DOS SINTETIZADORES PARA ESTAÇÃO TERRENA SCPC

O objetivo do Projeto Estações Terrenas de Telecomunica ções é desenvolver uma estação para transmissão de voz, telegrafia e dados através de satélite para todo o território nacional.

No futuro, um sistema com centenas de estações desse ti po poderá ser constituído com uso do satélite doméstico. Para tanto, cada estação deve ter a capacidade de comunicar-se com qualquer uma das demais.

A rede funcionara com o sistema de multiplo acesso por divisão de frequência (FDMA - "Frequency-Division Multiple Access") com canal singelo por portadora (SCPC). Este sistema de acesso torna desne cessaria a multiplexação e a demultiplexação de canais e permite substancial economia de potência no satélite, pelo menos no caso de comunicações de voz, uma vez que a portadora é desativada nos períodos de au sência do sinal modulador.

0 acesso ao satelite \bar{e} feito por FDMA-SCPC, com 1200 canais por transponder; cada um deles ocupa uma faixa de 30 kHz, total \bar{i} zando assim 36 MHz a faixa total.

A estação deve possuir na transmissão a versatilidade de gerar 1200 frequências diferentes, espaçadas de 30 kHz, e cada portado ra será modulada em frequência. O desvio de frequência deve ser limita do de forma que a faixa ocupada pelo sinal modulado não exceda a disponível (na recepção, o sinal passa por um filtro de 26 kHz de largura).

A finalidade do sintetizador e gerar estas 1200 frequencias diferentes e, ao mesmo tempo, modula-las com um sinal de voz; as portadoras serão ativadas somente quando houver sinal de voz.

Na recepção deve haver também um sintetizador, que terã a função de oscilador local. Com este sintetizador é possível sintonizar qualquer um dos 1200 canais do transponder do satélite.

4.1 - ESPECIFICAÇÃO DO SINTETIZADOR DE TRANSMISSÃO

O sinal proveniente do processador de voz, devidamente tratado, modula em FM a frequência de saída do sintetizador de trans missão. Um sinal digital que indica a ausência ou presença de voz, tam bém proveniente do processador de voz, atua sobre o supressor de porta dora. A saída do sintetizador somente é ativada quando há sinal de voz no processador.

0 sintetizador de transmissão tem a capacidade de gerar 1200 frequências diferentes com 30 kHz entre frequências adjacentes. A seleção destas frequências $\tilde{\rm e}$ feita manualmente por chave digital do $t\bar{\rm i}$ po "thumbwheel".

As especificações do sintetizador de transmissão são apresentadas na Tabela 4.1.

. ESPECIFICAÇÕES DO SINTETIZADOR DE TRANSMISSÃO

TABELA 4.1

Número de canais	1200
Espaçamento entre canais	30 kHz
Faixa de frequência de saída	52,020 a 87,990 MHz
Frequência de referência	30 kHz
Nīvel de saīda	-10 dBm
Flutuação do nivel de saida	±0,5 dB
Precisão de cada canal	± 50 Hz
Nivel de espúrios em relação à portadora	50 dB
Desvio máximo de frequência na saída devido à modulação FM .	±8,5 kHz
Frequências do sinal modulante	300 a 3400 Hz
Variação do indice de modulação na faixa de 36 MHz	± 0,5 dB

4.2 - PROJETO DO SINTETIZADOR DE TRANSMISSÃO

Nesta seção é apresentado o projeto do sintetizador de transmissão, cujas frequências de saída estão na faixa de 52,020 MHz a 87,990 MHz. O diagrama de blocos deste sintetizador é o apresentado na Figura 2.11. Como já foi dito, trata-se de um sintetizador coerente in direto. O projeto será apresentado por blocos, iniciando-se pelo divisor de frequências programável.

4.2.1 - DIVISOR DE FREQUÊNCIAS PROGRAMÁVEL

Como a frequência de saída do sintetizador varia de 52,020 MHz a 87,990 MHz em passos de 30 kHz, o divisor deverá ser programado de

$$N_{min} = \frac{52,020 \text{ MHz}}{30 \text{ kHz}} = 1734$$

a

$$N_{\text{max}} = \frac{87,990 \text{ MHz}}{30 \text{ kHz}} = 2933$$
.

Como a frequência de saída do VCO é superior à utilizada em circuitos TTL, há necessidade de um pré-divisor de alta velocidade entre a saída do VCO e os divisores TTL. Mas como o valor da divisão deve variar apenas uma unidade por ocasião da mudança de um canal para outro adjacente, recorre-se à utilização de um circuito pré-divisor com dois módulos de divisão, P e P+1, de acordo com a técnica explica da na Seção 2.3.

O diagrama de blocos do divisor de frequências e apresentado na Figura 4.1. Como o valor de N e grande e existe no mercado um pre-divisor com dois modulos de divisão (10 e 11), tem-se que o valor de P na Equação 2.4 deve ser igual a 10. Neste caso, a Equação 2.4 tona-se:

$$f_S = (10 \cdot B + A) \cdot f_R.$$

Como N possui quatro digitos,

$$B = 100B_2 + 10B_1 + B_0$$
,

ou seja, o divisor B fica constituído de três decadas e a equação acima fica igual a

$$f_S = (1000B_2 + 100B_1 + 10B_0 + A) \cdot f_R$$
.

Com isso B₂, B₁, B₀ e A podem ser implementados com decadas contadoras.

O circuito pré-divisor utilizado é o MC12012, que possui dois módulos de divisão, 10 e 11. Seu sinal de entrada deve estar em nível lógico ECL, e em sua saída há um conversor de nível lógico ECL para TTL. Quando o sinal de controle do módulo de divisão é igual a "0", ele divide por 11; quando é igual a "1", ele divide por 10. A dé cada utilizada é o circuito integrado 74162.

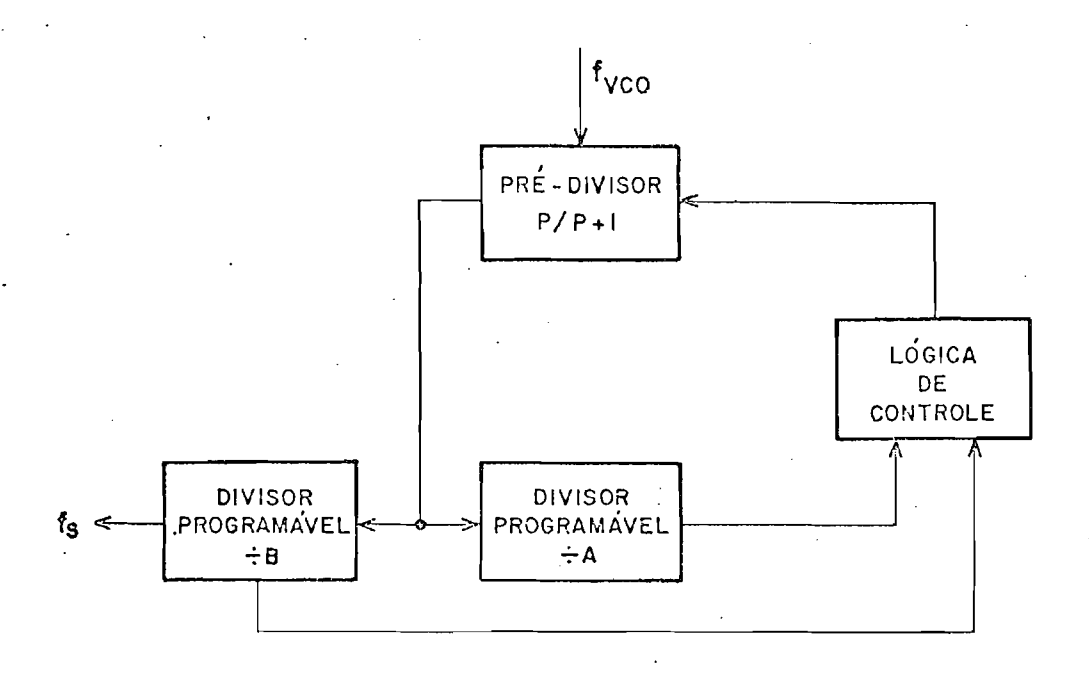


Fig. 4.1 - Diagrama do divisor de frequências programavel.

O circuito completo do divisor de frequências programa vel é o apresentado na Figura 4.2. Suas entradas de programação são se lecionadas por chaves que variam de 1 a 1200, correspondendo aos 1200 canais da estação terrena. Como os contadores contam em ordem crescente, a entrada 0001 corresponde à divisão por 2933, enquanto a entrada 1200 corresponde à divisão por 1734. A função do circuito flip-flop do tipo D é controlar o módulo de divisão do circuito MC12012.

O funcionamento deste divisor torna-se mais claro atrá vés de um exemplo particular. Suponha-se que a divisão escolhida é por 1735, ou seja, que o canal selecionado por chave é o de número 1199. No início do ciclo a entrada de controle do pré-divisor está em nível lógico "O", de sorte que o circuito MC12012 inicia a operação no módu lo de divisão por 11. Neste momento todos os divisores estão recebendo pulsos de relógio. Quando a década menos significativa recebe o quinto pulso de relógio, a entrada de controle muda para o nível lógico "1", fazendo com que o pré-divisor comece a dividir por 10. Nesse instante a contagem da década menos significativa é inibida, continuando em ope ração as demais décadas. A partir do quinto pulso de relógio até o final do ciclo, estas décadas receberão 173-5 = 168 pulsos. A partir daí a entrada de controle do pré-divisor volta para o nível lógico "O" e tudo se repete. O diagrama de tempo deste exemplo está mostrado na Figura 4.3.

A seguir Figura 4.2

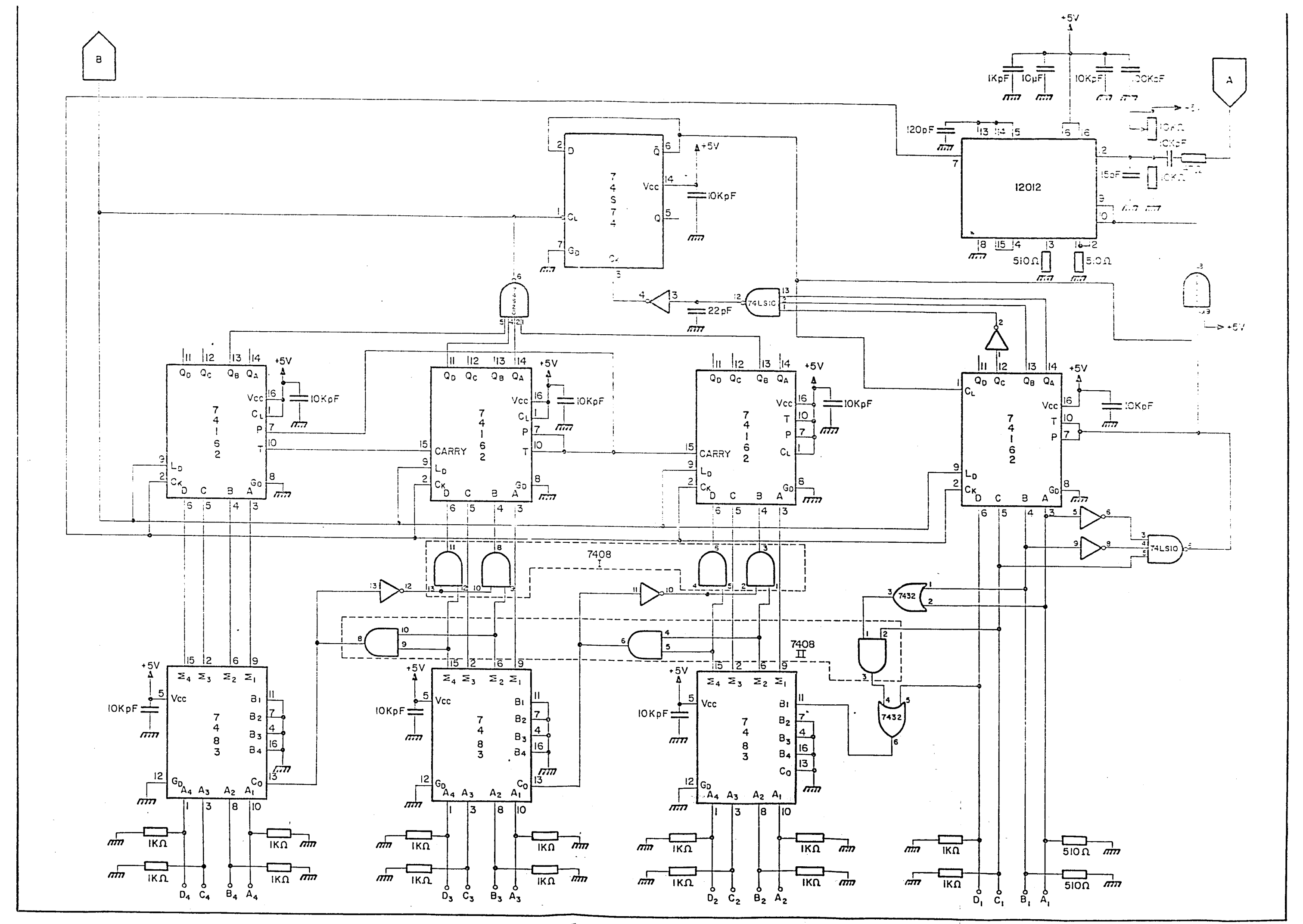


Fig. 4.2 - Circuito eletrico do divisor de frequência programavel.



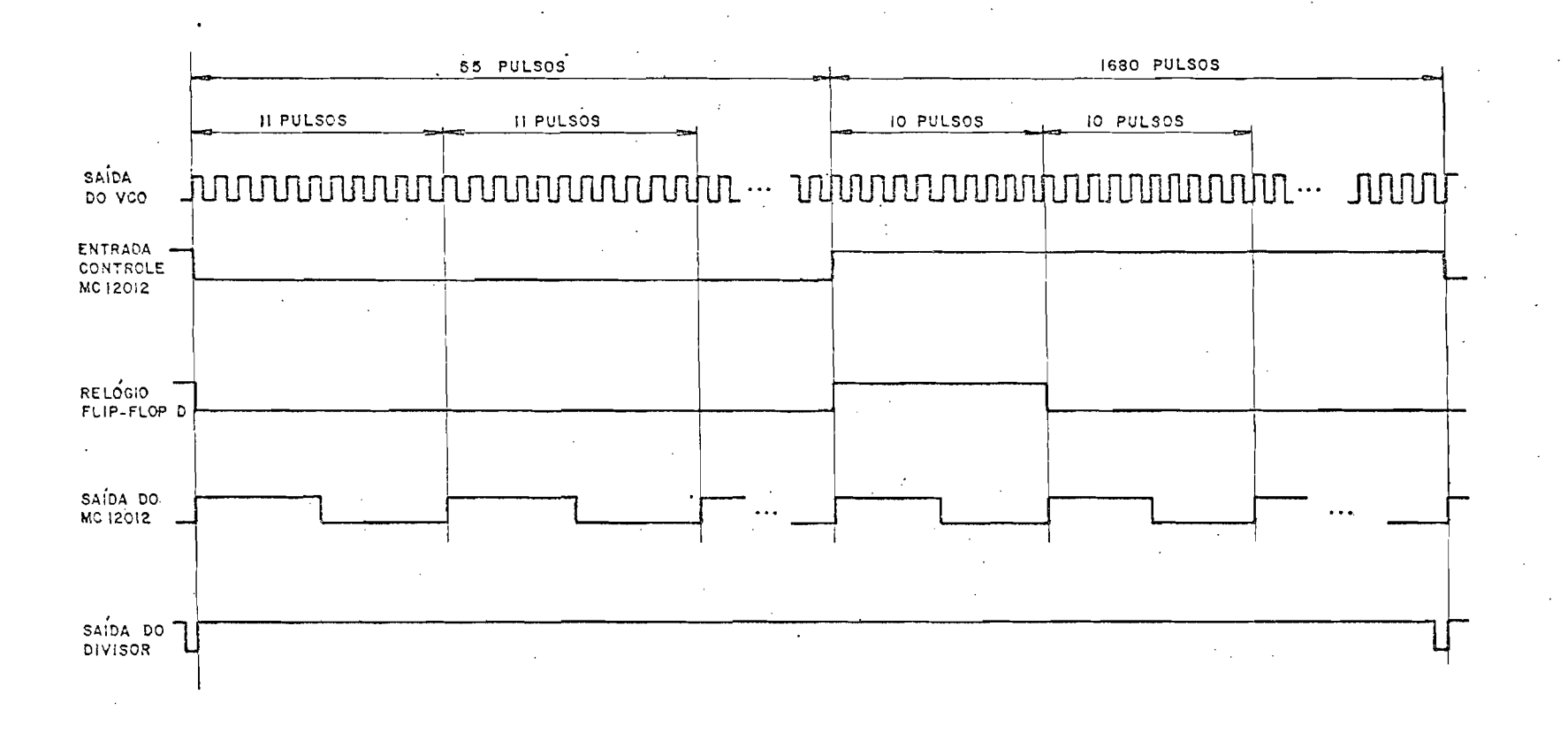


Fig. 4.3 - Diagrama de tempo para a divisão por 1735.

4.2.2 - OSCILADOR CONTROLADO A TENSÃO (VCO)

A saída do oscilador controlado a tensão deve variar de 52,020 MHz a 87,990 MHz, dependendo da tensão na saída do filtro passa-baixas da malha. Esta variação deve ser bastante linear dentro da fai xa, para que os desvios de frequência devidos à modulação FM não va riem significativamente em função do canal selecionado, ou seja, para que o indice de modulação mantenha-se praticamente constante em toda a faixa. A variação da amplitude da saída do VCO deve estar dentro de ±0,5 dB, na faixa de 36 MHz. Um VCO que satisfaz estas condições e é utilizado neste trabalho é o circuito integrado MC1648. Os níveis de saída deste VCO são compatíveis com níveis lúgicos ECL. Este oscilador requer um circuito tanque paralelo externo que consiste no indutor L e na capacitância dos "varactores" (Figura 4.4). A faixa de sintoniza ção do VCO é dada por:

$$f = \frac{1}{2\pi \sqrt{LC_V}}.$$

onde C_V \tilde{e} a capacitância variavel dos "vactores". Na Figura 4.4 \tilde{e} apresentado o circuito elétrico do VCO. A curva que mostra a variação da frequência de saída com a variação da tensão de controle \tilde{e} apresentada na Figura 4.5. Um detalhe muito importante deste circuito \tilde{e} que todos os componentes externos devem ficar, fisicamente, bem proximos ao circuito integrado.

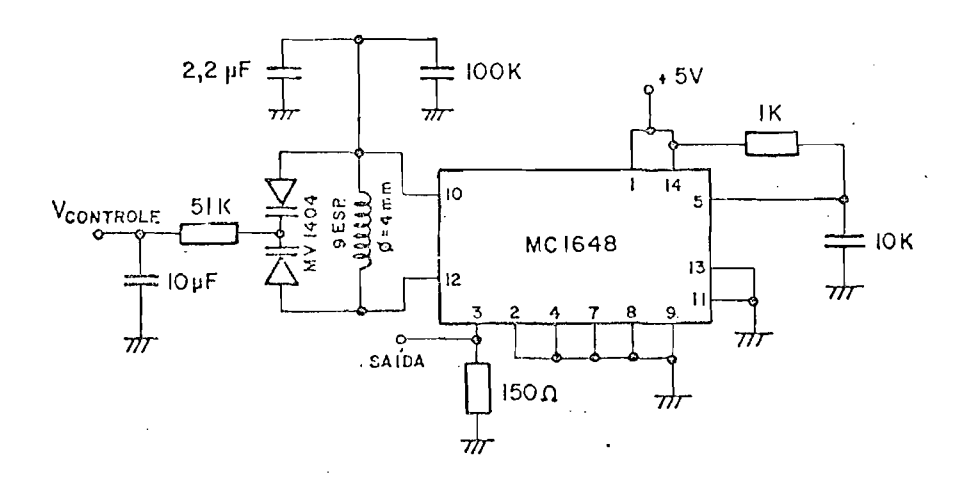


Fig. 4.4 - Circuito elétrico do VCO.

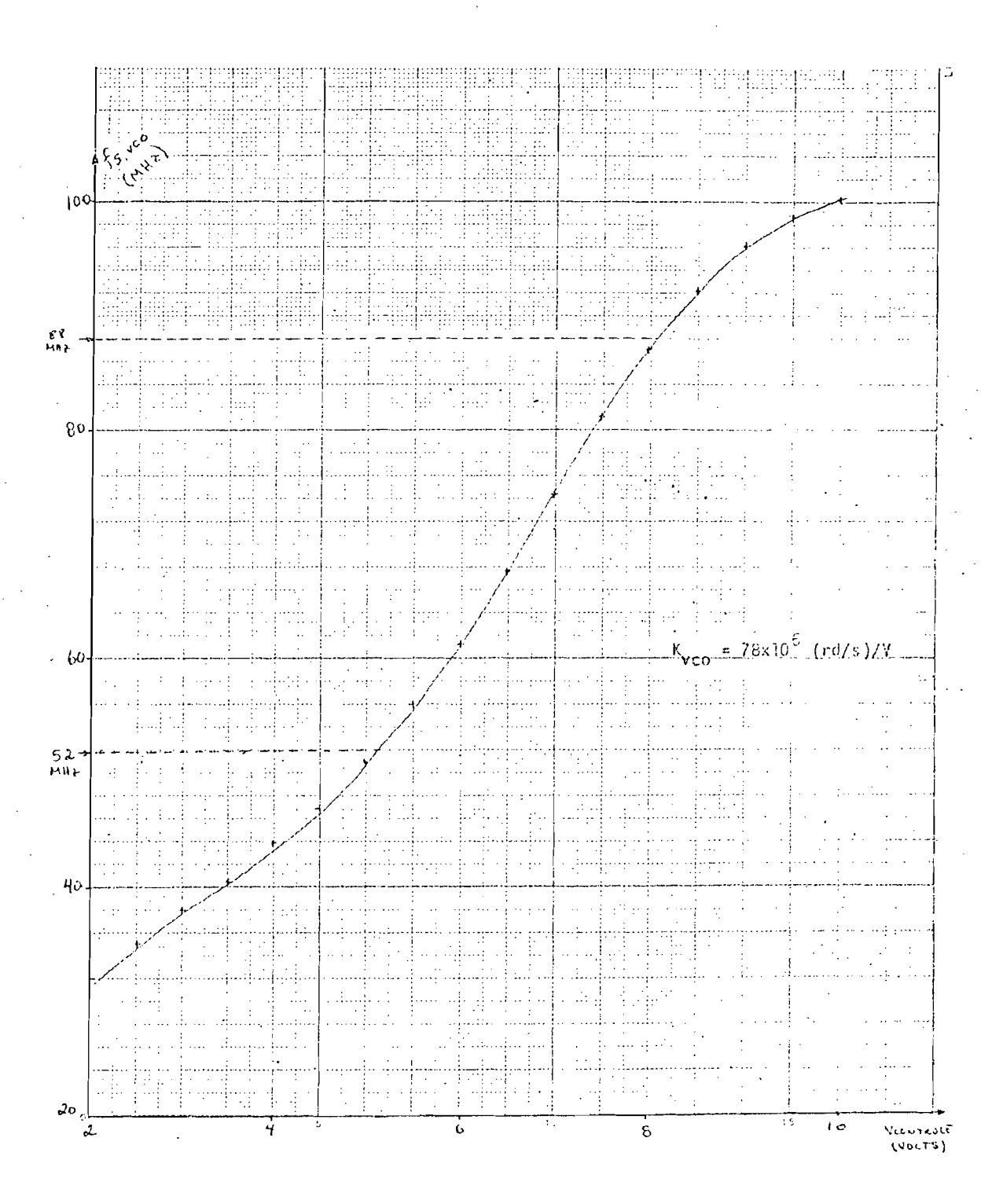


Fig. 4.5 - Curva característica do VCO.

Pela Figura 4.5 pode-se calcular o ganho do VCO, que se ra utilizado no dimensionamento do filtro passa-baixas da malha:

$$K_{\text{vco}} \cong 78 \times 10^6 \frac{\text{rd/s}}{\text{V}}$$
.

4.2.3 - COMPARADOR DE FASE E FILTRO DA MALHA

O comparador de fase utilizado para o sintetizador é o circuito integrado MC4044. O principal motivo desta escolha é que ele possui internamente, além do comparador de fase, um discriminador de frequências e um amplificador. Como o valor da divisão (N) é elevado neste sintetizador e, como visto na Seção 3.3.3, o erro de fase de regime permanece igual a zero para qualquer variação em N, o sintetiza dor a ser adotado aqui é o de segunda ordem com filtro ativo. Para a construção do filtro de malha, é utilizado o próprio amplificador que o MC4044 possui internamente. A Figura 4.6 ilustra o esquema do comparador de fase.

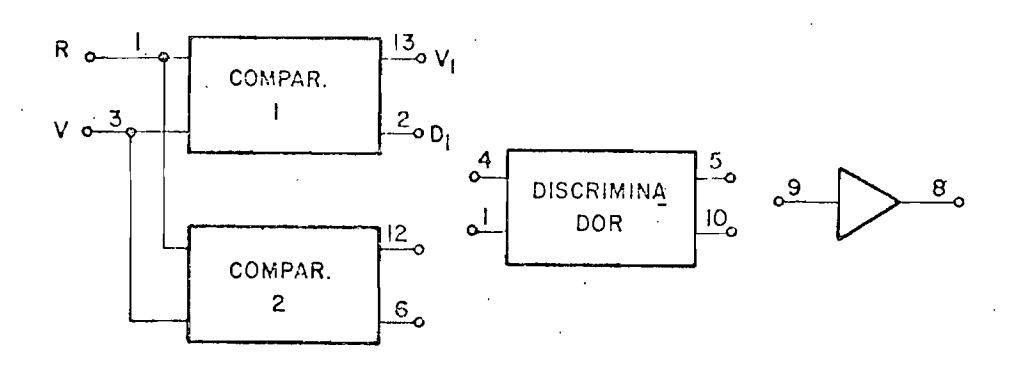


Fig. 4.6 - Esquema do circuito MC4044.

O comparador de fase 1 $\,\bar{\rm e}$ utilizado quando se requer diferença de fase igual a zero entre a frequência de referência e a $\,\bar{\rm fr}\,\underline{\rm e}$ quência de sa $\,\bar{\rm ida}$ do divisor, quando a malha est $\,\bar{\rm a}$ amarrada em fase, equanto o comparador 2 $\,\bar{\rm e}$ utilizado quando se deseja diferença de $\,\bar{\rm fase}$ igual a 90 $^{\rm O}$.

Uma das vantagens deste comparador é que ele responde so mente às transições negativas dos sinais de entrada. Isto é muito útil, pois o sinal de saída dos divisores são pulsos, ou seja, a forma de on da não é simétrica num dado período. O erro de fase, neste caso, é in dependente da simetria da forma de onda e de sua variação da amplitude. O diagrama de tempo do comparador 1 está apresentado na Figura 4.7.

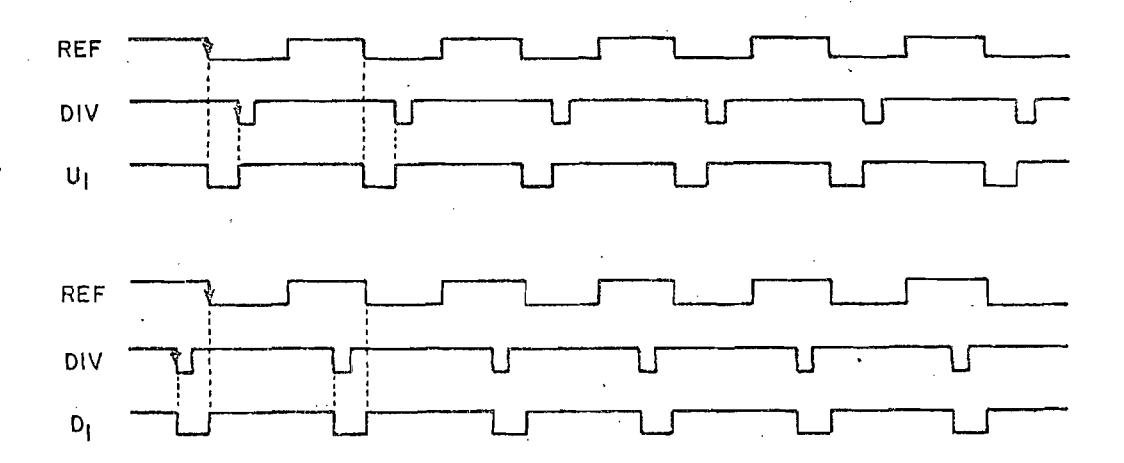


Fig. 4.7 - Diagrama de tempo do comparador de fase 1.

O circuito eletrico do discriminador e mostrado na Figura 4.8. Este discriminador e inserido entre o comparador de fase e o filtro passa-baixas. Ele faz com que o comparador de fase fique com a curva mostrada na Figura 4.9 (Motorola, 1973). Com isto o ganho do comparador e igual a 0,12 volts/radiano.

A função de transferência do filtro ativo para o sintet \underline{i} zador \underline{e} :

$$F(s) = \frac{1}{\tau_1} \left(\frac{1 + \tau_2 s}{s} \right),$$

onde $\tau_2 = R_2 \cdot C$ e $\tau_1 = R_1 \cdot C$; sua configuração \tilde{e} a apresentada na Figura 4.10.

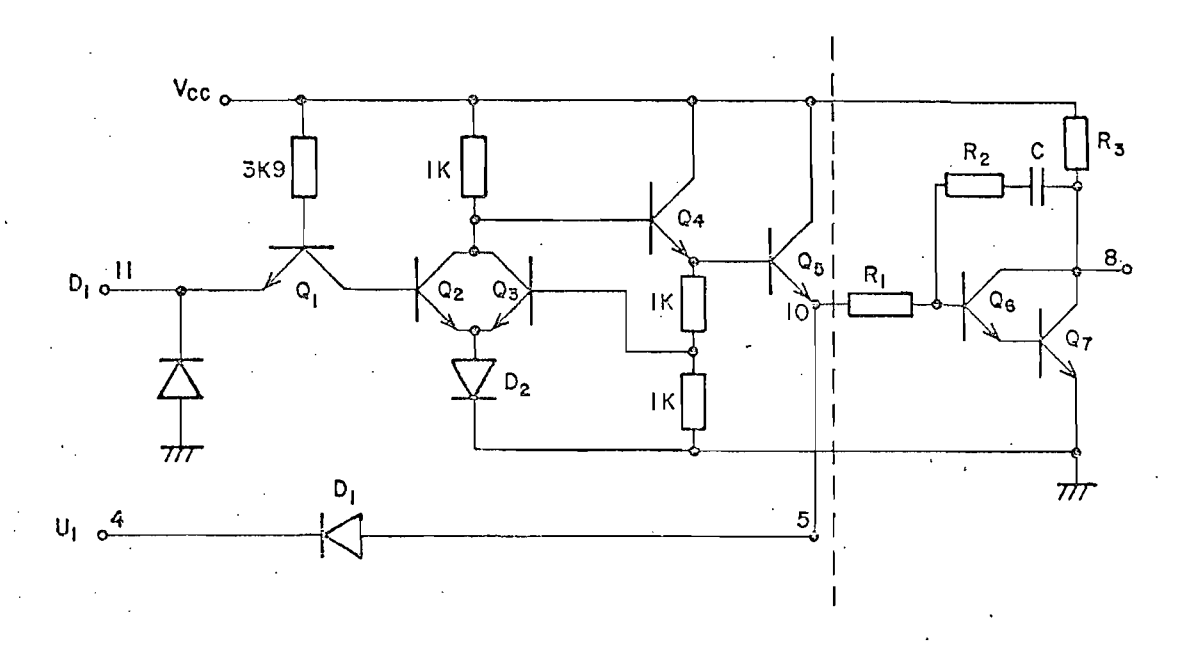


Fig. 4.8 - Esquema elétrico do discriminador e do filtro.

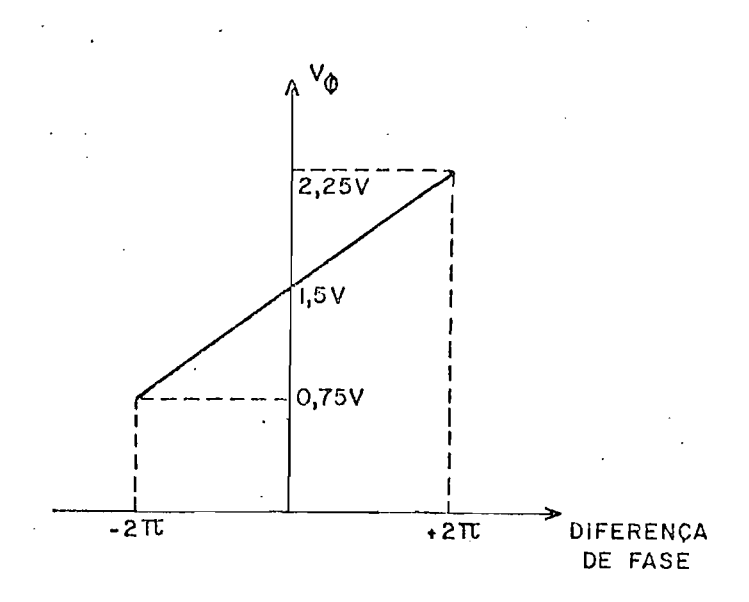


Fig. 4.9 - Curva característica do comparador de fase.

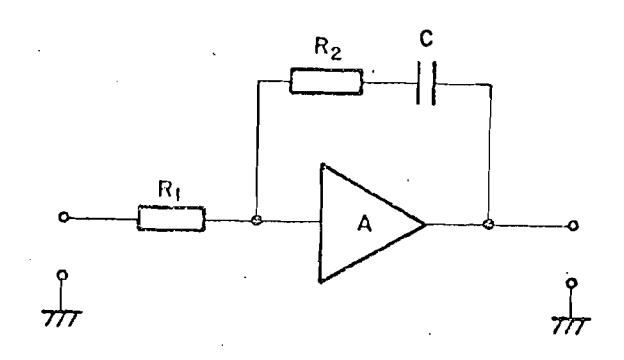


Fig. 4.10 - Filtro de malha utilizado.

A função de transferência do sintetizador, neste caso, é:

$$\frac{\phi_{\text{VCO}}(s)}{\phi_{\text{R}}(s)} = \frac{N(2\xi\omega_{\text{n}}s + \omega_{\text{n}}^2)}{s^2 + 2\xi\omega_{\text{n}}s + \omega_{\text{n}}^2},$$

onde

$$\omega_{n} = \left(-\frac{K_{\phi}K_{VCO}}{N\tau_{1}}\right)^{1/2}$$

e

$$\xi = \frac{1}{2} \left(\frac{K_{\phi} K_{vco}^{\tau_{2}^{2}}}{N_{\tau_{1}}} \right)^{1/2} .$$

São os valores de ω_n e ξ que definem o sistema de controle. Eles devem ser escolhidos com base na resposta transitória, na minima frequência de modulação do VCO e no ruido de saída. Escolhidos estes parâmetros, determinam-se R_1 , R_2 e C. Os cálculos destes componentes encontram-se no Apêndice A.

Como o detector de fase é digital, a sua saída fornece componentes de frequências f_R e suas harmônicas. As harmônicas são eliminadas pelo filtro de malha, mas a componente fundamental da frequên

cia de referência, que possui a maior amplitude, não é suficientemente atenuada, fazendo com que apareçam raias laterais de modulação FM na frequência de saída.

O indice de modulação FM e definido como:

$$\beta = \frac{\Delta f}{f_m} ,$$

onde Δf é o desvio de frequência e f_m é a frequência com que este des vio ocorre.

O desvio Δf , no caso do sintetizador, \bar{e} : . .

$$\Delta f = \frac{K_{VCO}}{2\pi} \cdot V_{R},$$

onde V_R é a tensão correspondente à frequência de referência. Portanto, para a frequência de referência tem-se $\beta=(K_{\text{VCO}}\cdot V_R)/(2\pi\cdot f_R)$. Para diminuir as raias laterais, deve-se diminuir o îndice de modulação tanto quanto possível. Pela equação acima pode-se notar que quanto maior for a frequência de referência, menor será o índice de modulação. Como a frequência de saída varia em passos de 30 kHz, não é possível aumentar a frequência de referência devido ao sistema adotado. Como K_{VCO} é praticamente constante, a solução é tentar diminuir V_R . A solução adotada para diminuir V_R é colocar um filtro "notch" logo após o filtro de malha, sintonizado na frequência de referência. O filtro utilizado é mos trado na Figura 4.11, cuja função de transferência é:

$$F(j\omega) = \frac{1 - (\omega RC)^2}{1 + j4\omega RC - (\omega RC)^2}$$

e a frequência de sintonia é:

$$f_0 = \frac{1}{2\pi RC}.$$

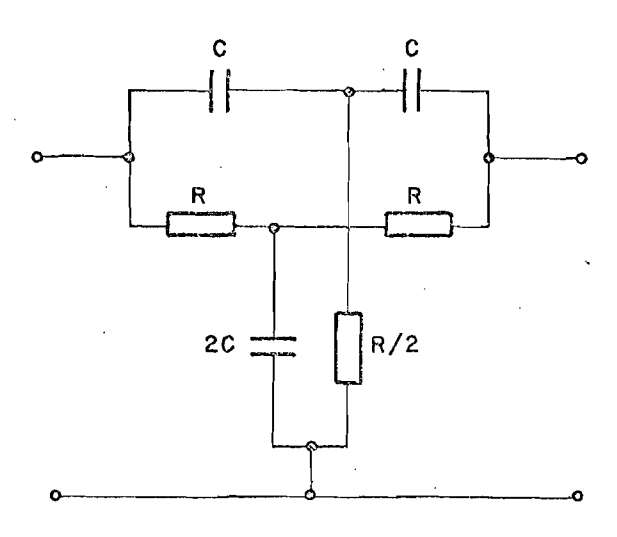


Fig. 4.11 - Filtro "notch".

Os diagramas de amplitude e fase são mostrados na Figura 4.12. Pela figura pode-se notar que o filtro não introduz modificação na resposta da malha para baixas frequências. Sua influência ocorre para frequências próximas à frequência de referência. Mas como ω_R é mui to maior que ω_n , sua influência na malha pode ser desprezada.

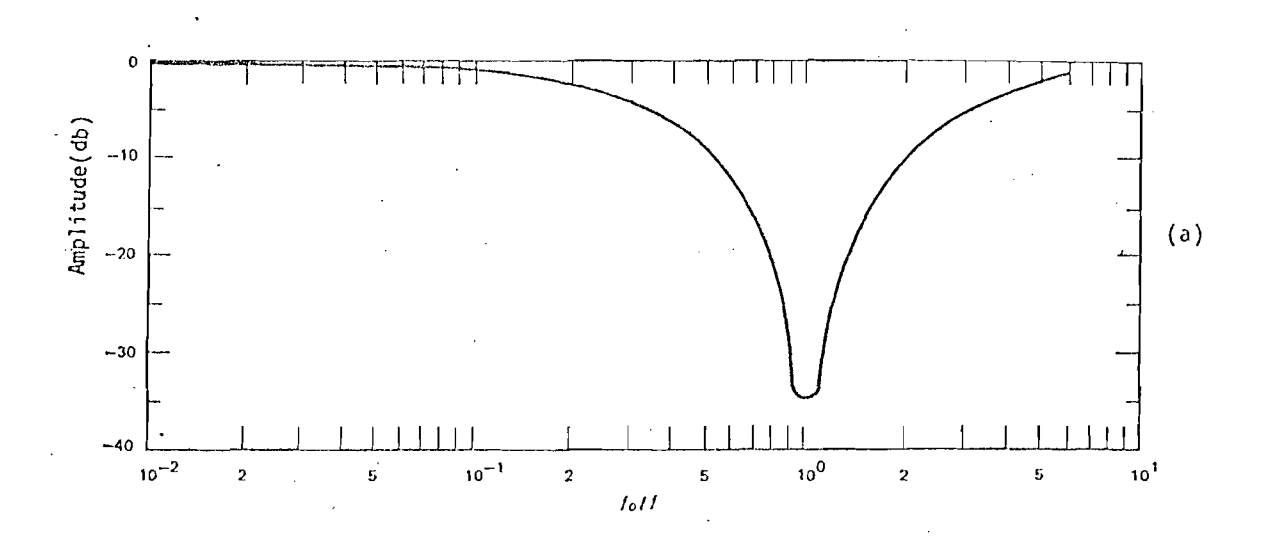


Fig. 4.12 - Diagramas do filtro "notch".

(continua)

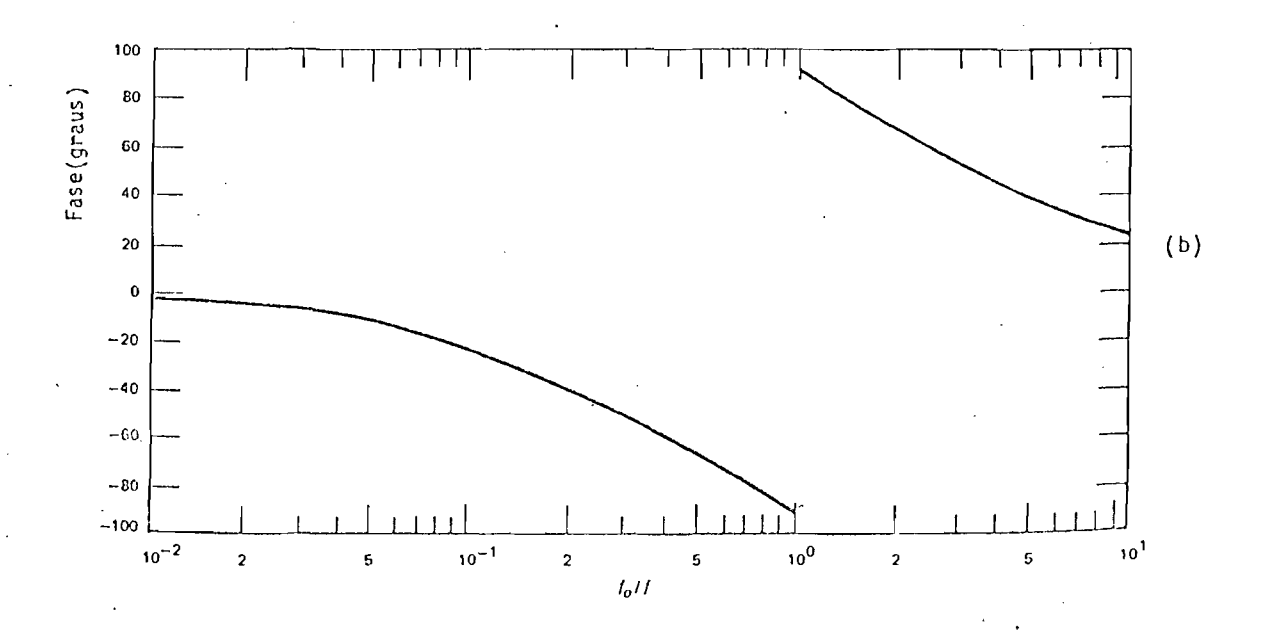


Fig. 4.12 - Conclusão

4.2.4 - DETECTOR DE RETENÇÃO DE FASE

Este circuito deve indicar se a malha do sintetizador es tã ou não amarrada em fase a frequência de referência.

Quando o sintetizador está amarrado, a frequência na saída do divisor de frequências programável está sincronizada com a frequência de referência. Suas formas de onda estão mostradas na Figura 4.13. Dividindo a frequência de referência e a saída por 2 e fazendo a operação lógica OU EXCLUSIVO, obtêm-se pulsos de largura estreita, que podem ser filtrados facilmente (Figura 4.14). Quando o sintetizador não está amarrado à referência, os pulsos da Figura 4.14e tornam-se maiores e não são eliminados pelo filtro, servindo então para engatilhar um circuito monoestável reengatilhável.

O circuito do detector é mostrado na Figura 4.15.

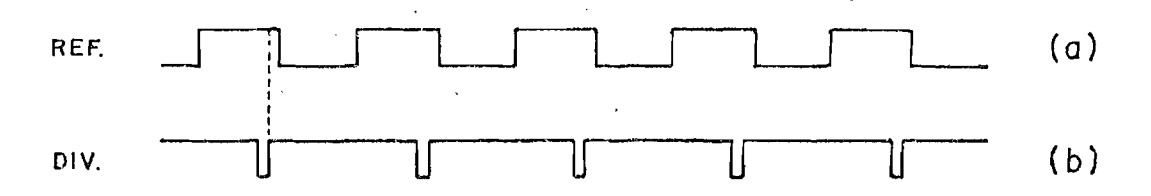


Fig. 4.13 - Formas de onda.

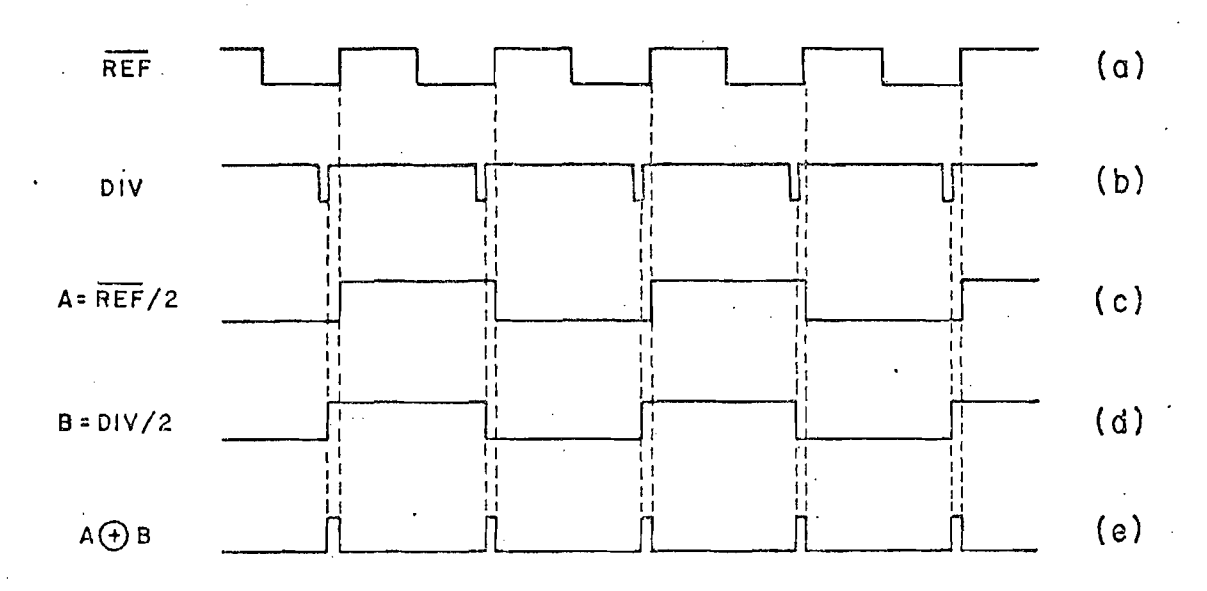


Fig. 4.14 - Formas de onda do detector de retenção de fase.

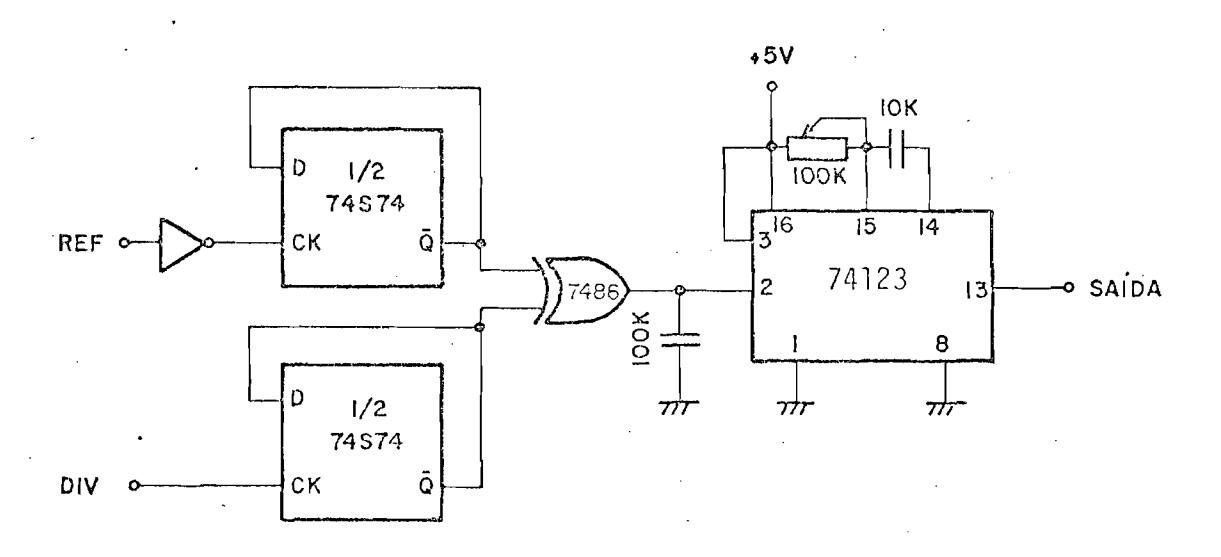
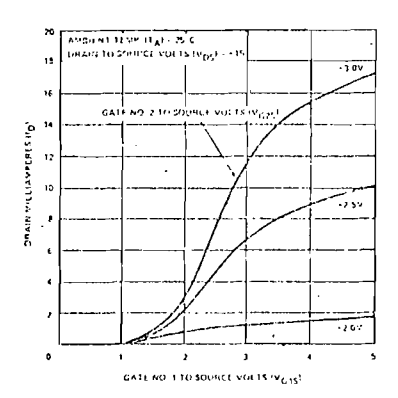


Fig. 4.15 - Circuito detector de retenção de fase.

4.2.5 - SUPRESSOR DE PORTADORA

Como este sintetizador vai ser utilizado em uma estação terrena que transmite portadoras ativadas por voz, a portadora deve es tar presente no transmissor somente quando houver sinal no processador de voz. Portanto, o sinal de voz será utilizado para ativar a portadora.

Como supressor de portadora, é utilizado um circuito MOS -FET de porta dupla com canal N enriquecido. As curvas características deste dispositivo são apresentadas na Figura 4.16. Pelas curvas da Figura 4.16, pode-se notar que se uma das portas não estiver conveniente mente polarizada a corrente de dreno será igual a zero e, consequente mente, o sinal de RF na saída será bastante atenuado. O circuito utilizado é o mostrado na Figura 4.17



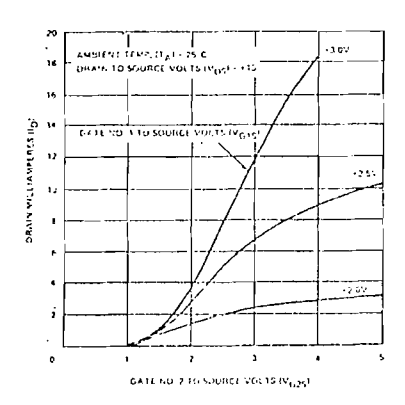


Fig. 4.16 - Curvas características do MOS-FET de porta dupla.

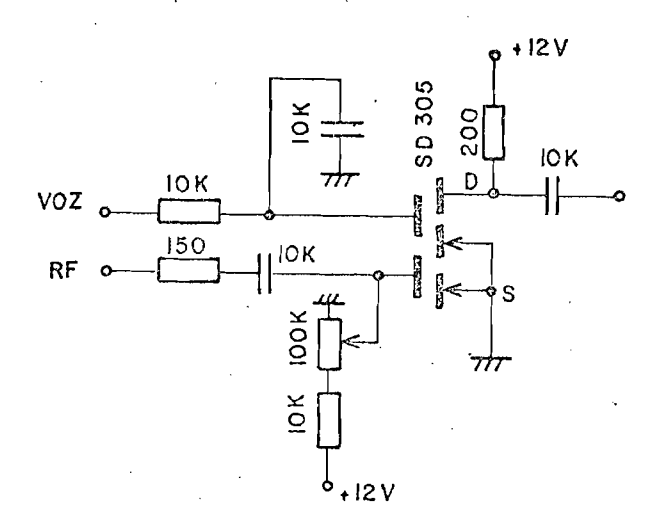


Fig. 4.17 - Circuito do supressor de portadora.

4.2.6 - EQUALIZAÇÃO DO ÍNDICE DE MODULAÇÃO

Pela Figura 4.5 pode-se observar que o VCO utilizado não $\tilde{\rm e}$ linear, principalmente nas extremidades da faixa de variação da frequência de saída.

A consequência desta não-linearidade \bar{e} a variação do $\bar{i}\underline{n}$ dice de modulação nos diferentes canais sintetizados. Como esta variação \bar{e} maior que a especificada, foi necessário realizar um controle desta variação.

O metodo utilizado consiste no controle do ganho de um amplificador fora da malha de realimentação, onde o sinal de audio é atenuado ou amplificado antes de entrar no modulador. A informação da não-linearidade do VCO é fornecida pela chave de seleção dos canais. O circuito utilizado é o mostrado na Figura 4.18.

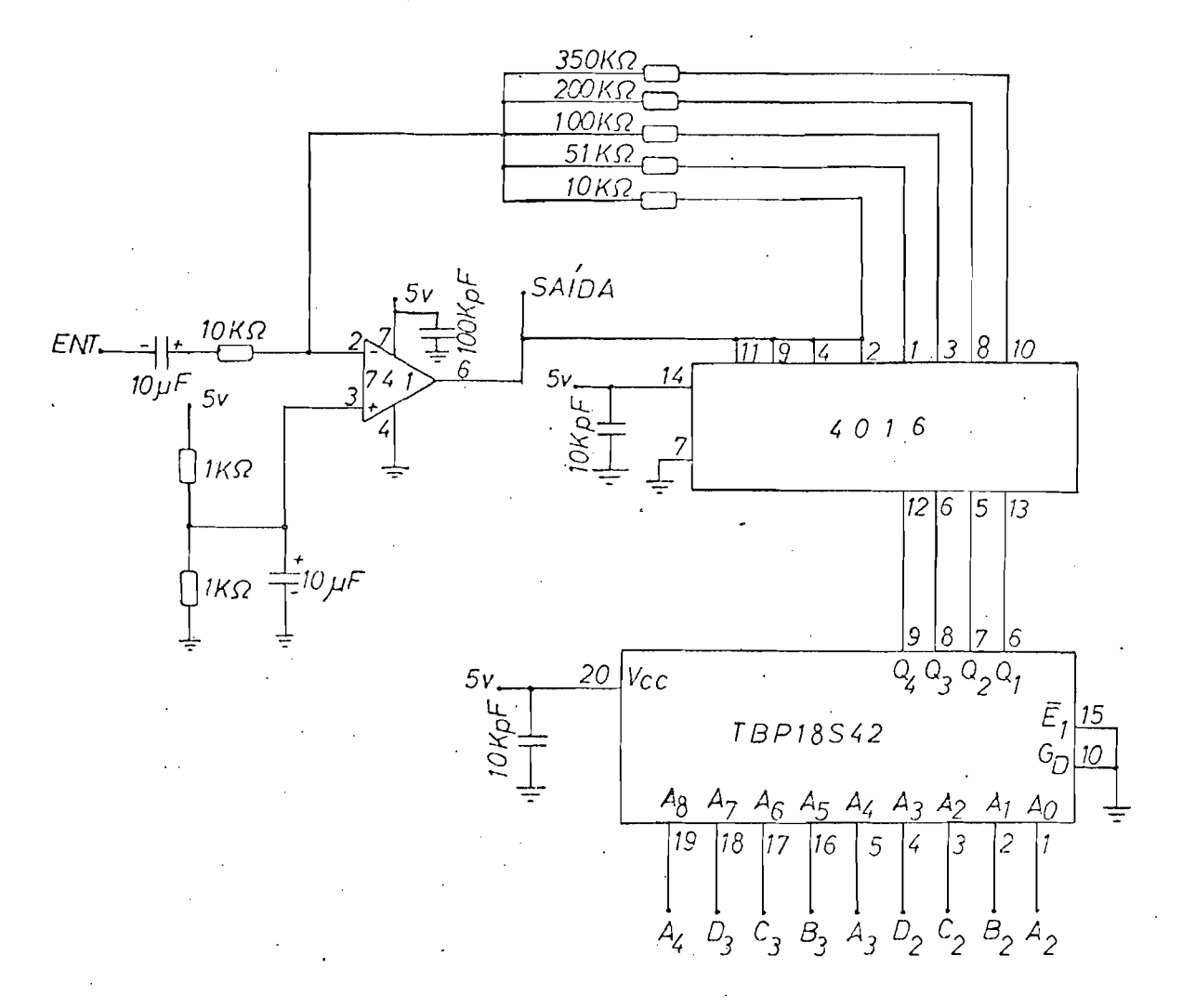


Fig. 4.18 - Circuito de equalização do indice de modulação.

4.2.7 - FILTRO DE SAÍDA

Como o sinal de saída do VCO não é uma senoide pura, há necessidade de utilizar um filtro na saída do sintetizador, para que as harmônicas não estejam presentes. Como a segunda harmônica da primeira frequência sintetizada é igual a 104,040 MHz e a última frequência sintetizada é igual a 87,990 MHz, deve-se utilizar um filtro passa-baixas com resposta plana até 87,990 MHz e atenuação crescente acima desta frequência. O filtro utilizado é do tipo elíptico passa-baixas de seis pólos (Zverev, 1967) e fornece atenuação de 30 dB em 104,040 MHz. Seu circuito é mostrado na Figura 4.19.

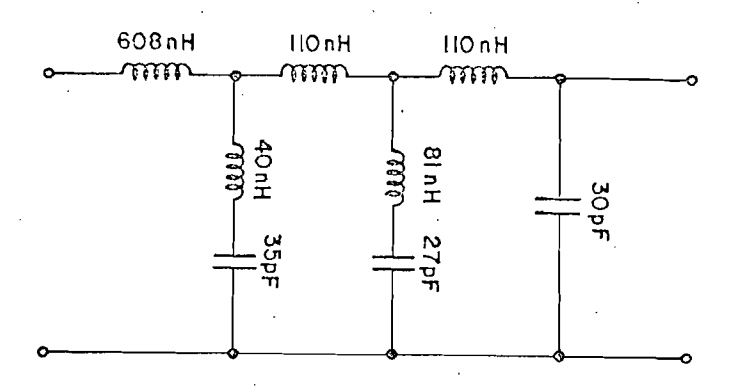


Fig. 4.19 - Filtro passa-baixas de saída do sintetizador de transmissão.

4.2.8 - ALIMENTAÇÃO

A alimentação e as malhas de terra do sintetizador são problemas críticos. Embora a maior parte do sinal da fonte de referência que provoca modulação na saída do VCO venha através do filtro de malha, uma certa contribuição pode vir também através da alimentação e da malha de terra. Portanto deve-se tomar cuidado muito especial na alimentação e malha de terra do VCO e do comparador de fase, que são os circuitos mais sensíveis, principalmente na confecção do circuito impresso.

Problemas desta natureza podem ser minimizados utilizan do reguladores de tensão separados para cada parte do circuito do sin tetizador, com bom desacoplamento para a frequência de referência. A malha de terra de cada circuito deve estar separada fisicamente das de mais, de maneira que a corrente de retorno de um certo circuito não per corra por inteiro a malha de um outro circuito mais sensível e, sim, passe por um único ponto da malha deste circuito.

. O circuito completo do sintetizador de transmissão estã apresentado no Apêndice B.

4.3 - ESPECIFICAÇÃO DO SINTETIZADOR DE RECEPÇÃO

O sintetizador de recepção tem também a capacidade de gerar 1200 frequências diferentes espaçadas de 30 kHz, cuja finalidade $\tilde{\rm e}$ permitir sintonizar qualquer um dos 1200 canais do transponder do sat $\tilde{\rm e}$ lite.

A seleção das frequências também é feita manualmente por chave digital.

As especificações deste sintetizador estão apresentadas na Tabela 4.2.

TABELA 4.2

ESPECIFICAÇÕES DO SINTETIZADOR DE RECEPÇÃO

Numero de canais	1200
Espaçamento entre canais	30 kHz
Faixa de frequência de saída	97,020 a 132,990 MHz
Frequência de referência	30 kHz
Nivel de saida	+ 10 dBm
Flutuação do nivel de saida	± 0,5 dB.
Precisão de cada canal	± 50 Hz
Nivel de espurios em relação à portadora	50 dB

4.4 - PROJETO DO SINTETIZADOR DE RECEPÇÃO

Nesta seção é apresentado o projeto do sintetizador de recepção, cujas frequências de saída cobrem a faixa de 97,020 MHz a 132,990 MHz. O diagrama de blocos deste sintetizador é o apresentado na Figura 2.11, que é o mesmo do sintetizador de transmissão.

Este projeto difere muito pouco do sintetizador de trans missão e a técnica utilizada é a mesma. Por isso será feito somente um breve comentário sobre cada bloco.

4.4.1 - DIVISOR DE FREQUÊNCIAS PROGRAMAVEL

Como a frequência de saída do sintetizador varia de 97,020 MHz a 132,990 MHz em passos de 30 kHz, o divisor deve ter a ca pacidade de ser programado de

$$N_{\min} = \frac{97,020}{30} = 3234$$

a

$$N_{\text{max}} = \frac{132,990}{30} = 4433.$$

Neste caso foi utilizada a mesma técnica de divisão utilizada no sintetizador de transmissão; o circuito elétrico \tilde{e} o apresentado na Figura 4.20.

. A seguir Figura 4.20

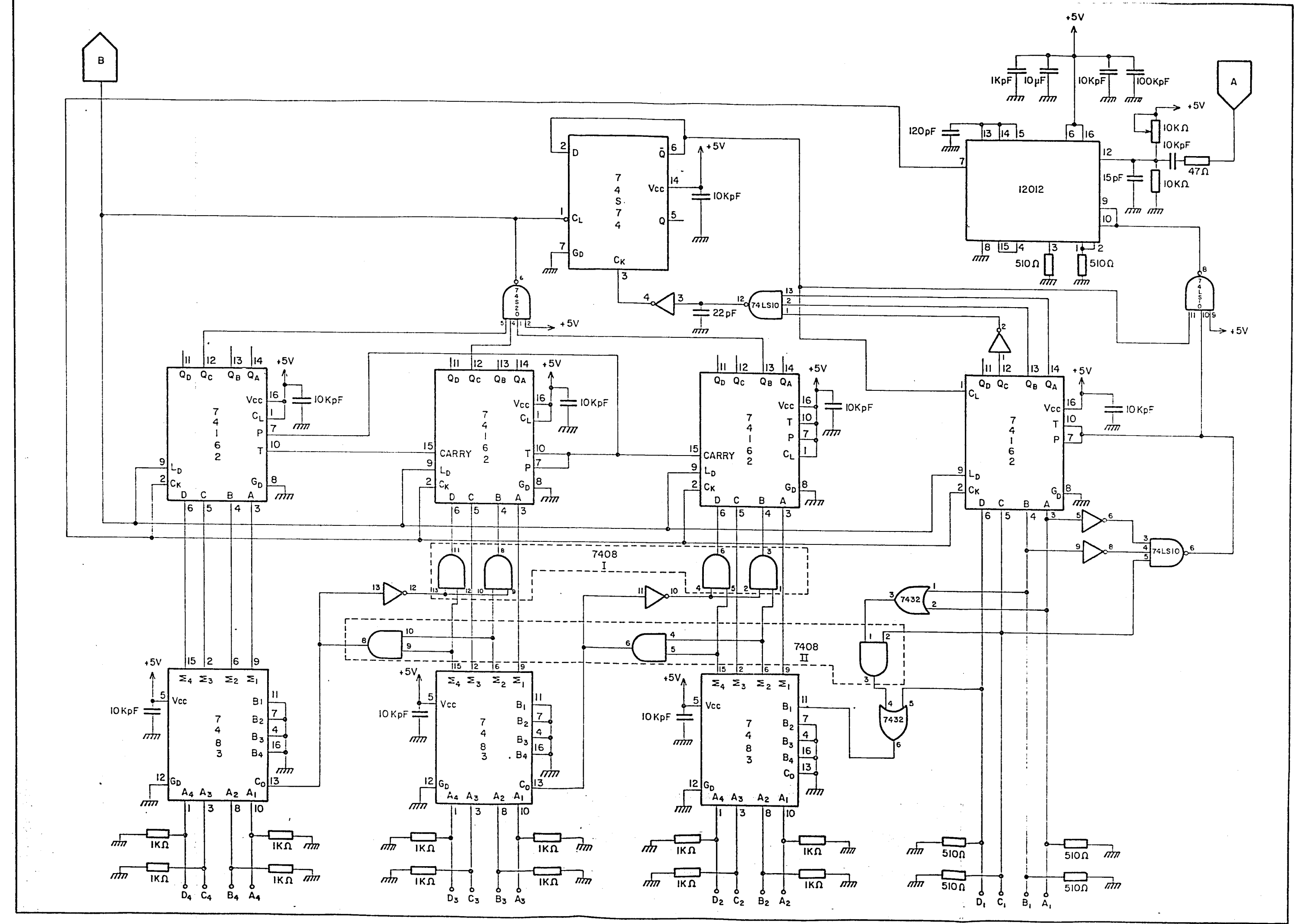


Fig. 4.20 - Circuito eletrico do divisor de frequências programavel.

4.4.2 - OSCILADOR CONTROLADO A TENSÃO

O VCO utilizado neste sintetizador não é tão crítico, quanto à linearidade, como o utilizado no sintetizador de transmissão. Ele deve apenas ser suficientemente linear para que os parâmetros da malha não variem de maneira considerável quando a frequência de saída varia.

A variação da amplitude também deve estar dentro de $\pm 0,5$ dB, na faixa de 36 MHz.

O VCO escolhido e o mesmo utilizado no outro sintetiza dor, com exceção da bobina de sintonia, que deve ser menor, uma vez que neste caso a frequência de operação e mais alta. O circuito elétri co e semelhante ao mostrado na Figura 4.4.

A curva característica deste VCO está mostrada na Figura 4.21.

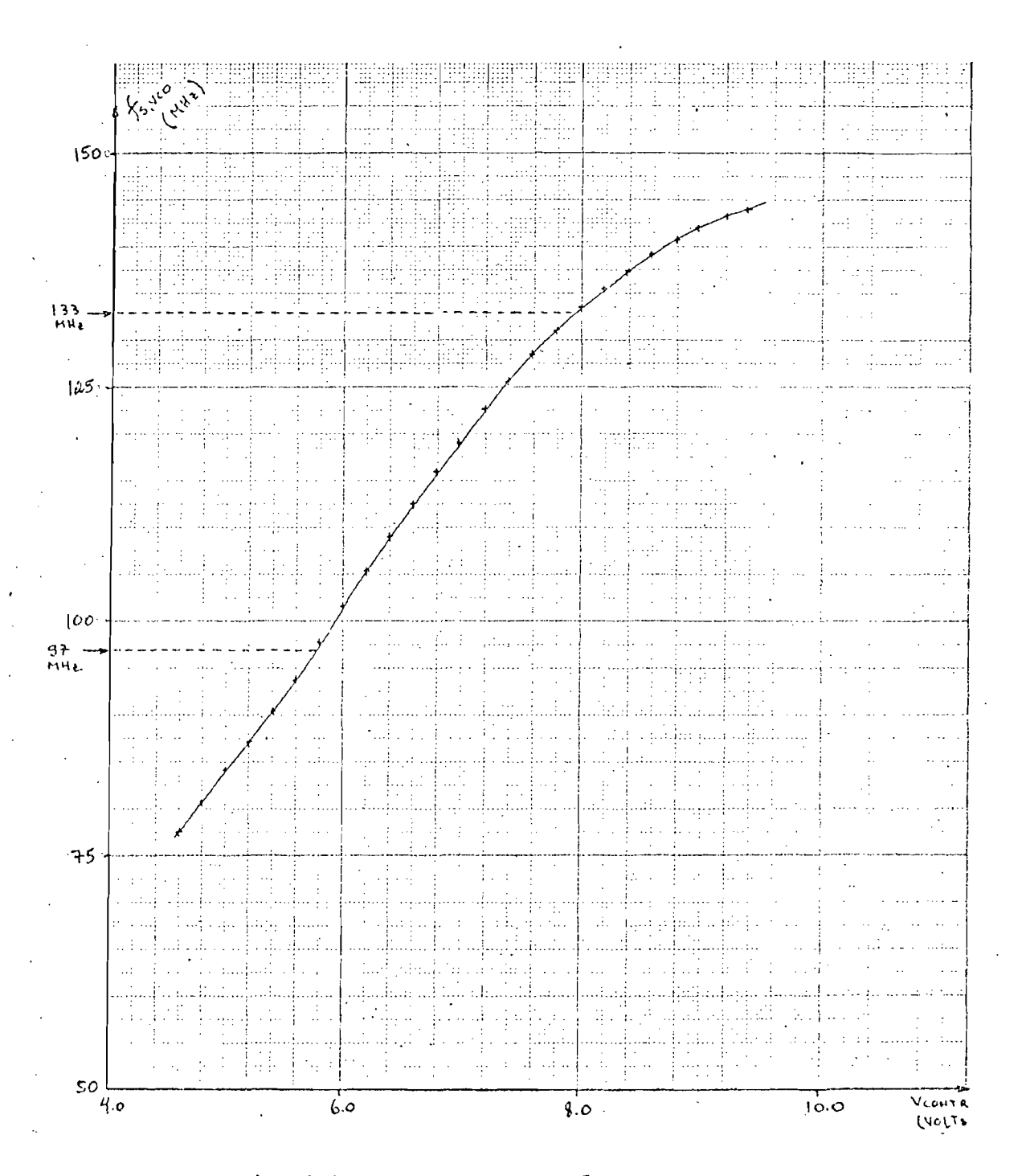


Fig. 4.21 - Curva característica do VCO.

4.4.3 - COMPARADOR DE FASE E FILTRO DE MALHA

O comparador de fase utilizado é o mesmo (MC4044) emprega do no sintetizador anterior, e foi escolhido o filtro ativo como fil tro de malha pelo mesmo motivo explicado na Seção 4.2.3.

O calculo do filtro de malha sera apresentado no Apendice A.

Neste sintetizador também foram utilizados dois filtros "notch" iguais ao mostrado na Figura 4.11, para eliminar a modulação no VCO causada pela frequência de referência.

4.4.4 - DETECTOR DE RETENÇÃO DE FASE

0 circuito (Figura 4.15) \tilde{e} identico ao realizado no sintetizador de transmissão, uma vez que a frequência de referência \tilde{e} a mesma.

4.4.5 - FILTRO DE SAÍDA

Para eliminar as harmonicas presentes na saída do sinte tizador, foi utilizado um filtro passa-baixas do tipo elíptico de cin co polos (Zverev, 1967).

A faixa de passagem do filtro deve estar entre 97,020 MHz e 132,990 MHz, enquanto a atenuação para a frequência de 194,040 MHz de ve ser da ordem de 30 dB em relação à faixa de passagem. O circuito do filtro é o mostrado na Figura 4.22.

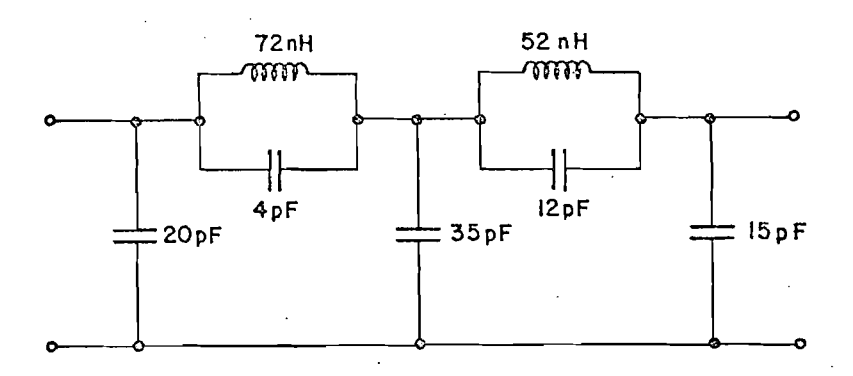


Fig. 4.22 - Filtro passa-baixas de saída do sintetizador de recepção.

4.4.6 - ALIMENTAÇÃO

Aqui também foram tomadas as mesmas precauções citadas na discussão do sintetizador de transmissão.

O circuito elétrico completo do sintetizador de recepção está apresentado no Apêndice C.

CAPÍTULO 5

RESULTADOS E CONCLUSÕES

5.1 - SINTETIZADOR DE TRANSMISSÃO

O sintetizador de transmissão construído cobre a faixa de 52,020 MHz a 87,990 MHz, com certa margem de segurança em ambas as extremidades. Esta margem é necessária para que o sintetizador não venha a deixar de reter a fase, se porventura houver variação em algum dos parâmetros da malha. O incremento de frequência é de 30 kHz, tota lizando assim 1200 canais disponíveis. A precisão da frequência de ca da canal sintetizado está dentro das especificações.

A flutuação do nível de potência na saída e o nível de espurios gerados na síntese estão dentro dos valores especificados. Na Tabela 5.1 são apresentados estes resultados. Estes valores foram obti dos com o Analisador de Espectro HP8555A e com o Analisador de Modulação HP8901A.

TABELA 5.1

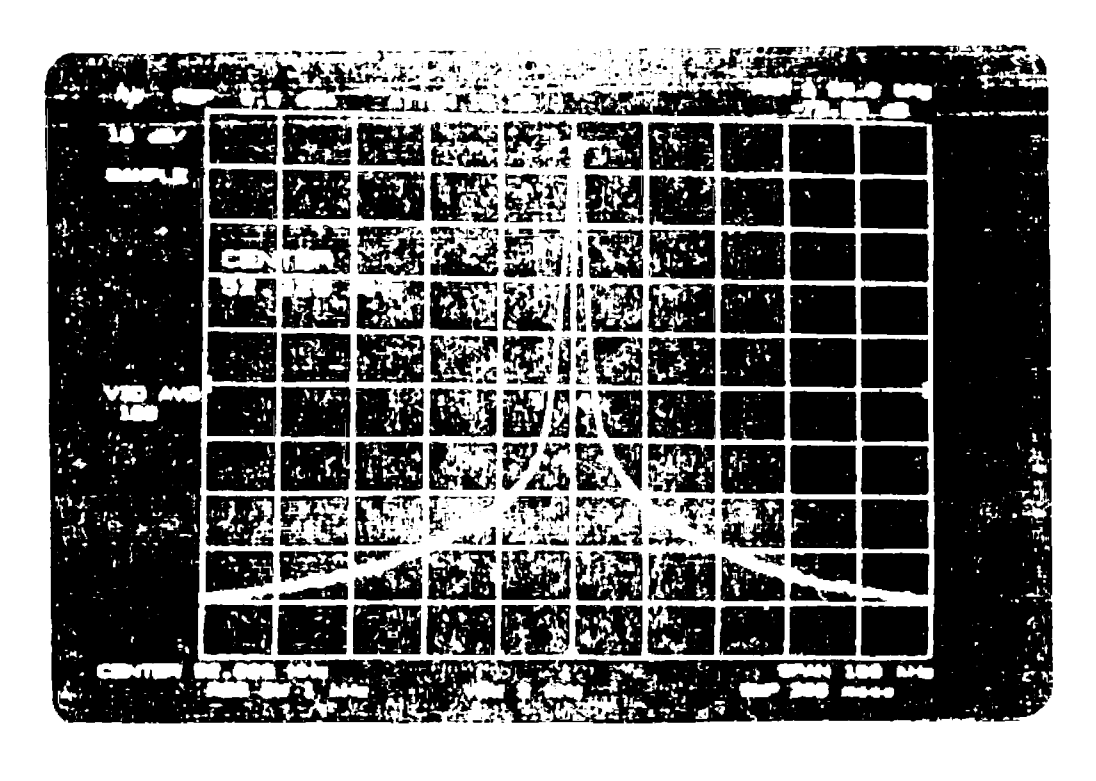
NÍVEIS DE SAÍDA E ESPÚRIOS DO SINTETIZADOR DE TRANSMISSÃO

NÚMERO DO CANAL	NÍVEL DE SAÍDA (dBm)	NÍVEL DE ESPÚRIOS (dBC)
1	-10,02	52
200	- 9,77	52
400	- 9,61	52
600 .	9,85	52
800	-10,20	52
1000	-10,43	53
1200	-10,00	53

Um problema bastante critico neste tipo de sintetizador e a modulação causada na saida do VCO pelo sinal de referência. Neste caso, o resultado conseguido foi bastante satisfatorio, uma vez que os espurios devidos a fonte de referência estão, no pior caso, mais que 74 dB abaixo do sinal sintetizado, como pode ser observado na Figura 5.1. Isto foi conseguido pela utilização de um filtro "notch" na malha, pela isolação do VCO e pelos cuidados tomados na confecção do "layout" com relação as malhas de terra de cada circuito. Os resultados apresen tados na Figura 5.1 foram obtidos com o Analisador de Espectro HP8566A.

A medida de ruido de fase foi feita a 500 Hz da portado ra, numa faixa de 160 Hz, e o resultado obtido esta apresentado na Fi gura 5.2.

0 supressor de portadora utilizado também teve um bom de sempenho, atenuando a portadora em cerca de 40 dB na ausência do sinal de voz.



Canal 1200

Fig. 5.1 - Espectro de saída do sintetizador de transmissão.

(continua)

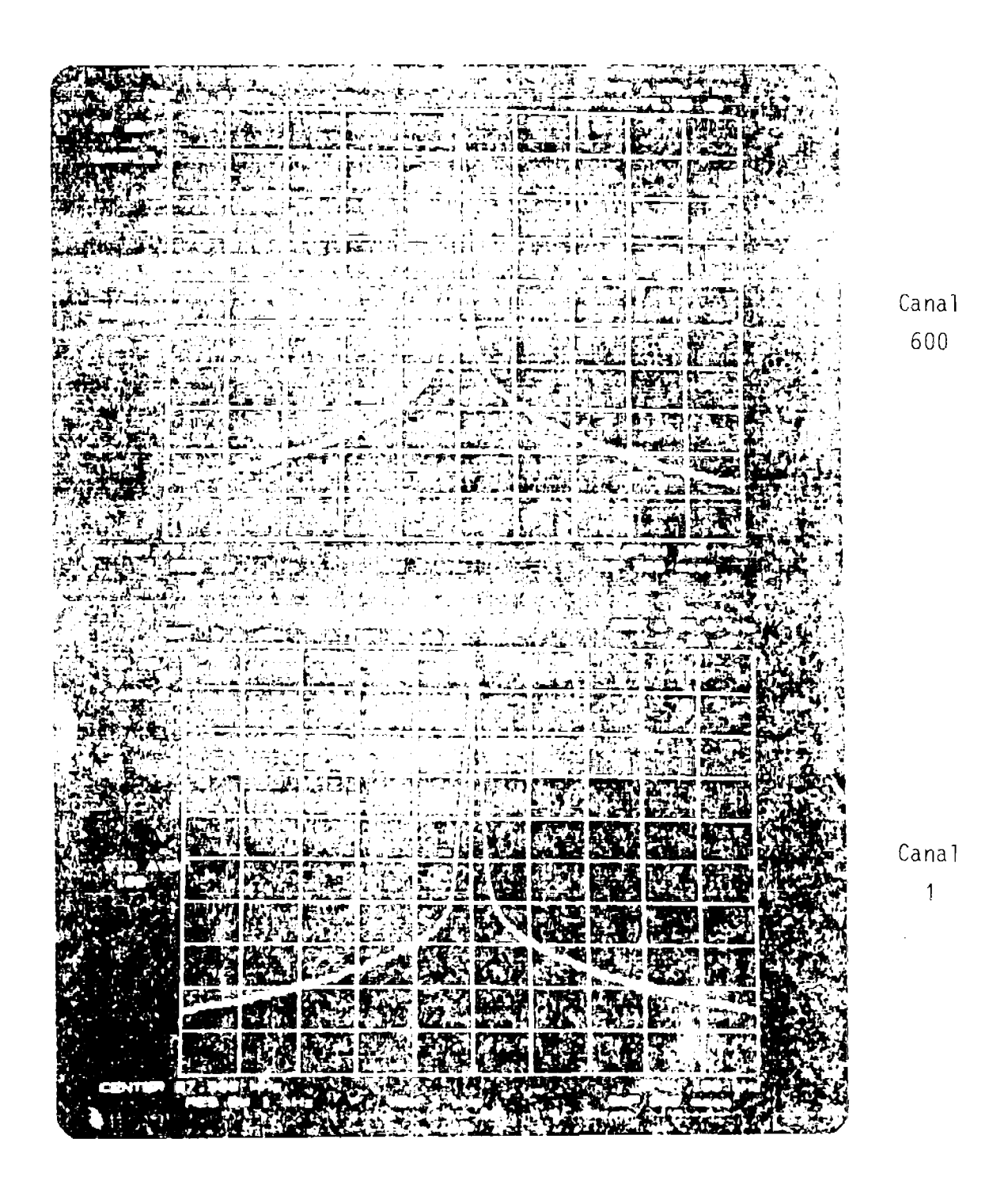


Fig. 5.1 - Conclusão.

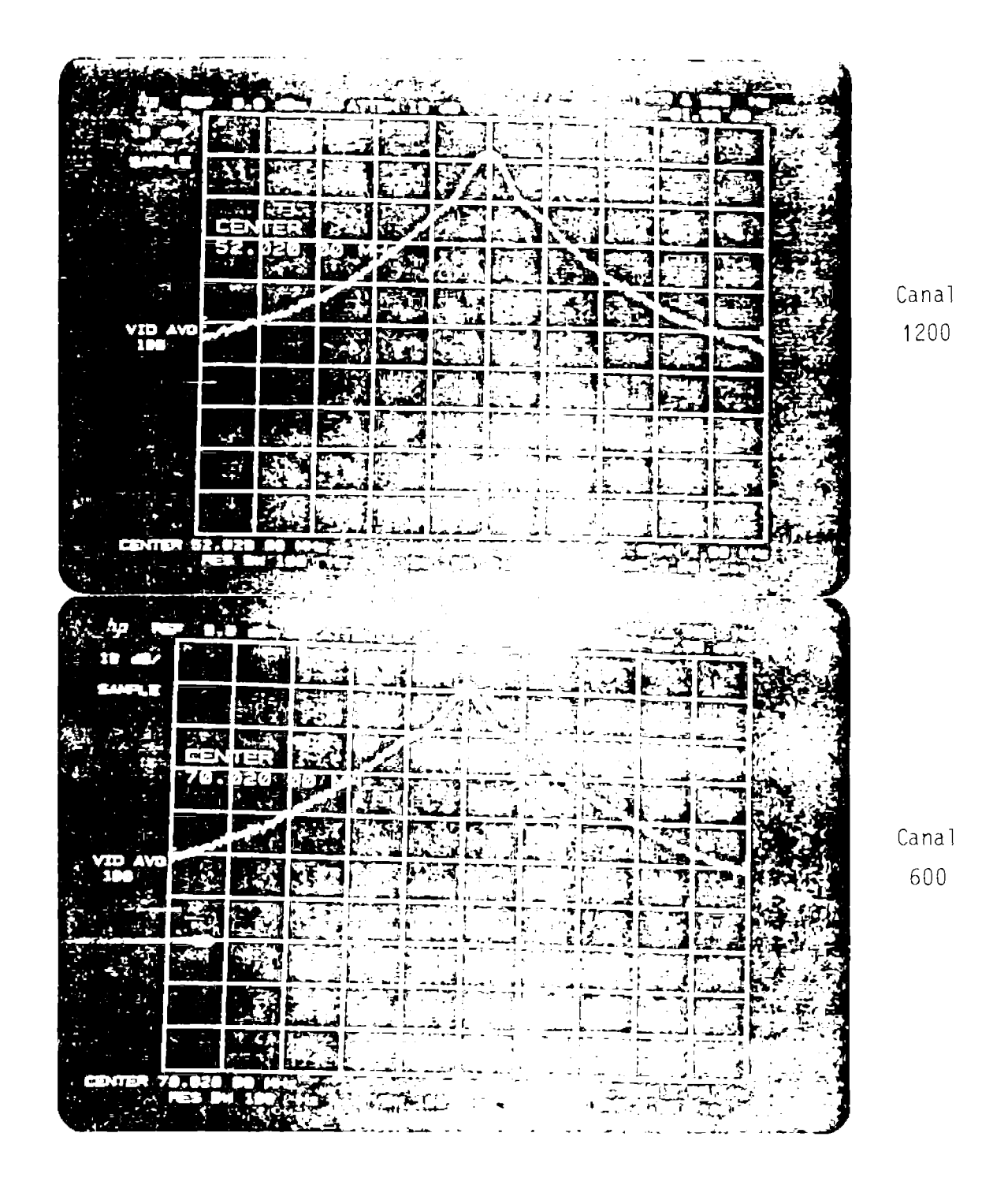
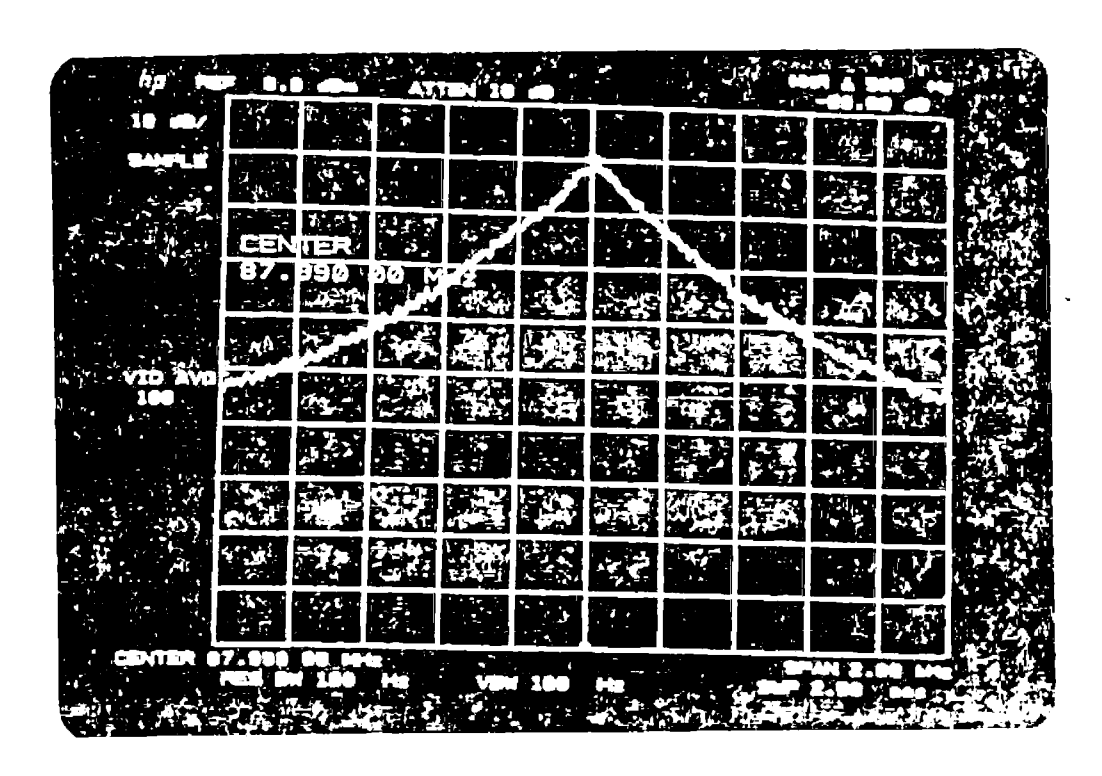


Fig. 5.2 - Espectro do ruído de fase do sintetizador de transmissão.

(continua)



Canal

Fig. 5.2 - Conclusão.

5.2 - SINTETIZADOR DE RECEPÇÃO

O sintetizador de recepção cobre completamente a faixa de 97,020 MHz a 132,990 MHz. O incremento de frequência é de 30 kHz e a precisão da frequência de cada canal sintetizado também está dentro das especificações.

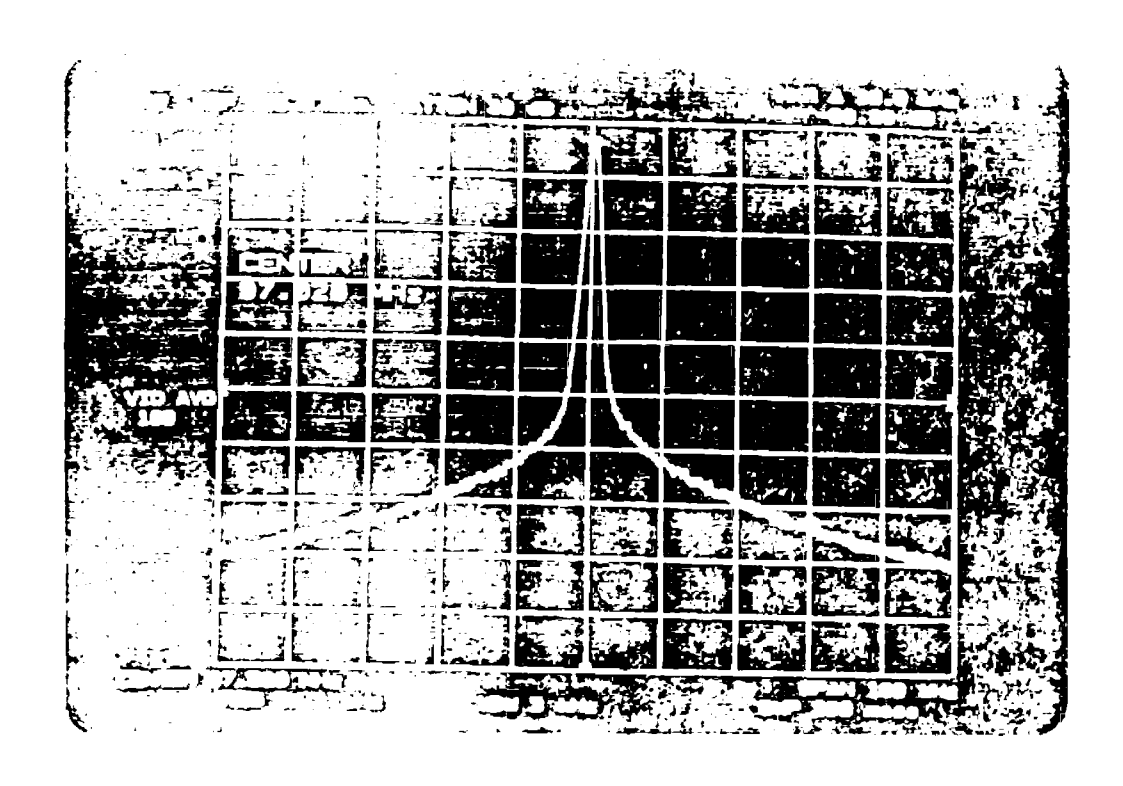
A flutuação do nivel de potência na saida e o nivel de espurios estão dentro dos valores especificados. Na Tabela 5.3 são apre sentados estes resultados para diversos canais. Estes valores foram obtidos através do Analisador de Espectro HP8555A e do Analisador de Modulação HP8901A.

Os espúrios devidos à fonte de referência estão mais de 70 dB abaixo da portadora, como pode ser observado na Figura 5.3.

TABELA 5.3

NÍVEIS DE SAÍDA E ESPŪRIOS DO SINTETIZADOR DE RECEPÇÃO

NÚMERO DO CANAL	NÍVEL DE SAÍDA (dBm)	NÍVEL DE ESPÚRIOS (dBC)
1	9,75	62
200	9,95	62
400	10,36	60
600	10,10	60
800	9,72	60
1000	9,64	60
1200	9,64	60



Cana1 1200

Fig. 5.3 - Espectro de saída do sintetizador de recepção.

(continua)

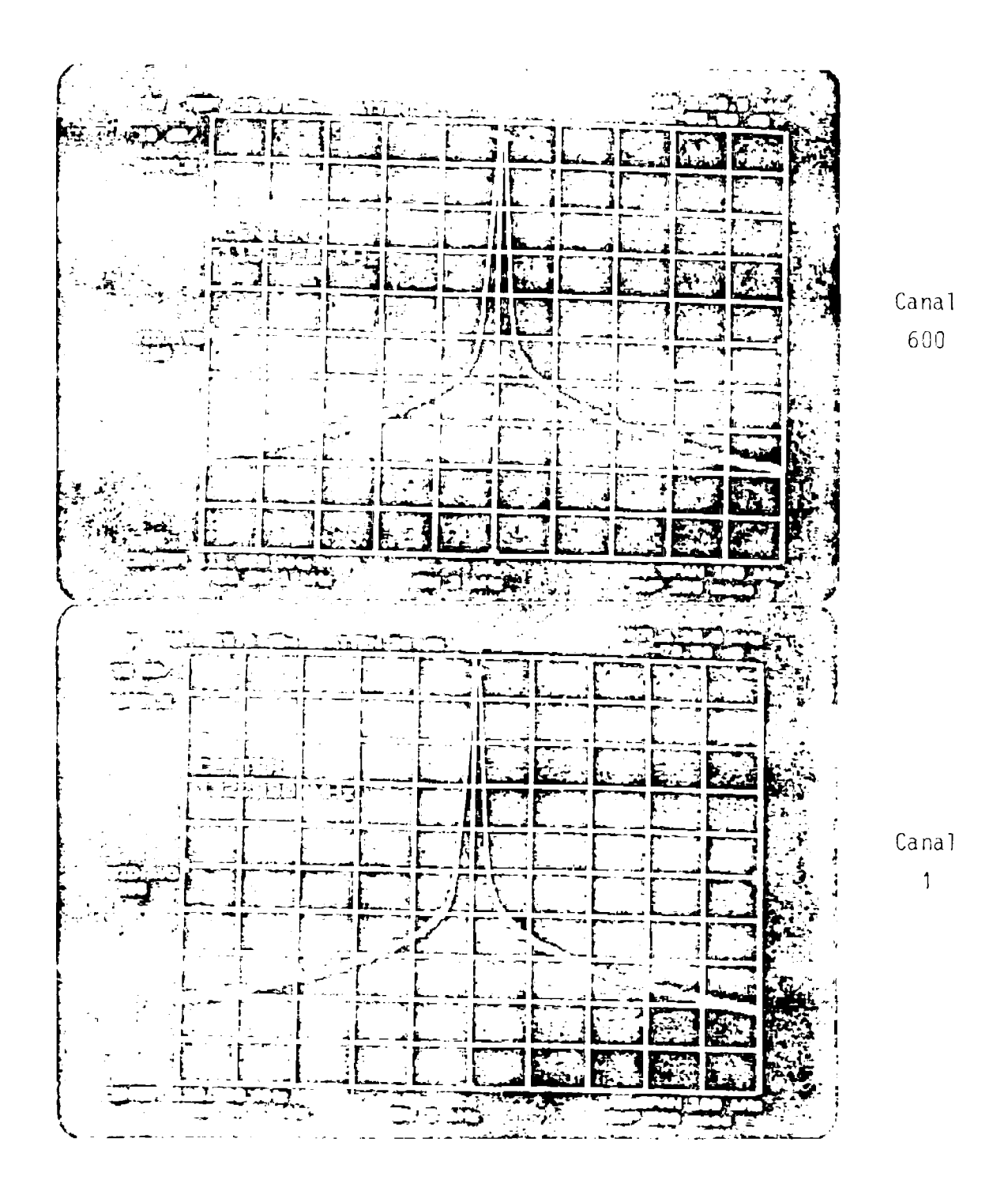


Fig. 5.3 - Conclusão.

O ruido de fase foi medido em uma faixa de 100 Hz a 500 Hz da portadora e o resultado obtido está apresentado na Figura 5.4.

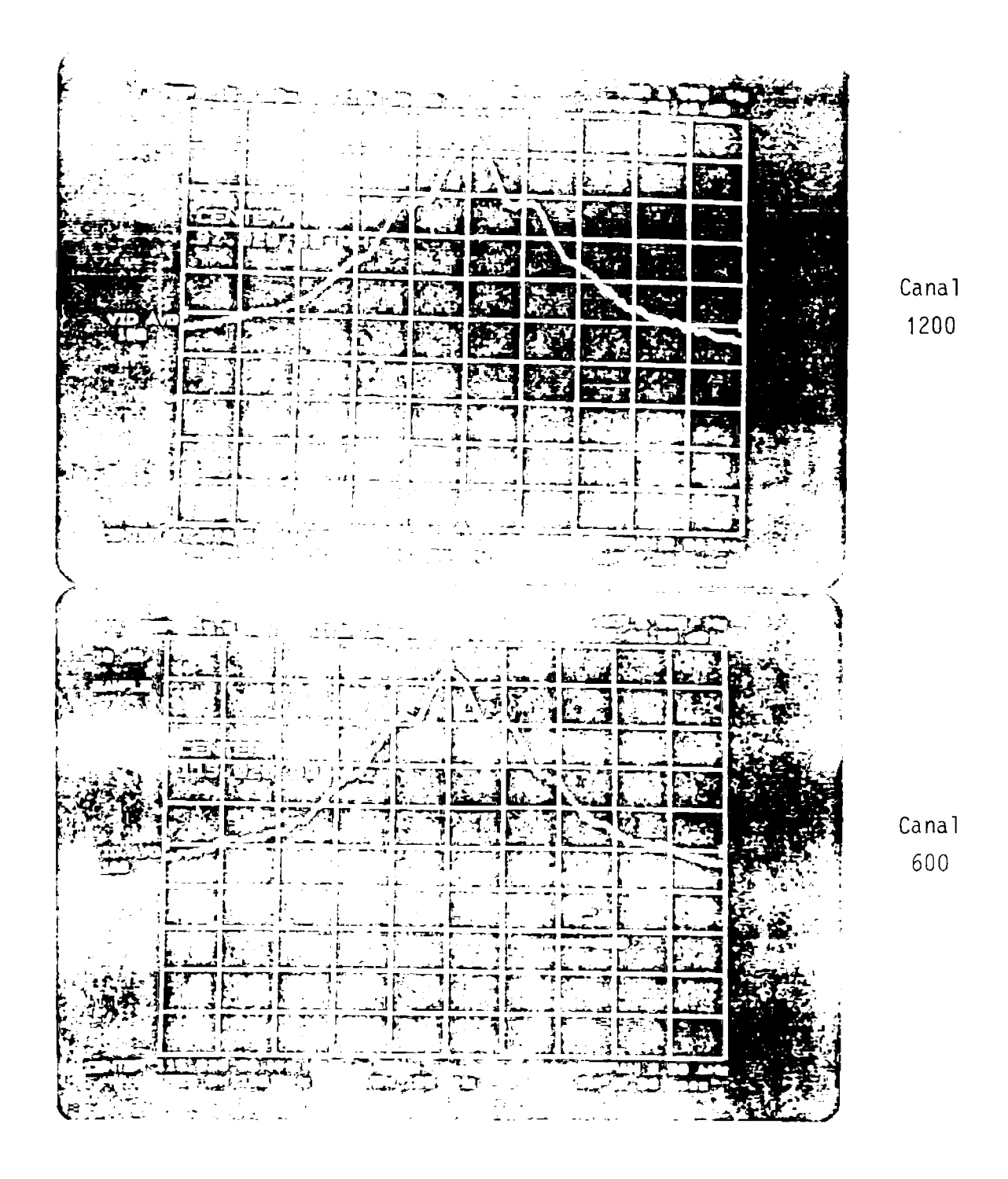


Fig. 5.4 - Espectro do ruído de fase do sintetizador de recepção.

(continua)

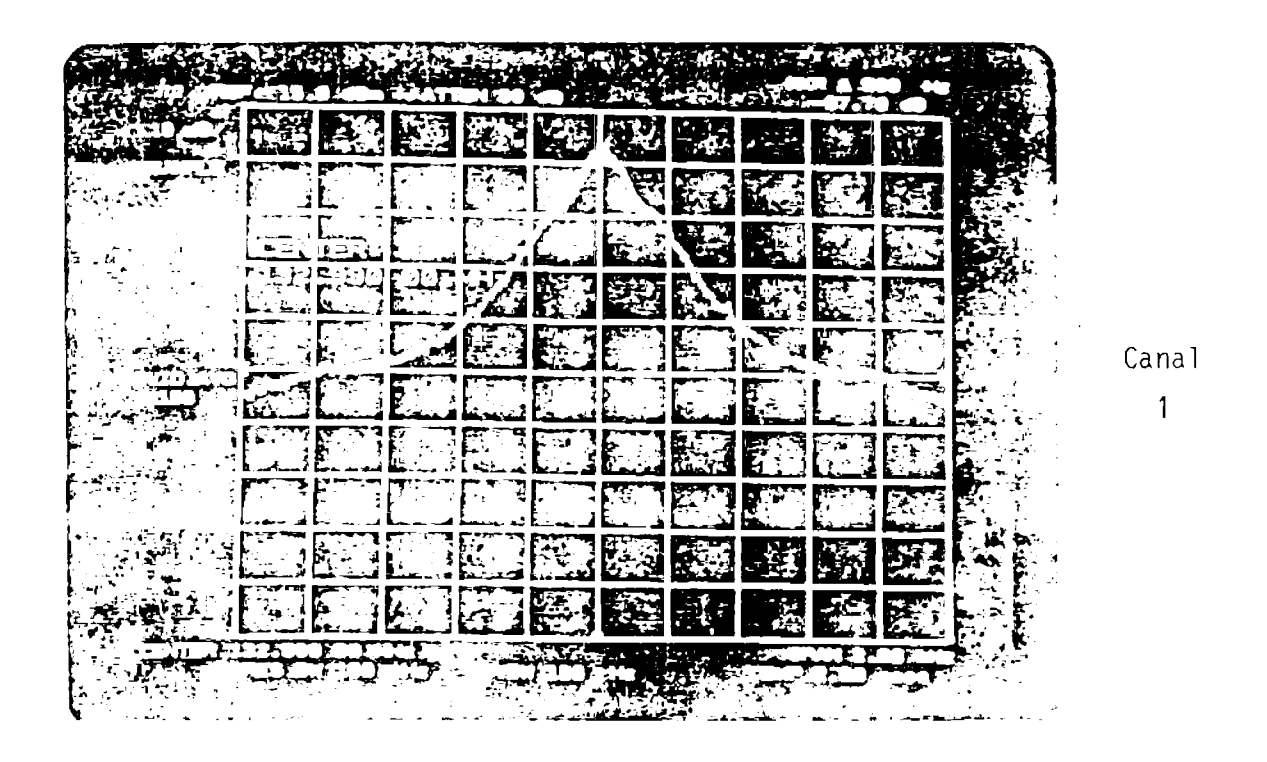


Fig. 5.4 - Conclusão.

5.3 - CONCLUSÃO

Observou-se que os sintetizadores de frequências coeren tes indiretos satisfazem plenamente os requisitos da estação terrena a que se destinam. Eles jã estão sendo utilizados na unidade de canal da estação SCPC-FM, em desenvolvimento no INPE.

Observou-se também que nestes tipos de sintetizadores é bastante crítica a posição física dos diversos circuitos, bem como a disposição das suas malhas de terra. Portanto, deve-se tomar extremo cuidado com a posição física e com as malhas de terra de cada circuito para que o sinal da fonce de referência não module a saída do VCO. Is to, geralmente, exige do projetista muita experimentação e bom senso.

É aconselhavel também que se utilizem reguladores de tensão separados para cada circuito, principalmente para o VCO e para o comparador de fase. A alimentação dos divisores deve ser completamente independente da alimentação dos demais circuitos.

Um otimo resultado foi obtido quanto à variação do indice de modulação em função do canal sintetizado. A variação máxima do desvio de frequência devido à modulação FM é de 0,33 dB. Este resultado so foi possível com a utilização de um amplificador com ganho controlado digitalmente na entrada do modulador (Figura 4.18). Os desvios causados por um tom de 1 kHz medidos com o Analisador de Modulação HP8901A são apresentados na Tabela 5.2.

TABELA 5.2

VARIAÇÃO DO ÍNDICE DE MODULAÇÃO EM FUNÇÃO DOS CANAIS

NŪMERO DO	CANAL	DESVIO MEDIO DE FREQUÊNCIA (kHz)
. 1		5,75
50		5,76
100		5,77
150		5,70
200		5,69
250		5,71
300		5,79
350		5,81
400		5,81
450		5,80
500		5 , 78
550		5 , 77
600		5,80
650		5 , 76
700		5,69
750	•	5,81
800		5,74
· 850		5,80
900		5,76
950	ĺ	5,73
1000	•	5,80
1050		5,77
1100		5,69
1150	,	5,83
1200		5,61

Outro circuito que apresentou otimo resultado foi o circuito de equalização do indice de modulação, com o qual foi possível abaixar a variação do desvio de frequência de 2,5 dB (obtida sem o equalizador) para cerca de 0,3 dB.

Estes sintetizadores possuem tamanho físico bastante re duzido e baixo comsumo (cerca de 5 W cada um). Podem ser utilizados, alem da estação terrena a que se destinam, em receptores e transmisso res em geral. Possuem inúmeras outras aplicações, tais como: gerador de tons de sinalização, gerador de tons para telecomando etc.

Acredita-se, portanto, em vista dos resultados apresenta dos acima, que o objetivo a que se destina este trabalho foi plenamen te alcançado, sugerindo-se para o futuro pesquisas que visem a dimi nuir ainda mais o ruído de fase presente na saída dos sintetizadores, embora os resultados alcançados sejam bastante satisfatorios.



REFERÊNCIAS BIBLIOGRÁFICAS

- BLANCHARD, A. Phase-locked loops. New York, John Wiley, 1976.
- D'AZZO, J.J.; HOUPIS, C.H. Feedback control system analysis and synthesis. Tokyo, McGraw Hill, 1960.
- EGAN, W.F. Frequency synthesis by phase lock. New York, John Wiley, 1981.
- GARDNER, F.M. *Phaselock techniques*. 2. ed. New York, John Wiley, 1979.
- KONO, J.; COLLA, N.H.; ARAKAKI, Y. Especificação de uma estação terre na SCPC FM de baixa capacidade para 6/4 GHz. São José dos Campos, INPE, out. 1981. (INPE-2254-NTE/176).
- KUO, B.C. Automatic control systems. 2. ed. Englewood Cliffs, NJ, Prentice-Hall, 1967.
- MANASSEWITSCH, V. Frequency synthesizers theory and design. New York, John Wiley, 1976.
- MOTOROLA. Phase locked loop systems; data book. s.1., 1973.
- TIERNEY, J. Digital frequency synthesizers. New York, IEEE Press, 1975.
- WINCHELL, D. Low noise microwave synthesizes design. s.l., Frequency Source, s.d.
- ZVEREV, A.I. Handbook of filter synthesis. New York, John Wiley, 1967.



APÊNDICE A

CALCULO DOS FILTROS DE MALHA DOS SINTETIZADORES

A função de transferência do filtro de malha $\,$ utilizado nos sintetizadores $\tilde{\mathrm{e}}\colon$

$$F(s) = \frac{1}{\tau_1} \left(\frac{1 + \tau_2 s}{s} \right)$$
,

onde $\tau_2 = R_2 \cdot C$ e $\tau_1 = R_1 \cdot C$.

A função de transferência do sintetizador, neste caso, é:

$$\frac{\phi_{\text{VCO}}(s)}{\phi_{\text{R}}(s)} = \frac{N(2\xi\omega_{\text{n}}s + \omega_{\text{n}}^2)}{s^2 + 2\xi\omega_{\text{n}}s + \omega_{\text{n}}^2},$$

onde ·

$$\omega_{n} = \left(\frac{K_{\phi}K_{VCO}}{N\tau_{1}}\right)^{1/2}$$

е

$$\xi = \frac{1}{2} \left(\frac{K_{\phi} K_{vco} \tau_{2}^{2}}{N \tau_{1}} \right)^{1/2}$$

Os valores de R_1 , R_2 e C são determinados através das equações:

$$\tau_1 = \frac{K_{\phi} K_{VCO}}{N\omega_n^2}$$

е

$$\tau_2 = \frac{2\xi}{\omega}$$

A.1 - SINTETIZADOR DE TRANSMISSÃO

Como as frequências do sinal modulante no VCO estão com preendidas entre 300 Hz e 3400 Hz, a frequência natural da malha deve ser no máximo igual a $\omega_{\rm n}=2\pi\cdot300=600\pi\,{\rm rd/seg}$. Para ter certa margem de segurança, adotou-se $\omega_{\rm n}=500\cdot\pi{\rm rd/seg}$. Este valor de $\omega_{\rm n}$ deve ocorrer quando N for mínimo, ou seja, N=1734.

Como o ganho do VCO e:

$$K_{VCO} = 78 \times 10^6 \text{ rd/s/V}$$
,

e o ganho do comparador de fase utilizado é:

$$K_{\phi} = 0,12 \text{ V/rd}$$

pode-se determinar a constante de tempo τ_1 :

$$\tau_1 = \frac{0.12 \times 78 \times 10^6}{1734 \times (500\pi)^2} = 2,18 \times 10^{-3} \text{ seg.}$$

Escolhendo $C = 1\mu F$, tem-se:

$$R_1 = \frac{2.18 \times 10^{-3}}{1.0 \times 10^{-6}} = 2180 \,\Omega .$$

Pela equação de ξ , pode-se notar que o māximo "over-shoot" da resposta da malha ocorre quando N e māximo, ou seja, N=2933. Tomando ξ =0.7, têm-se:

$$\tau_2 = \frac{1.4}{\left(\frac{0.12 \times 78 \times 10^6}{2933 \times 2.18 \times 10^{-3}}\right)^{1/2}} = 1.16 \times 10^{-3} \text{ seg}$$

е

$$R_2 = \frac{1.16 \times 10^{-3}}{1.0 \times 10^{-6}} = 1160 \,\Omega .$$

A.2 - SINTETIZADOR DE RECEPÇÃO

O ganho do VCO utilizado neste sintetizador e:

$$K_{VCO} = 97 \times 10^6 \text{ rad/s/V}$$
.

Como o comparador de fase $\bar{\rm e}$ o mesmo que o anterior, tem -se:

$$K_{\Phi} = 0,12 \text{ v/rd}$$
.

Tomando $\omega_n = 1000\pi \text{rd/seg}$ para $N_{\text{max}} = 4433$, tem-se que:

$$\tau_1 = \frac{0.12 \times 97 \times 10^6}{4433 \times (1000 \pi)^2} = 2,66 \times 10^{-4} \text{ seg.}$$

Escolhendo $C = 1\mu F$, tem-se:

$$R_1 = \frac{2,66 \times 10^{-4}}{1,0 \times 10^{-6}} = 266 \Omega.$$

e

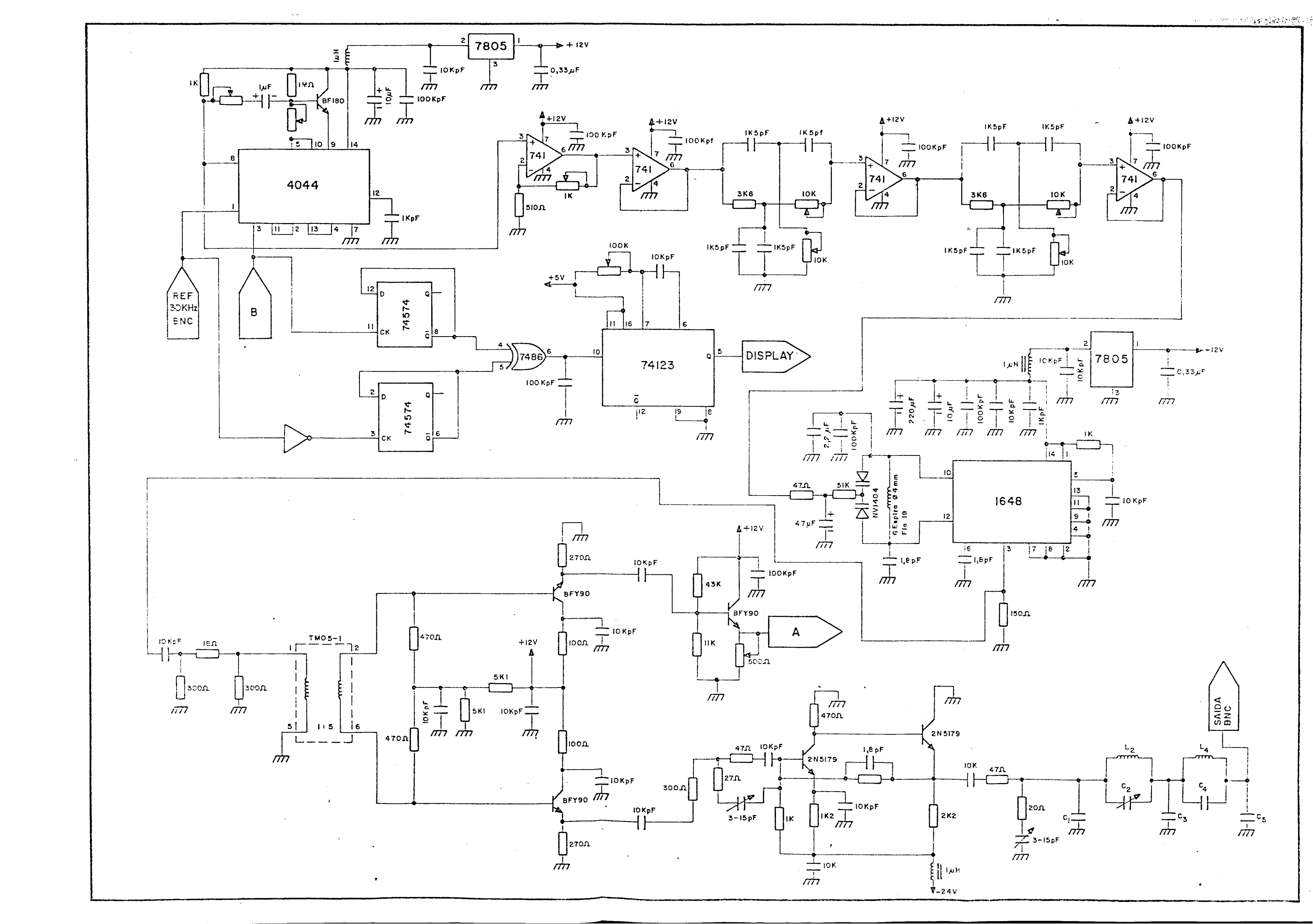
 $\xi = 0.7$, determina-se R_2 :

$$\tau_2 = \frac{1.4}{1000\pi} = 4.45 \times 10^{-4} \text{ seg}$$

$$\cdot R_2 = 445 \Omega .$$

APĖNDICE B

CIRCUITO ELÉTRICO DO SINTETIZADOR DE TRANSMISSÃO



APÊNDICE C

CIRCUITO ELETRICO DO SINTETIZADOR DE RECEPÇÃO

